

量子輸送現象

阿部 英介

慶應義塾大学スピントロニクス研究センター

応用物理情報特別講義A

2018年度春学期後半 金曜4限@14-202

講義内容

- 量子輸送の基礎
 - 2次元電子系
 - ランダウアー公式
 - 量子ポイントコンタクト
- 整数量子ホール効果
- 量子ホール効果とノーベル賞

参考書

- J. H. Davies (1997)
 - “**The Physics of Low-Dimensional Semiconductors**” (邦訳あり)
- S. Datta (1997)
 - “**Electronic Transport in Mesoscopic Systems**” (邦訳あり)
- 吉岡大二郎 (1998)
 - “**量子ホール効果**” (英訳あり)

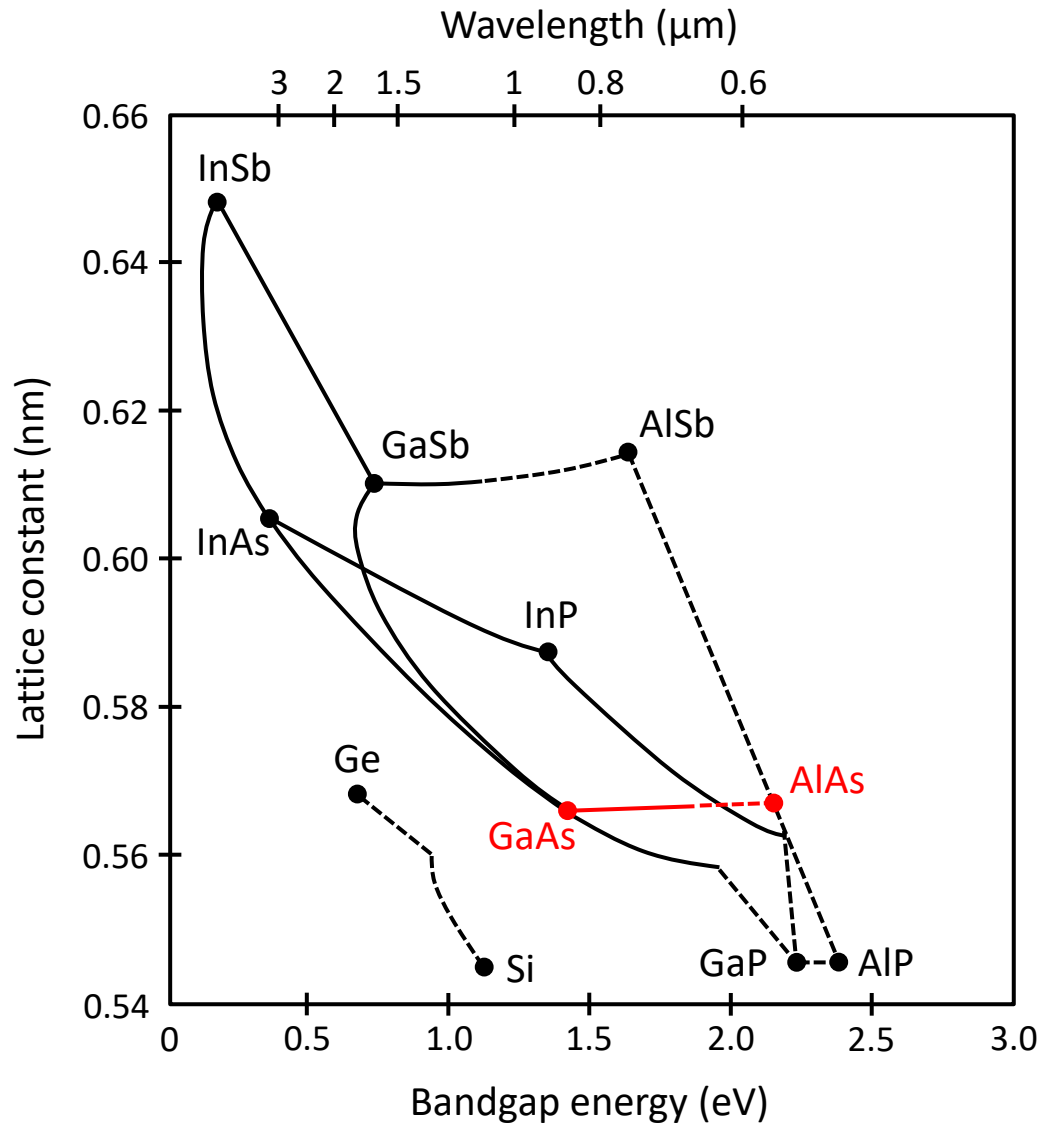
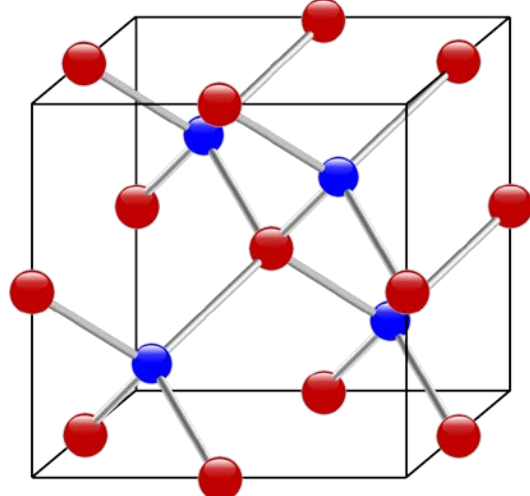
講義内容

- **量子輸送の基礎**
 - 2次元電子系
 - ランダウアー公式
 - 量子ポイントコンタクト
- 整数量子ホール効果
- 量子ホール効果とノーベル賞

GaAs/Al_xGa_{1-x}Asへテロ構造

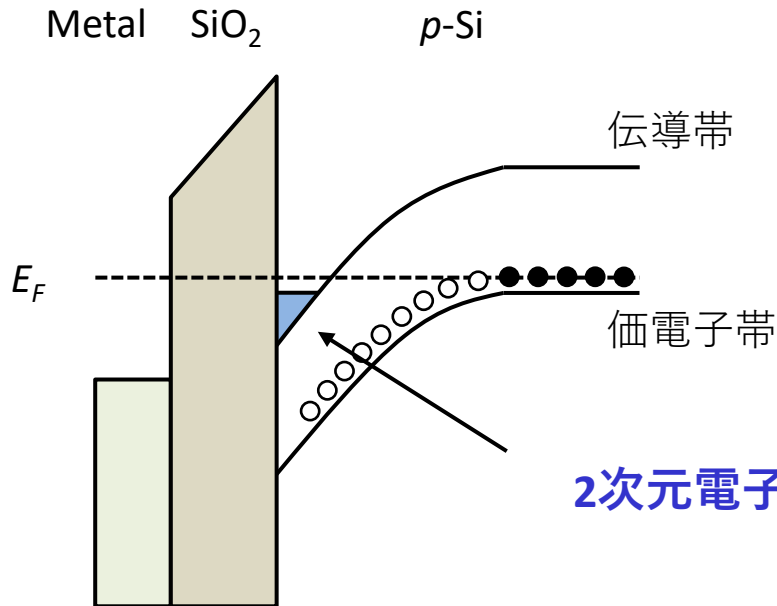
III (13)	IV (14)	V (15)
Al	Si	P
Ga	Ge	As
In	Sn	Sb

閃亜鉛鉱構造

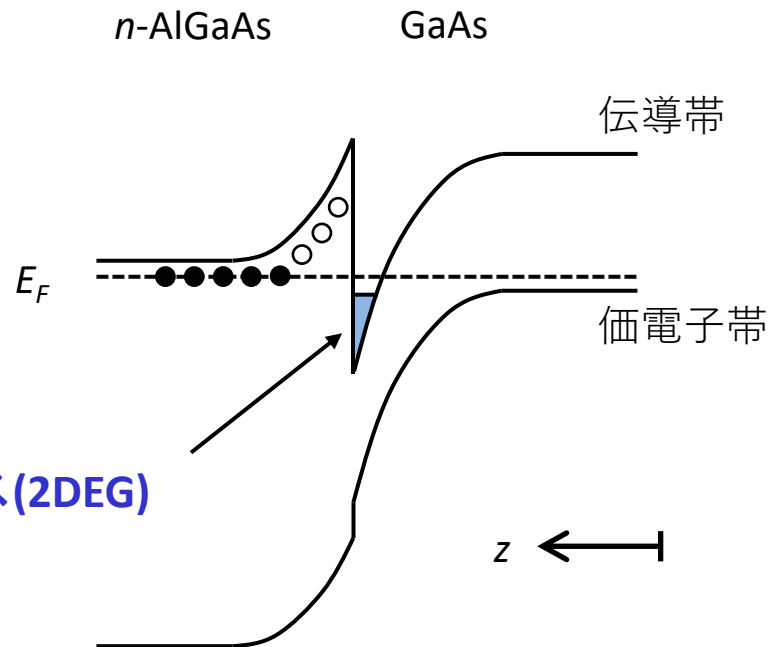


2次元電子系

p-Si MOS反転層

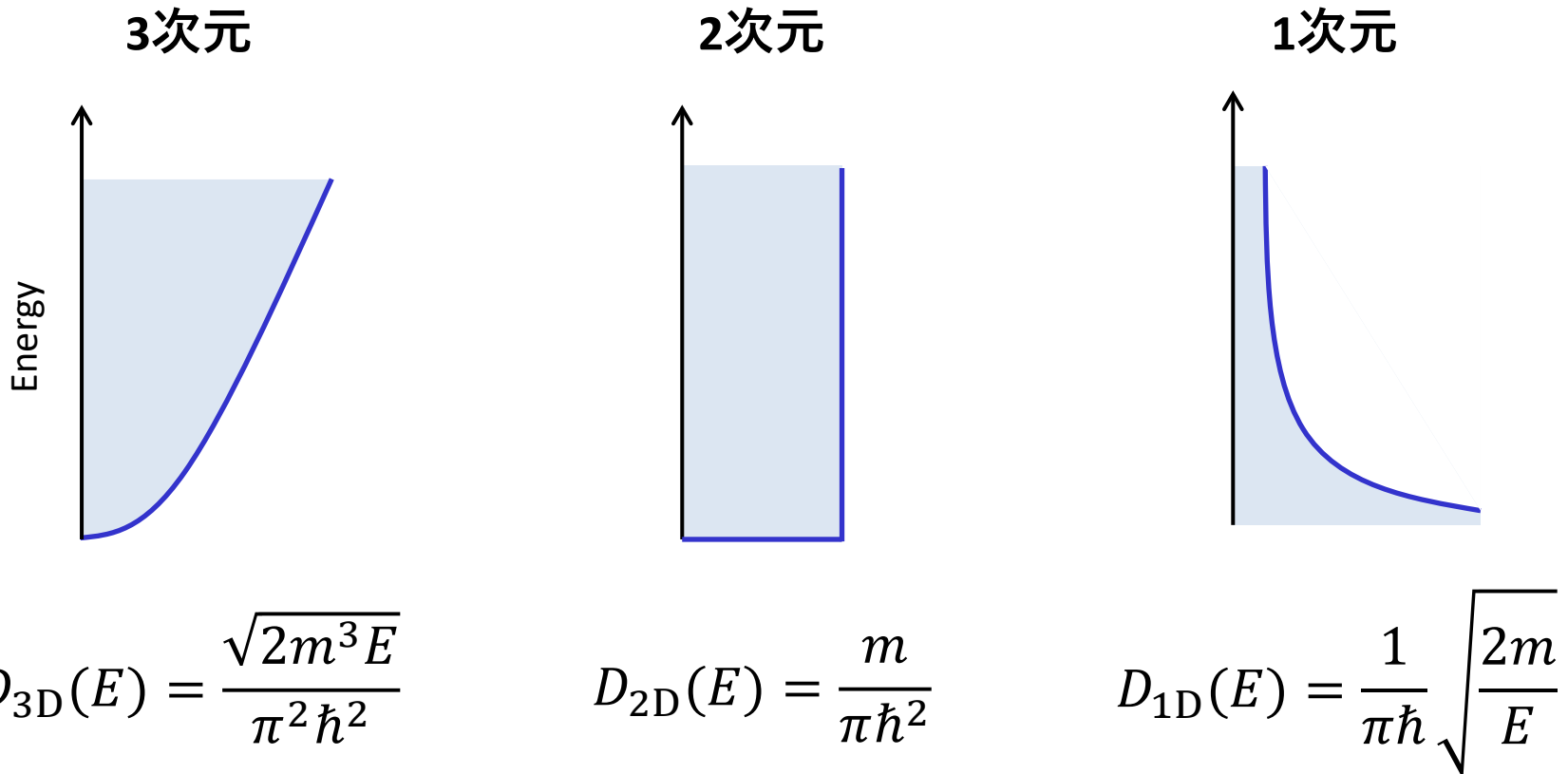


変調ドープヘテロ界面



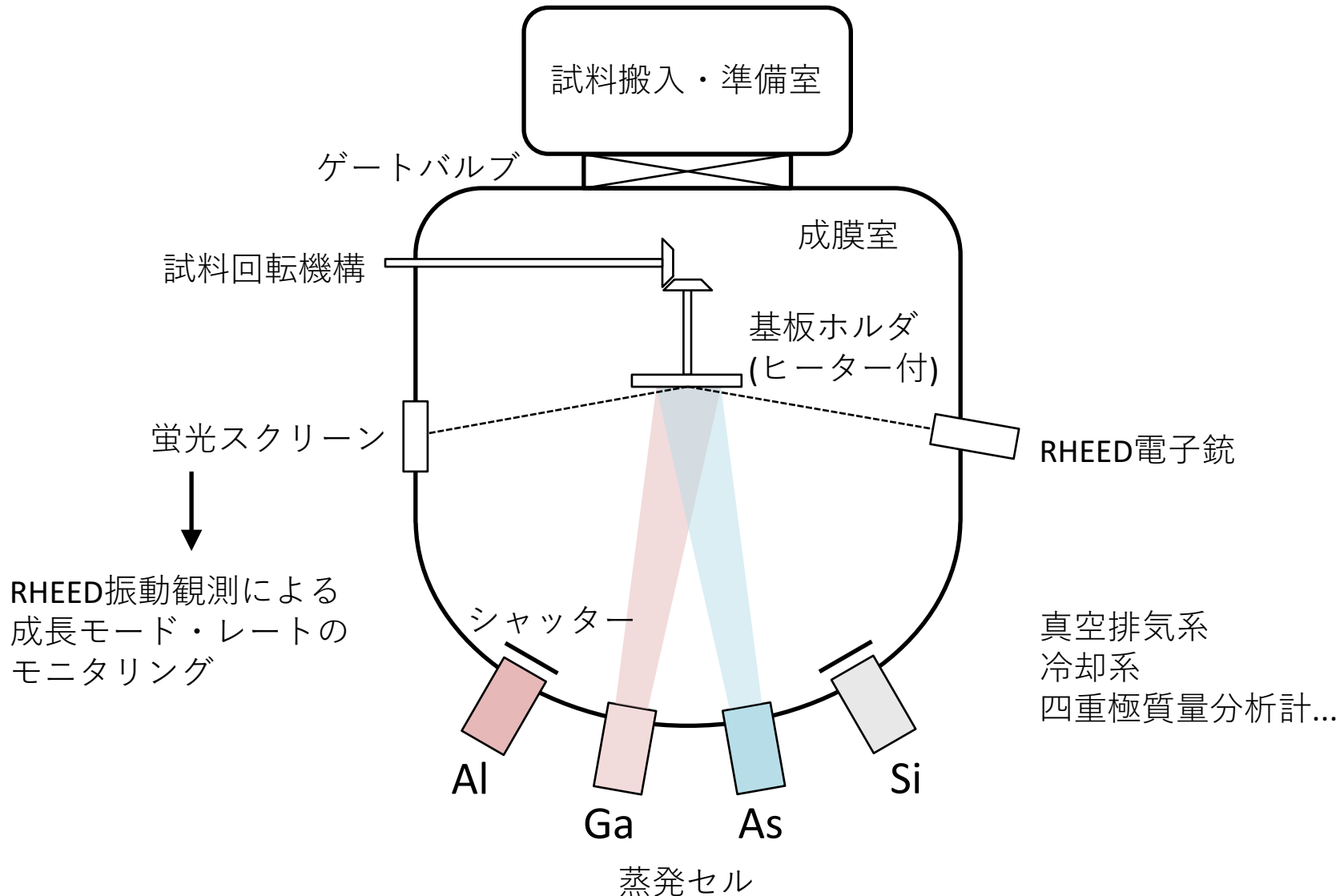
フェルミ準位以下の閉じ込め準位(有効質量近似)が1つだけならば
z方向の自由度は凍結されて2次元系と見なせる

状態密度(自由電子)の次元性

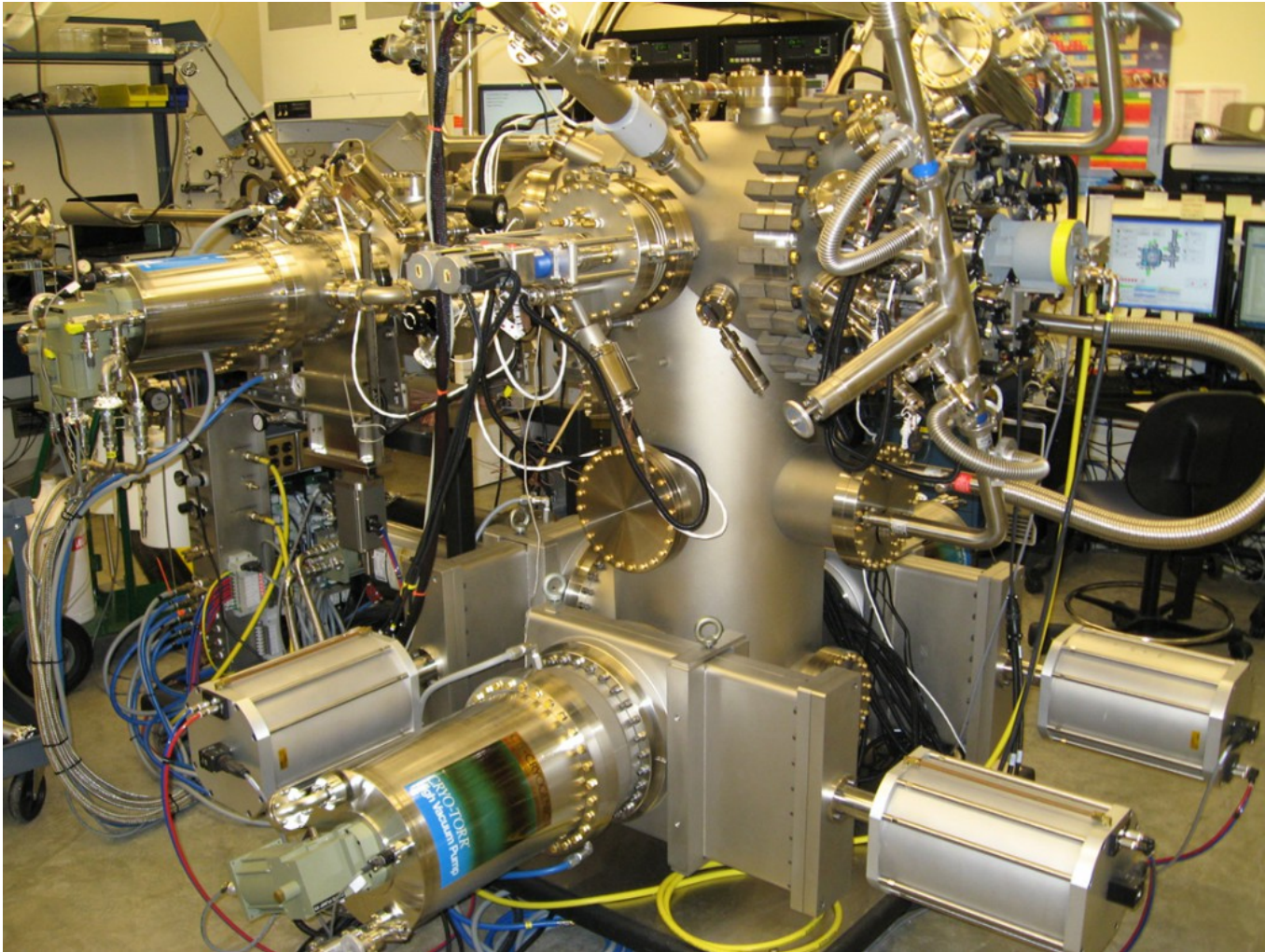


次元を下げる
ると低エネルギーでの状態数が増える
低消費電力(低しきい値)デバイスの実現

分子線エピタキシ

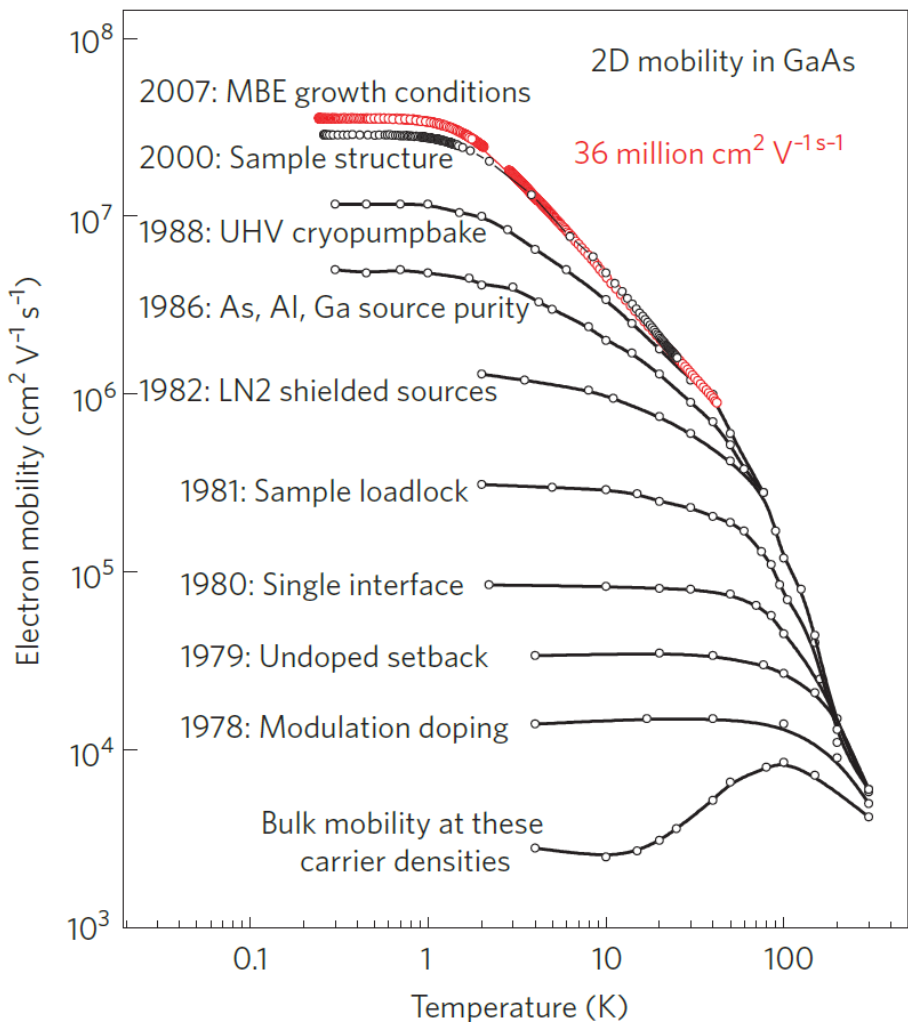


分子線エピタキシ

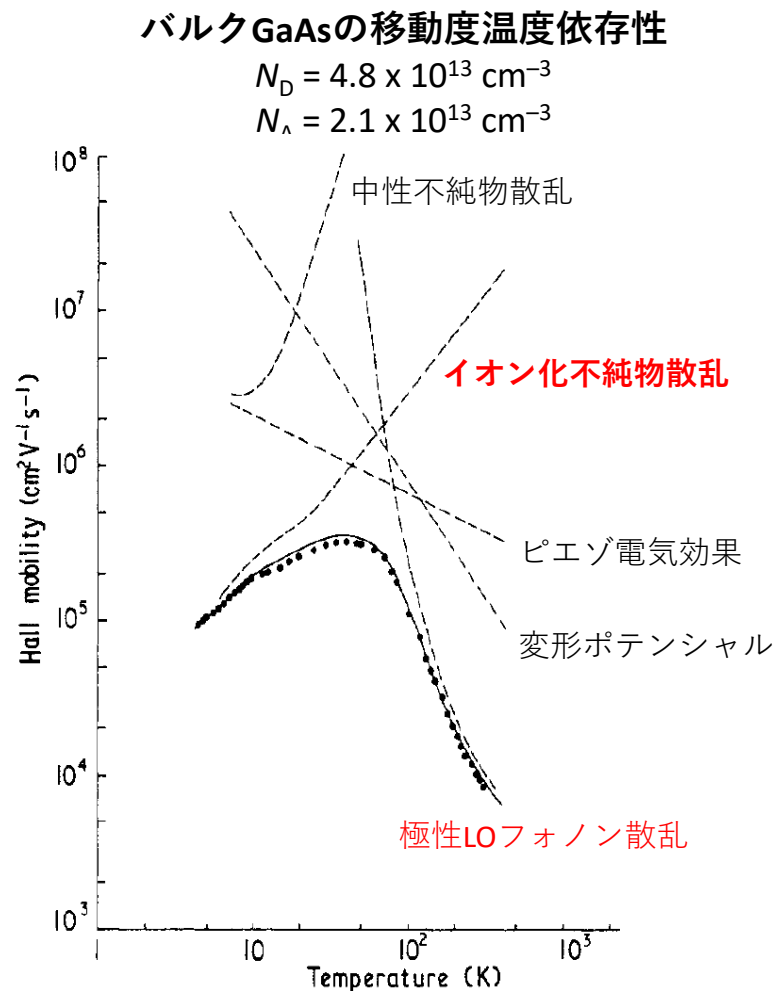


MBE system at Purdue University © Manfra group (<http://manfragroup.org/>)

移動度の向上

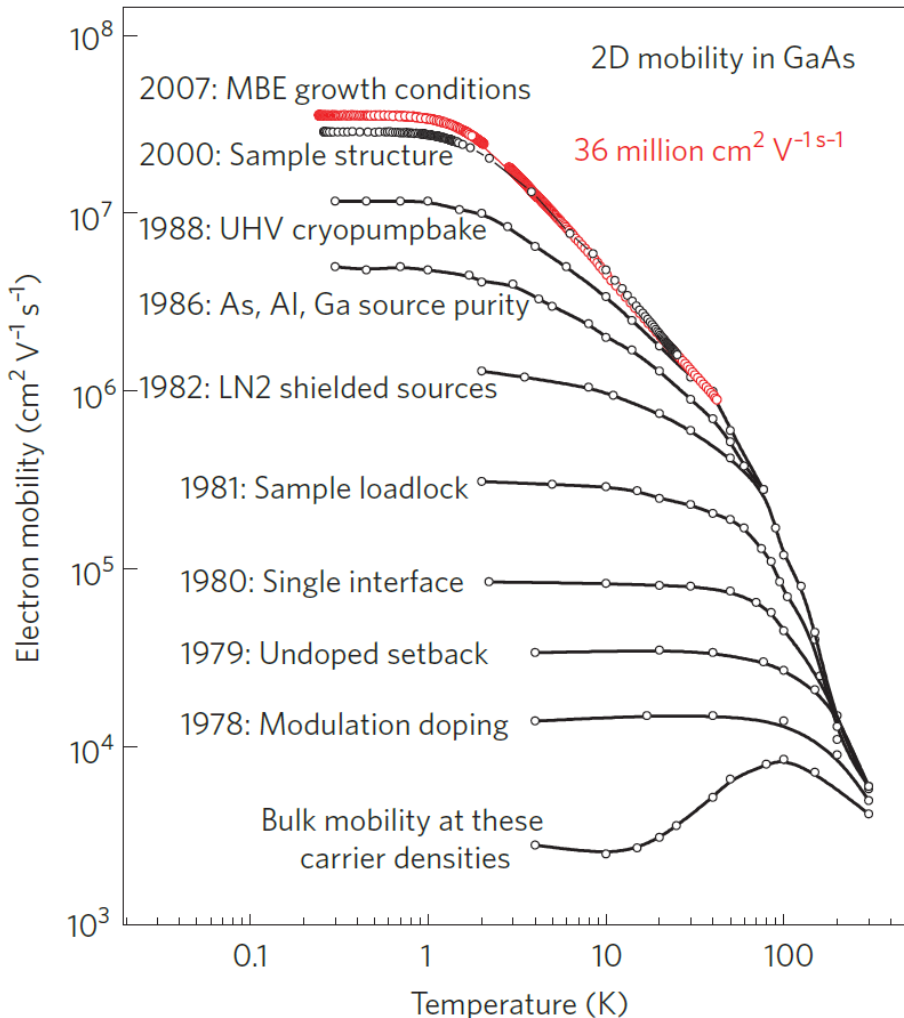


Nature Mat. 9, 881 (2010) Schlom & Pfeiffer



J. Phys. C 5, 212 (1972) Fletcher & Butcher

移動度の向上



Nature Mat. 9, 881 (2010) Schlom & Pfeiffer

$\mu > 3.5 \times 10^7 \text{ cm}^2/\text{Vs}$ を達成したグループ

Pfeiffer & West at Princeton (ex-Bell Labs)

Umansky & Heiblum at Weizmann Inst. Sci.

J. Cryst. Growth 311, 1658 (2009) Umansky *et al.*

Manfra at Purdue (ex-Bell Labs)

J. Cryst. Growth 441, 71 (2016) Gardner *et al.*



Good old days at Bell Labs (1978)

(左から)Wiegmann, Gossard, Störmer & Dingle
from Nobel Lecture by Störmer

HEMT

JAPANESE JOURNAL OF APPLIED PHYSICS
VOL. 19, NO. 5, MAY, 1980 pp. L225-L227

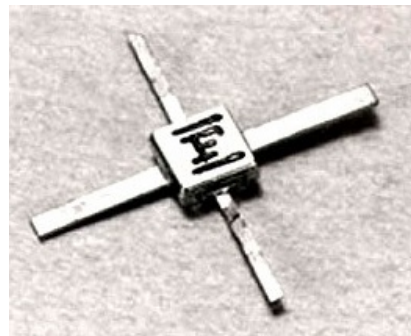
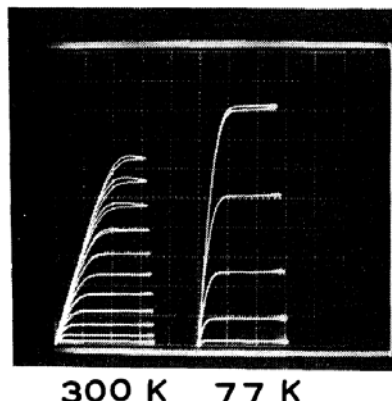
A New Field-Effect Transistor with Selectively Doped GaAs/n-Al_xGa_{1-x}As Heterojunctions

Takashi MIMURA, Satoshi HIYAMIZU, Toshio FUJII
and Kazuo NANBU

*Fujitsu Laboratories Ltd.,
1015, Kamikodanaka, Nakahara-ku, Kawasaki 211*

(Received March 24, 1980)

Studies of field-effect control of the high mobility electrons in MBE-grown selectively doped GaAs/n-Al_xGa_{1-x}As heterojunctions are described. Successful fabrication of a new field-effect transistor, called a high electron mobility transistor (HEMT), with extremely high-speed microwave capabilities is reported.



© Fujitsu

バリスティック伝導

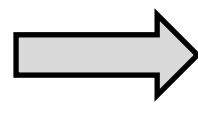
ざっくり言うと、

電子が試料中で不純物による散乱を受けずに流れる輸送現象

フェルミ波長 $\lambda_F = \frac{2\pi}{k_F} = \frac{2\pi}{\sqrt{2\pi n_e}} \sim 25 \text{ nm}$ $(n_e \sim 10^{12} \text{ cm}^{-2})$

平均自由行程 $l_m = v_F \tau_m = \frac{\hbar k_F}{m^*} \tau_m \sim 30 \text{ } \mu\text{m}$ $(\tau_m \sim 100 \text{ ps})$

位相緩和長 $l_\phi = v_F \tau_\phi \sim l_m$ $(\text{高移動度試料で } \tau_\phi \sim \tau_m)$

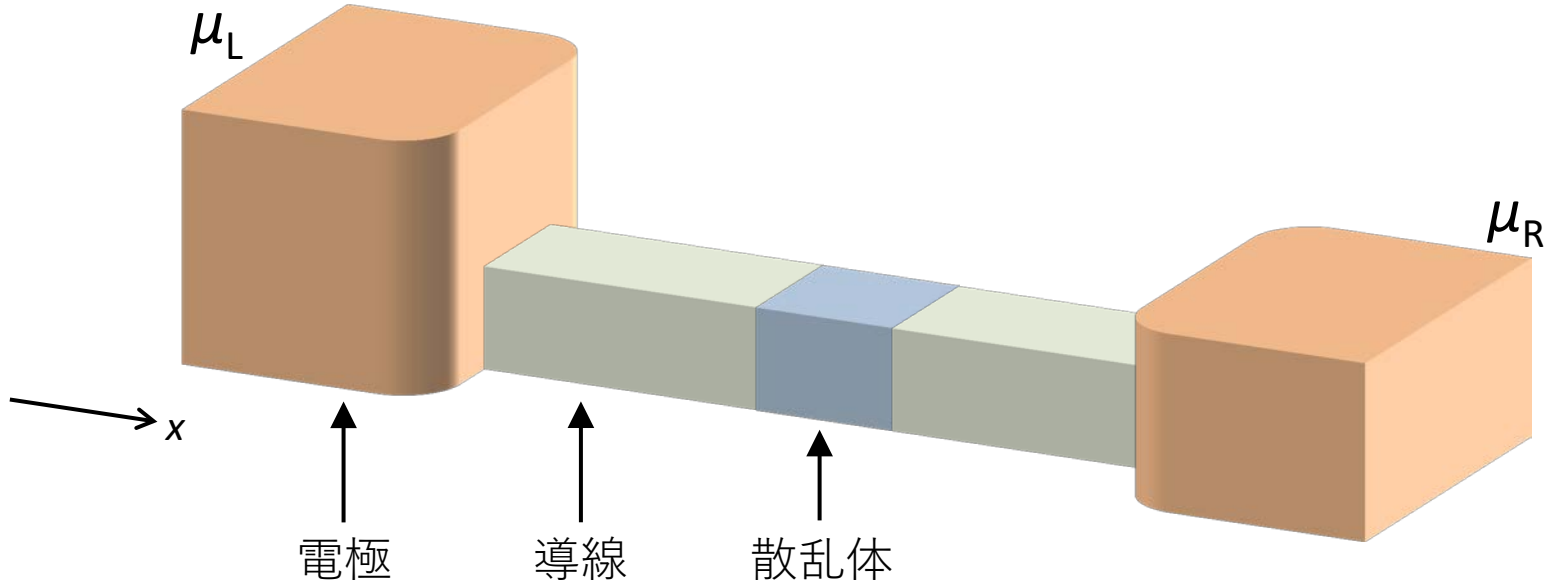
 $L \ll l_m, l_\phi$

低温下の高移動度2DEGで実現

講義内容

- **量子輸送の基礎**
 - 2次元電子系
 - ランダウアー公式
 - 量子ポイントコンタクト
- 整数量子ホール効果
- 量子ホール効果とノーベル賞

ランダウアー公式

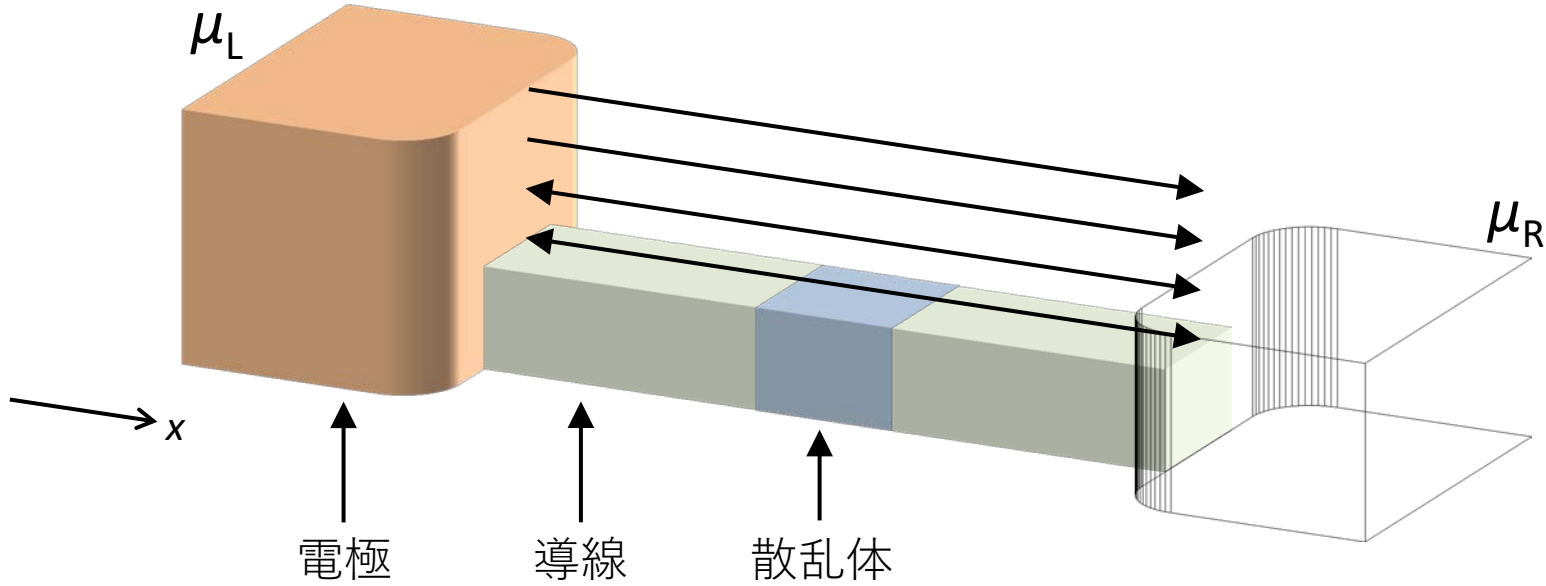


理想電極(電子溜め): 導線への電子の供給と吸収を無尽蔵に(熱平衡を保ちながら)行う

理想導線: 内部で散乱は起きず、電極から散乱体、散乱体から電極へ電子を受け渡しする

散乱体: 確率 T で電子を透過、 $R (= 1-T)$ で反射

ランダウアー公式

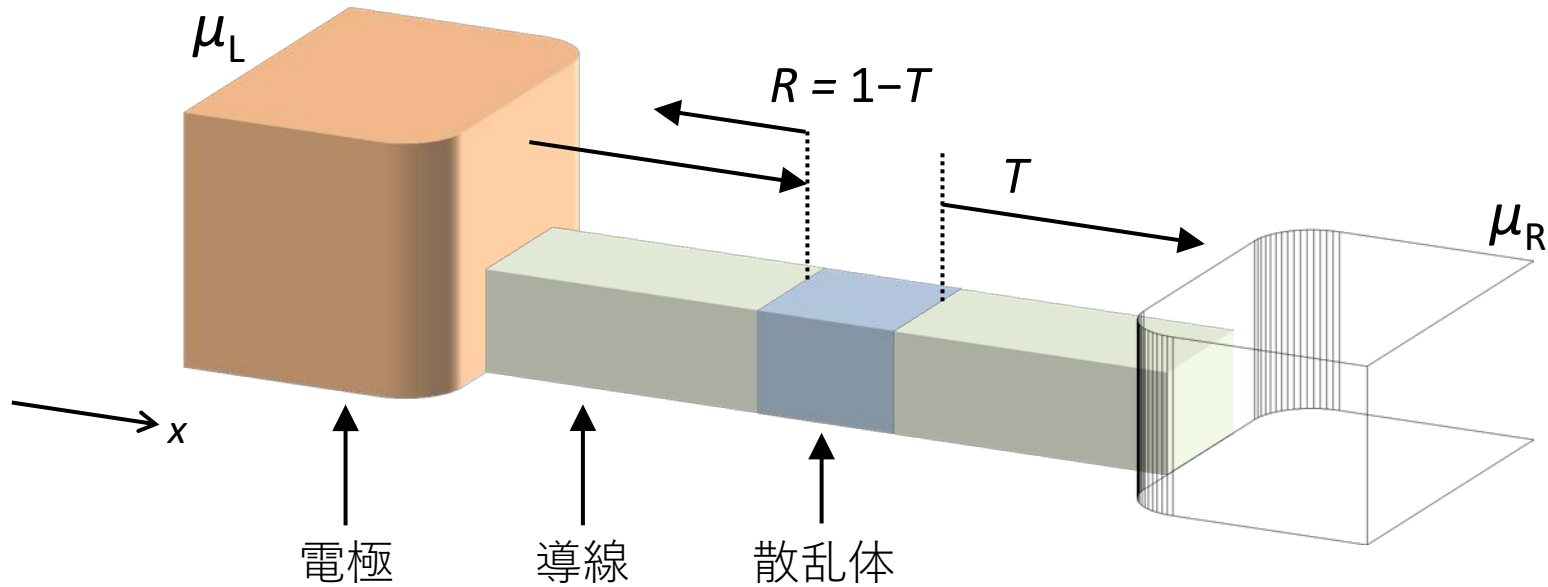


$T = 1$ 、单一モードの場合

$$I = \sum_k i(k) = \int_{k_R}^{k_L} i(k) \frac{L}{2\pi} dk = -\frac{e}{h} \int_{\mu_R}^{\mu_L} dE = -\frac{e}{h} (\mu_L - \mu_R) = \frac{e^2}{h} V$$

$$i(k) = -\frac{e}{L} v_g = -\frac{e}{L} \frac{dE(k)}{\hbar dk} \quad \Delta k = \frac{2\pi}{L}$$

ランダウアー公式



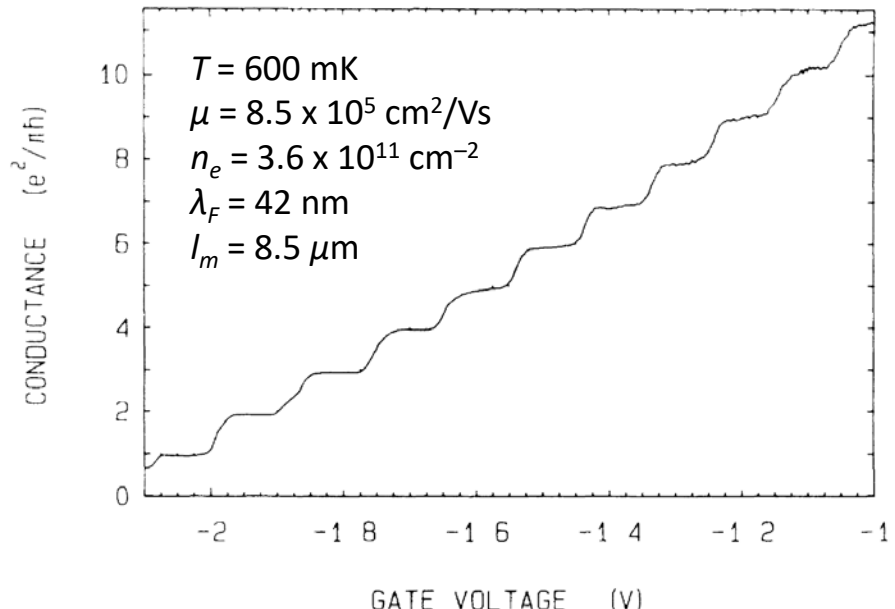
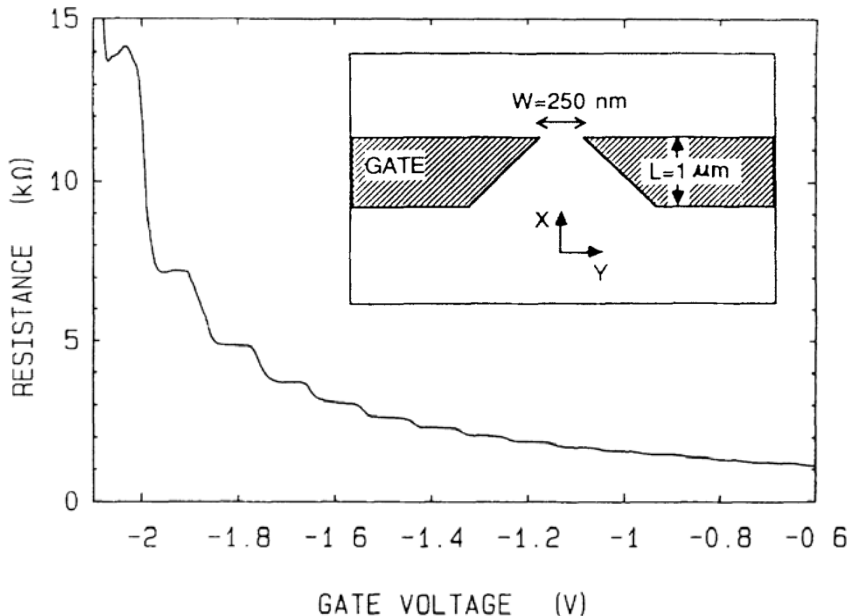
スピンを考慮

透過 T 、モード数 M の場合

$$G = \frac{I}{V} = \frac{2e^2}{h} \quad \longrightarrow \quad G = \frac{2e^2}{h} MT$$

コンダクタンス量子 $g_0 = \frac{2e^2}{h} = 7.7480917346(25) \times 10^{-5} S$

コンダクタンスの量子化



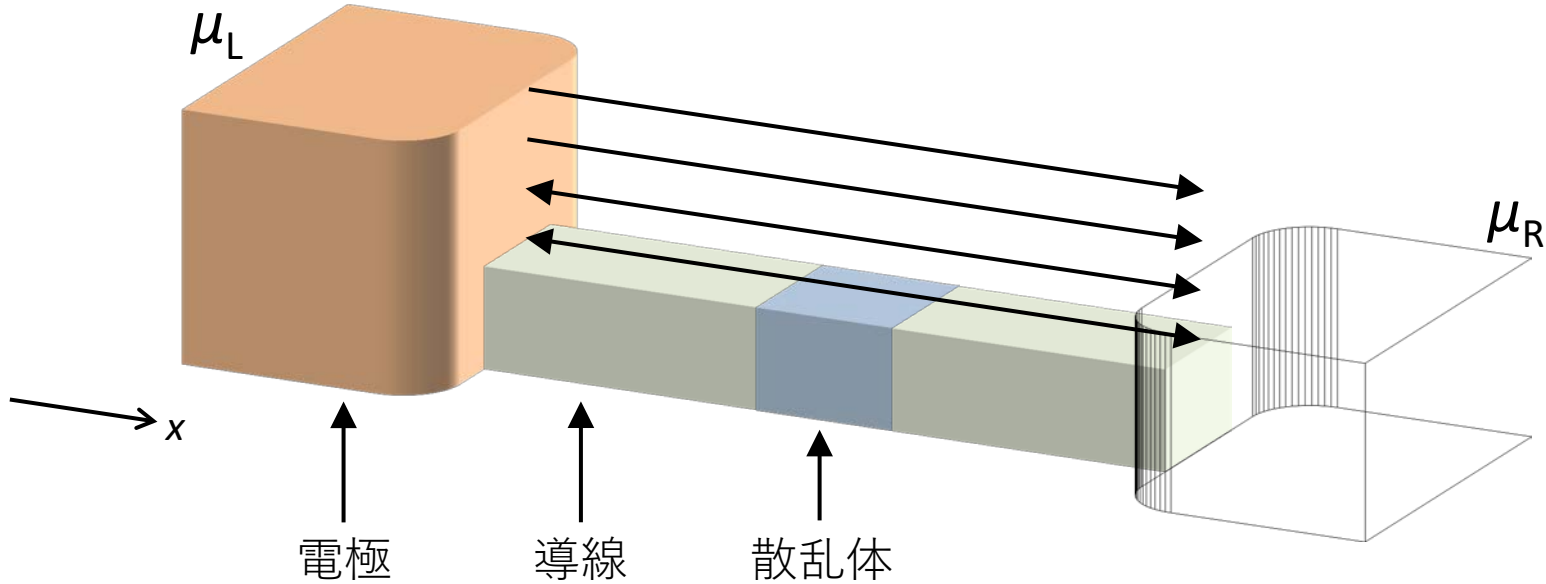
$$\frac{e^2}{\pi \hbar} M = \frac{2e^2}{h} M = g_0 M \text{ でプラトー}$$

ランダウアー公式そのもの ($T = 1$)

“Unexpectedly, plateaus are found in the resistance.”

“The findings ... may imply that we have realized an experimental system which closely approximates the behavior of idealized mesoscopic systems.”

ランダウアー公式

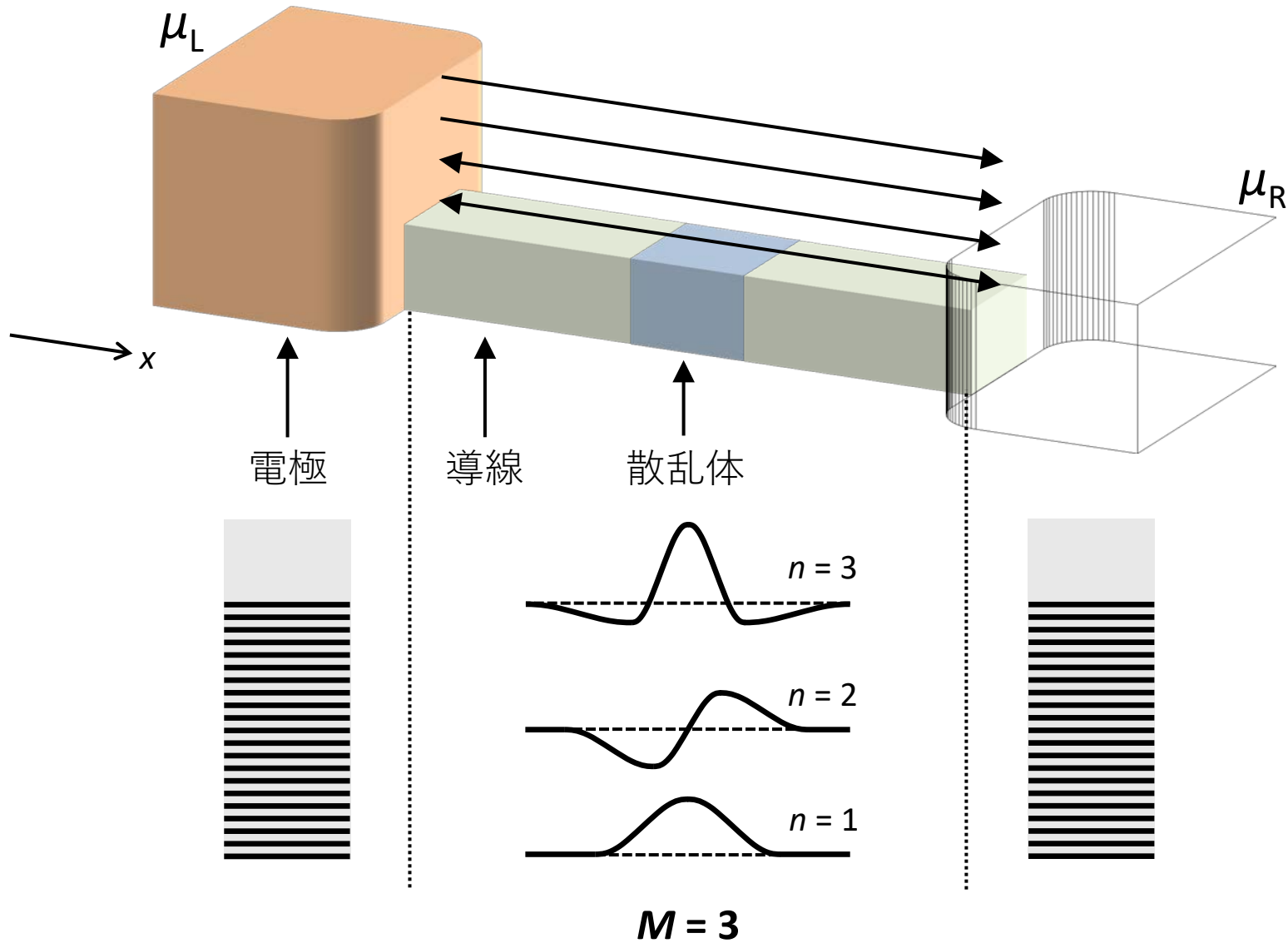


$T = 1$ の場合には散乱がないのに抵抗が存在する

$$G = \frac{2e^2}{h} M \quad \longrightarrow \quad R = \frac{h}{2e^2} \frac{1}{M} = \frac{12.906}{M} \text{ k}\Omega$$

電極と導線の間の“接触抵抗”

ランダウアー公式



色々な疑問点

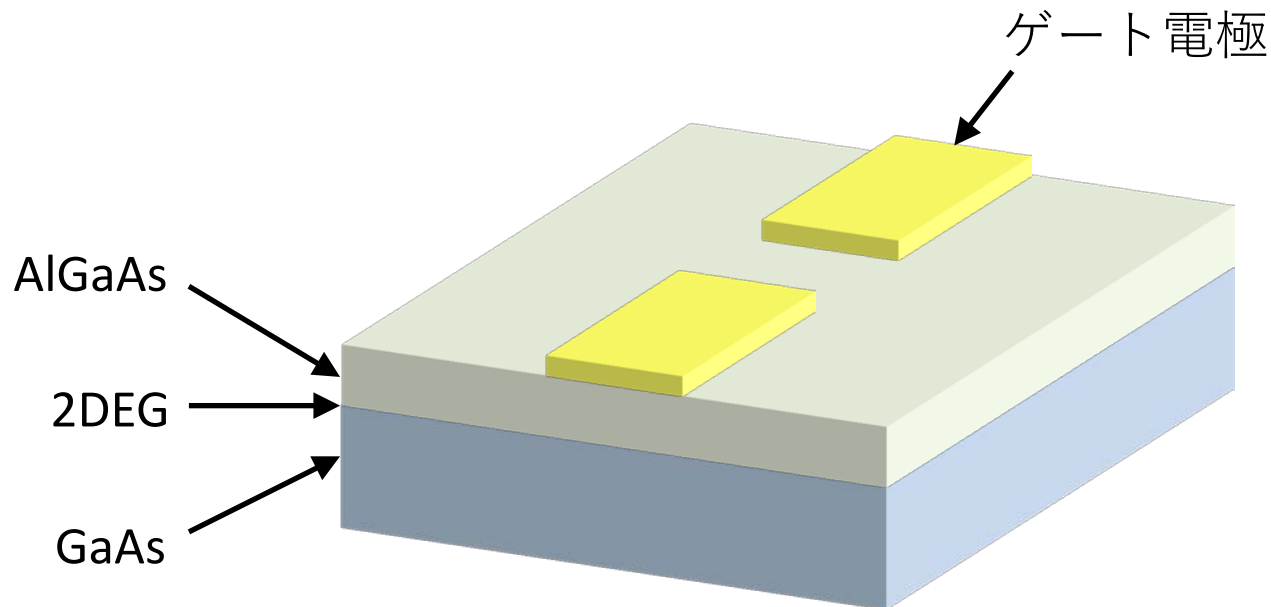
- オームの法則との関係?
 - 抵抗の起源
 - 散乱体での散逸
 - 散乱体が複数あるケース
- 温度やバイアスの効果?
- 複数の端子がある場合?
 - ランダウアー・ビュティカー公式
 - 4端子測定における電圧端子の役割
 - 電子の統計性(パウリの排他律)
などなど...

講義内容

- **量子輸送の基礎**
 - 2次元電子系
 - ランダウアー公式
 - 量子ポイントコンタクト
- 整数量子ホール効果
- 量子ホール効果とノーベル賞

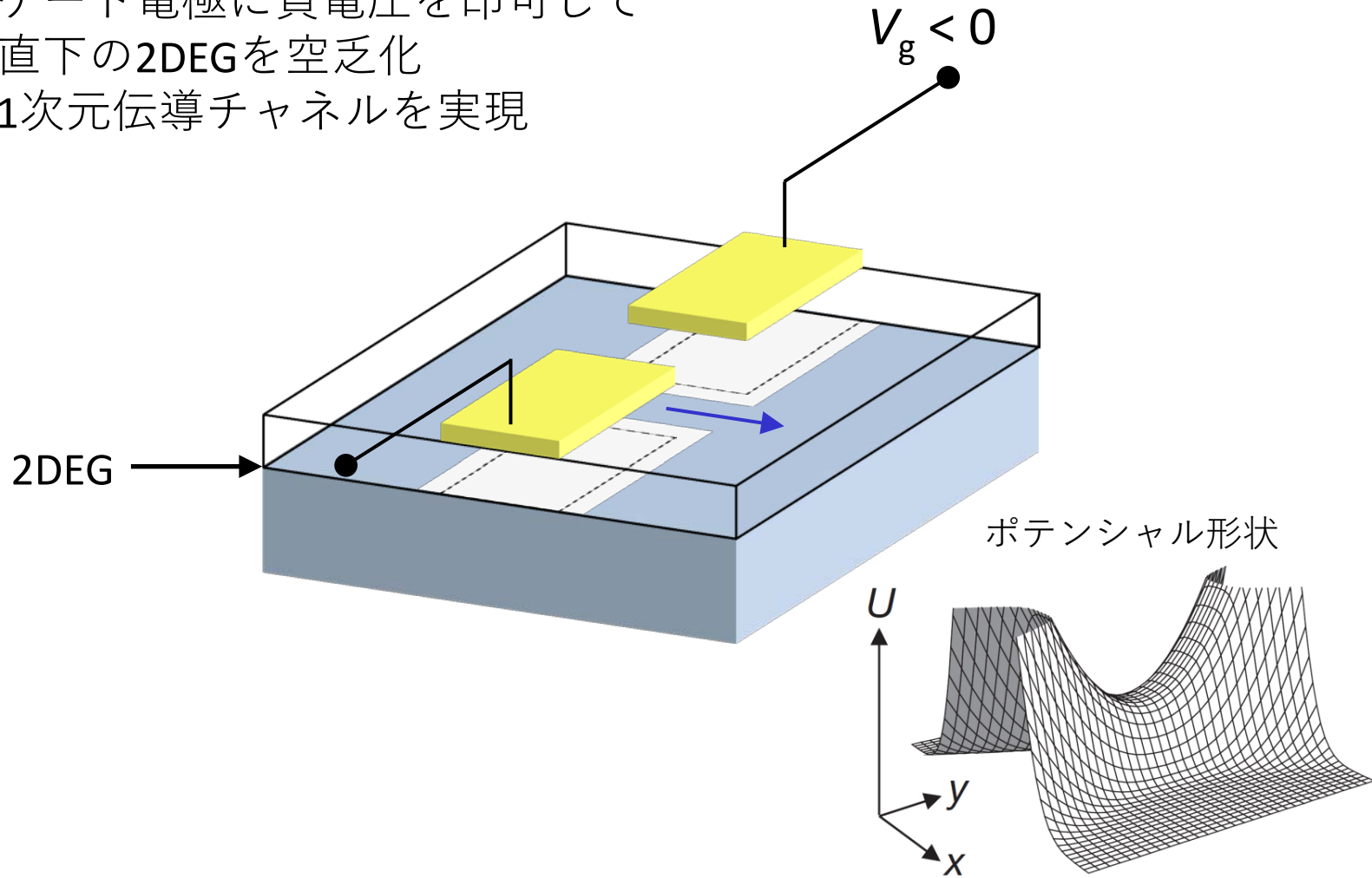
量子ポイントコンタクト

Quantum Point Contact = QPC



量子ポイントコンタクト

- ゲート電極に負電圧を印可して直下の2DEGを空乏化
- 1次元伝導チャネルを実現



典型的なナノ構造作製手順

1. メサ構造作製

- フォトリソグラフィ
- 電流の流れで欲しくない場所を化学エッティングで取り除いて空乏化する

2. オームック電極形成

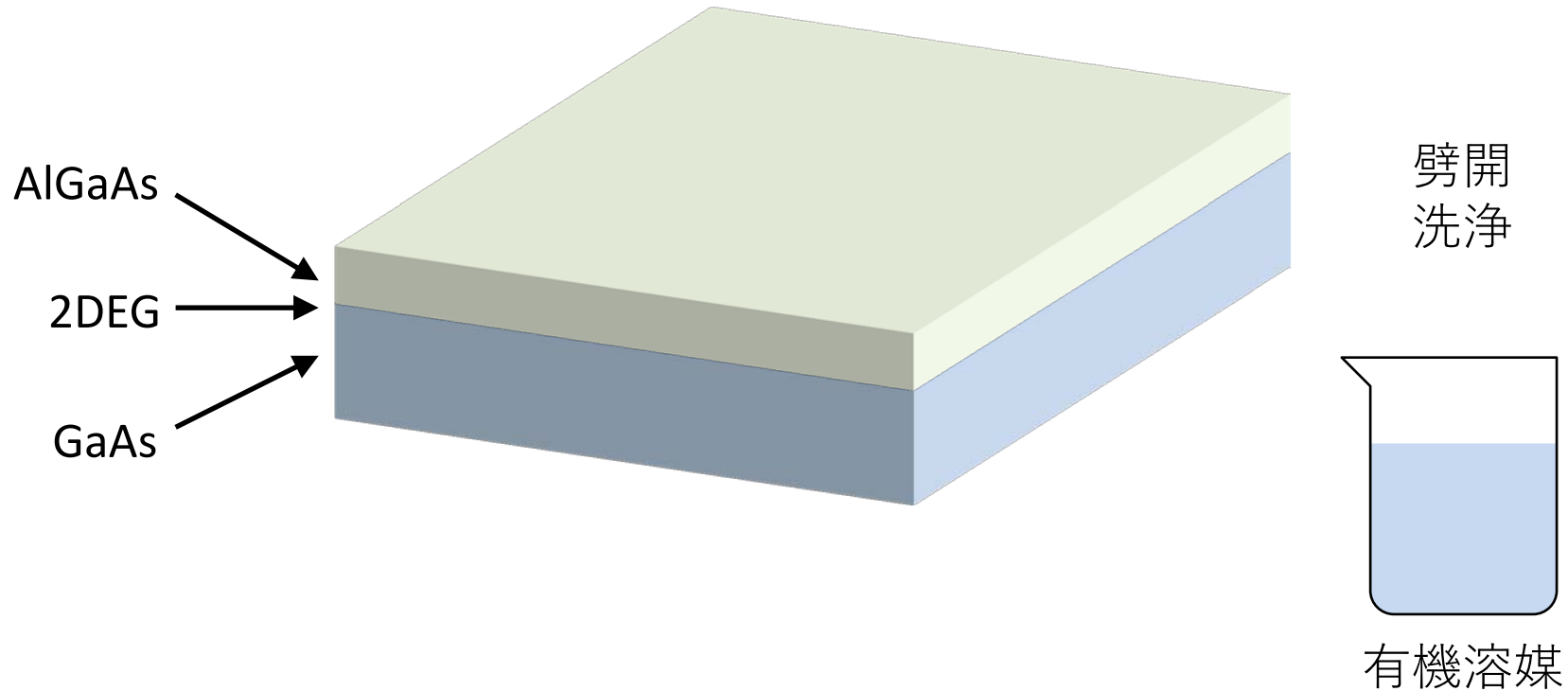
- フォトリソグラフィ
- 基板表面と2次元電子のいるヘテロ界面を繋ぐ

3. ショットキー電極作製

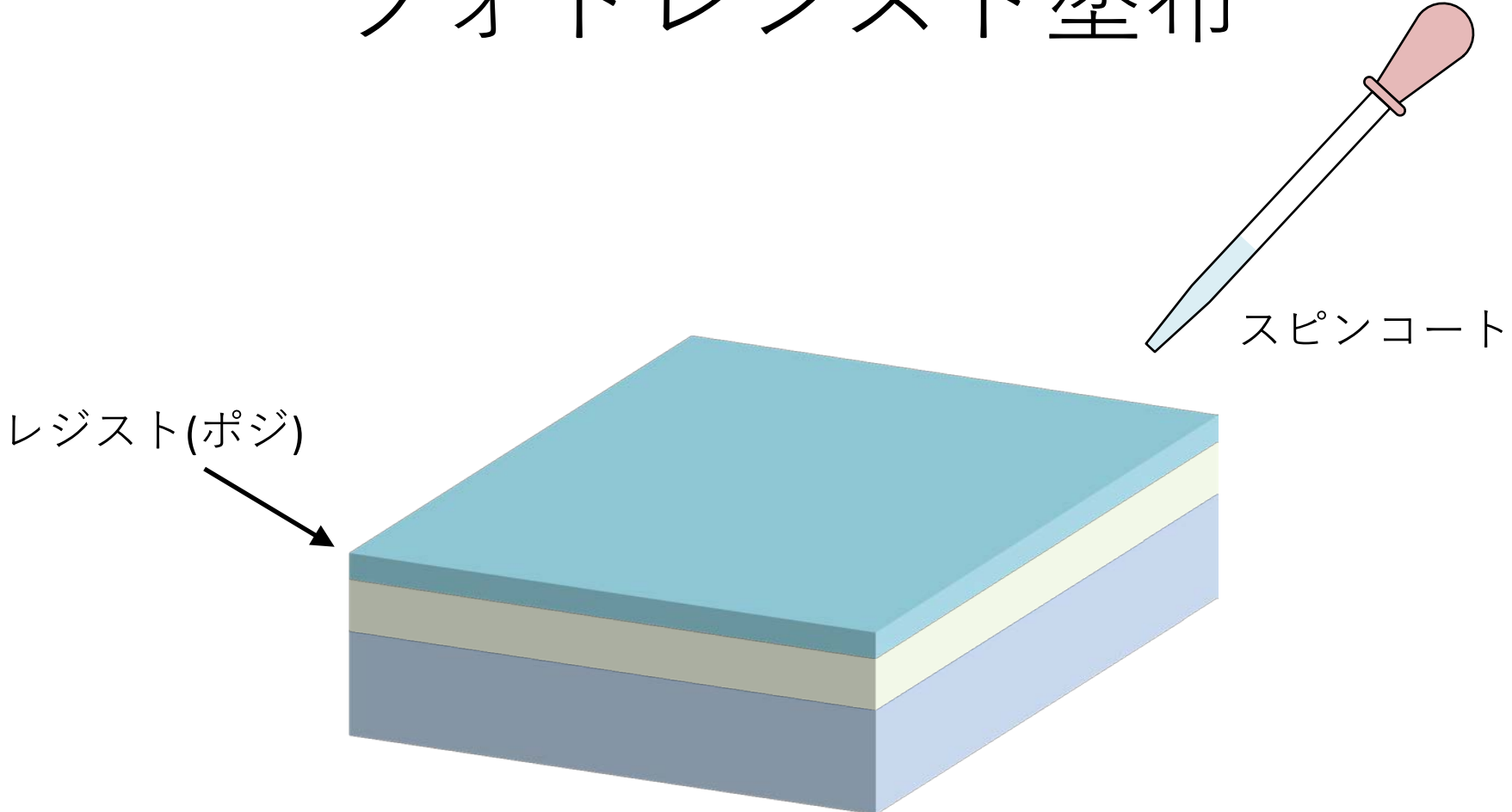
- 電子線リソグラフィ
- 基板表面に配置するゲート電極によりナノ構造形成

細かいファブレシピは多岐に渡る

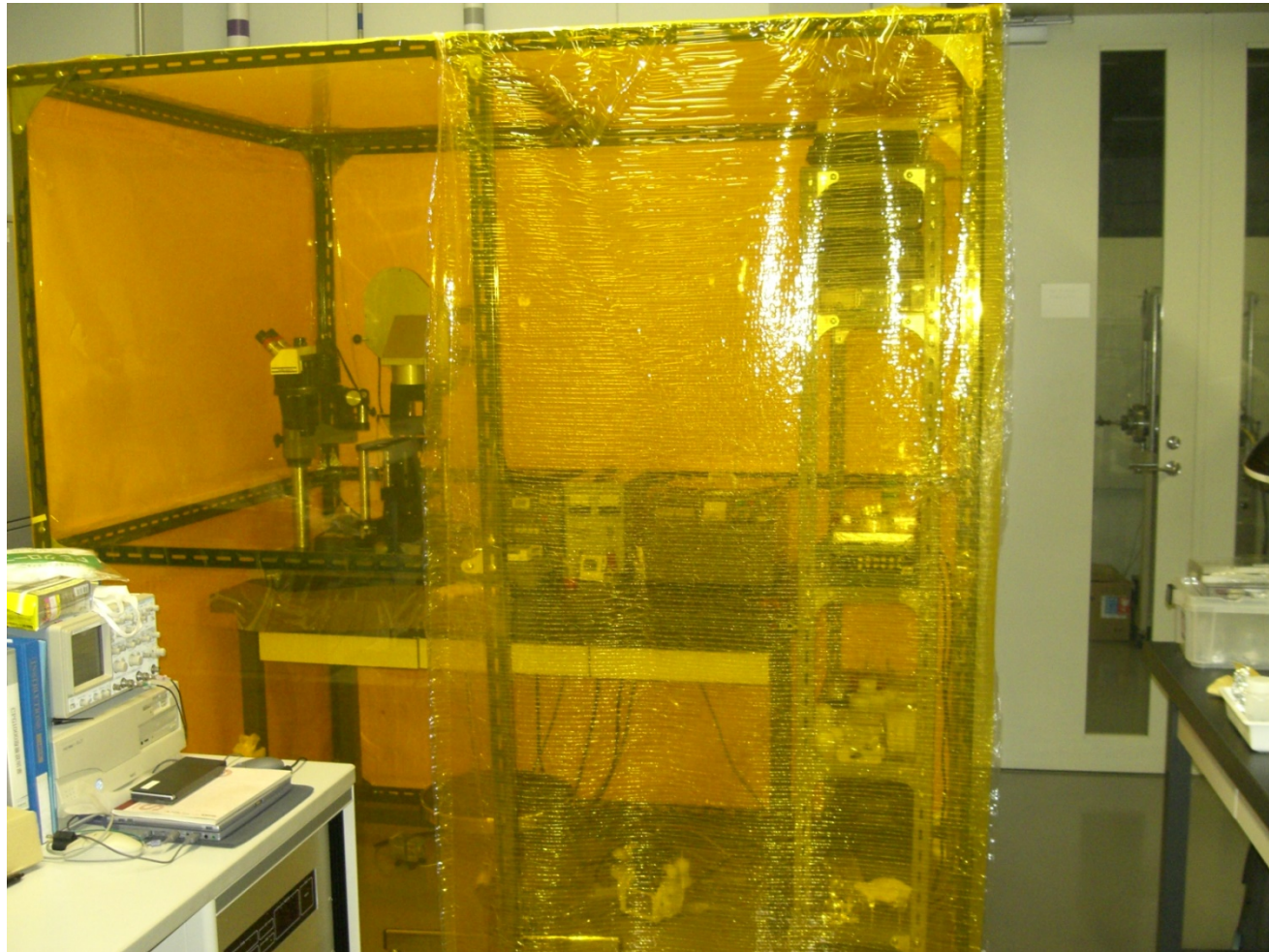
ヘテロ構造基板



フォトレジスト塗布

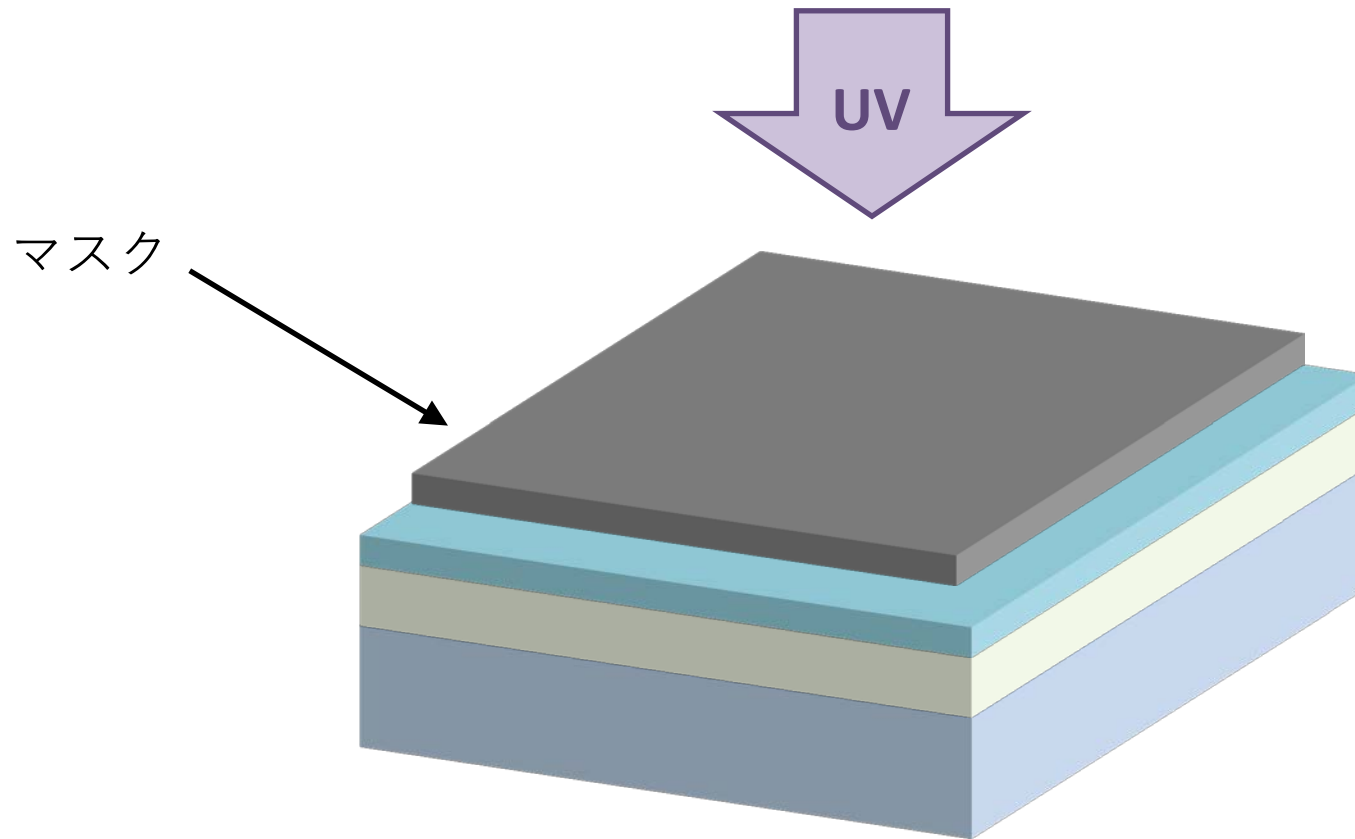


フォトリソグラフィー



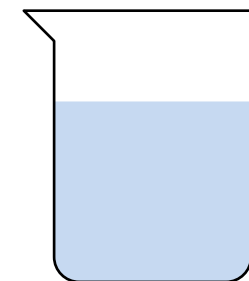
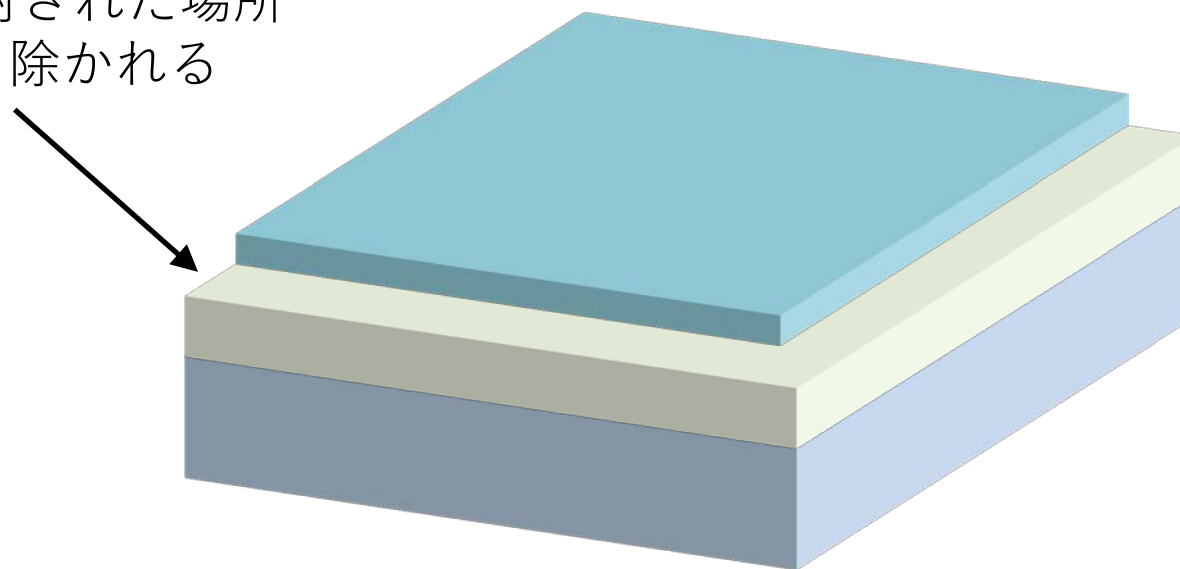
東京大学 物性研究所 家・勝本研究室 (2008)

メサ構造用マスクして露光



現像

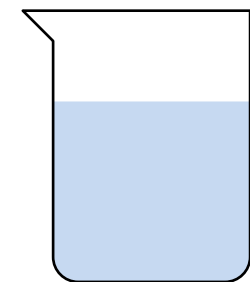
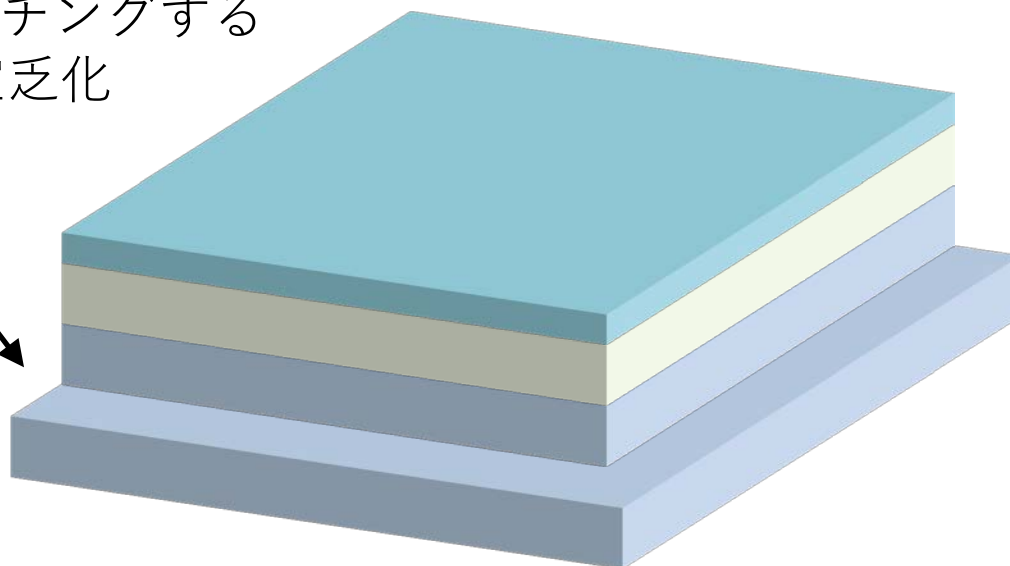
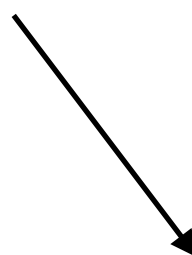
UVの照射された場所
のみ取り除かれる



現像液

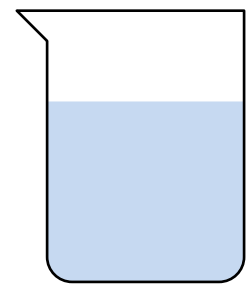
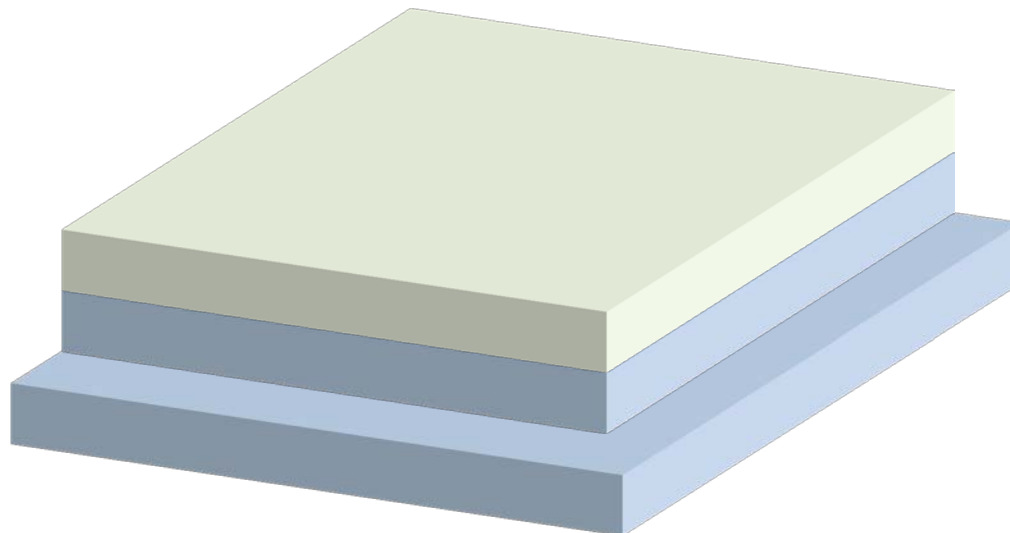
化学エッチング

GaAs層までエッチングすることで2DEGを空乏化



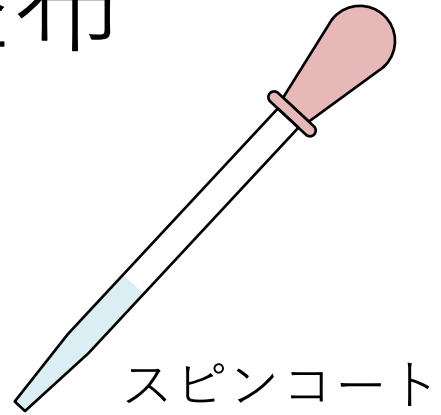
酸混合液

リフトオフ

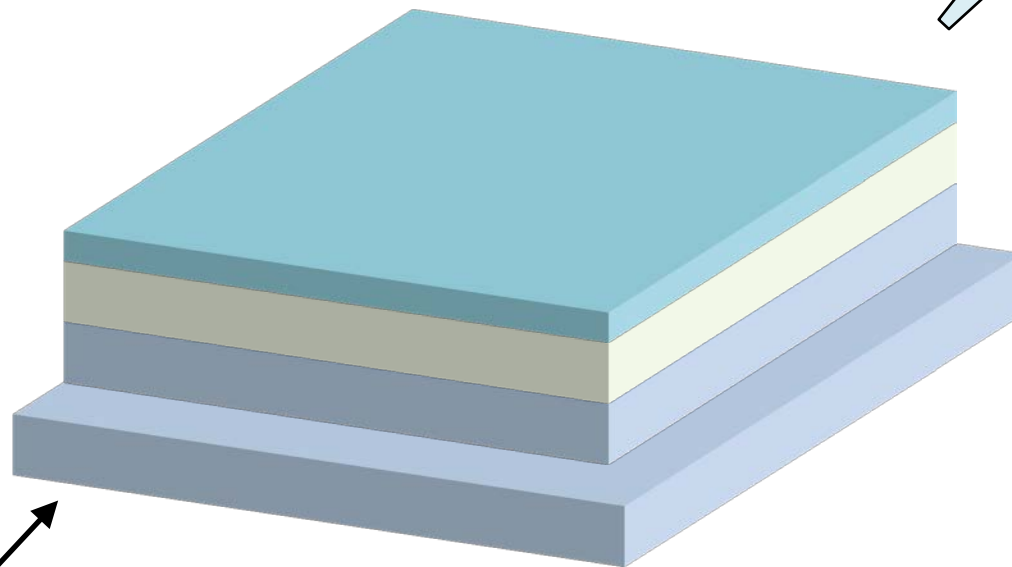


リムーバ

フォトレジスト塗布

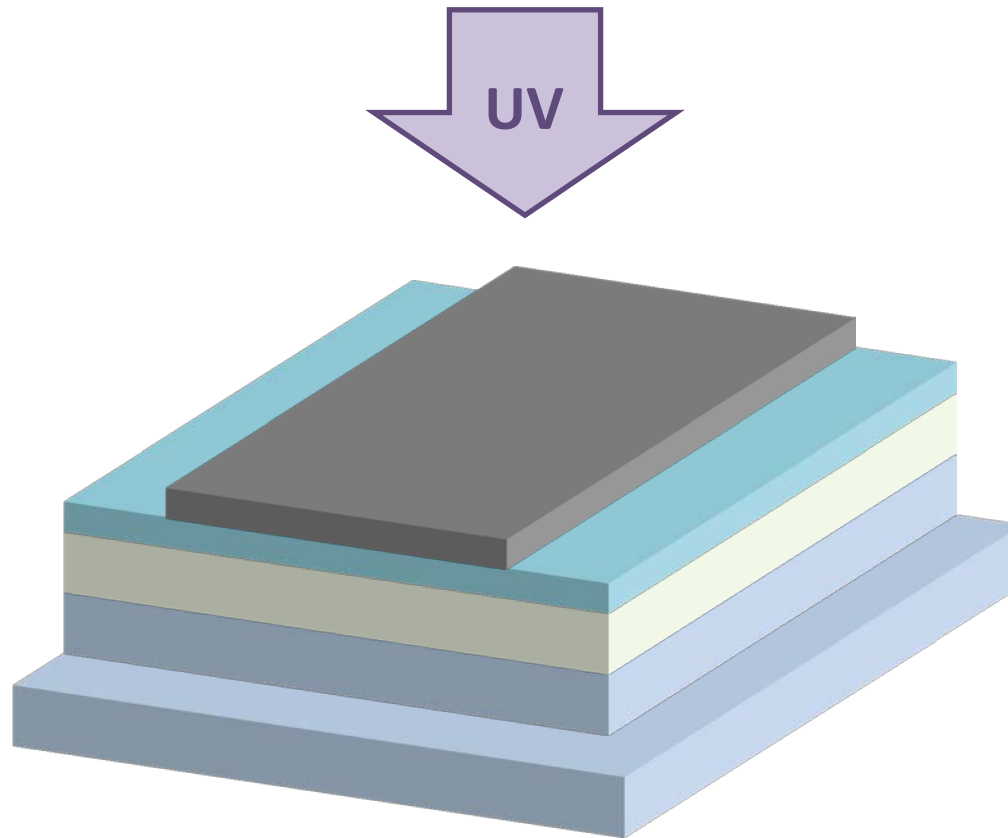


スピノコート

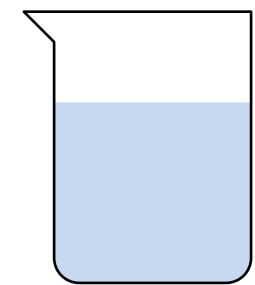
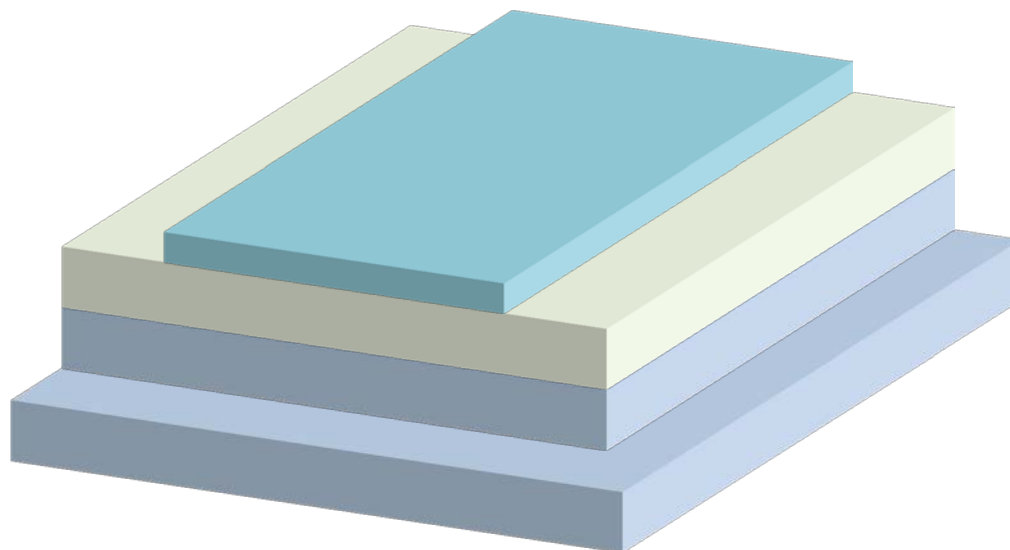


(実際には空乏化した場所にもレジストが塗布される)

電極構造用マスクして露光

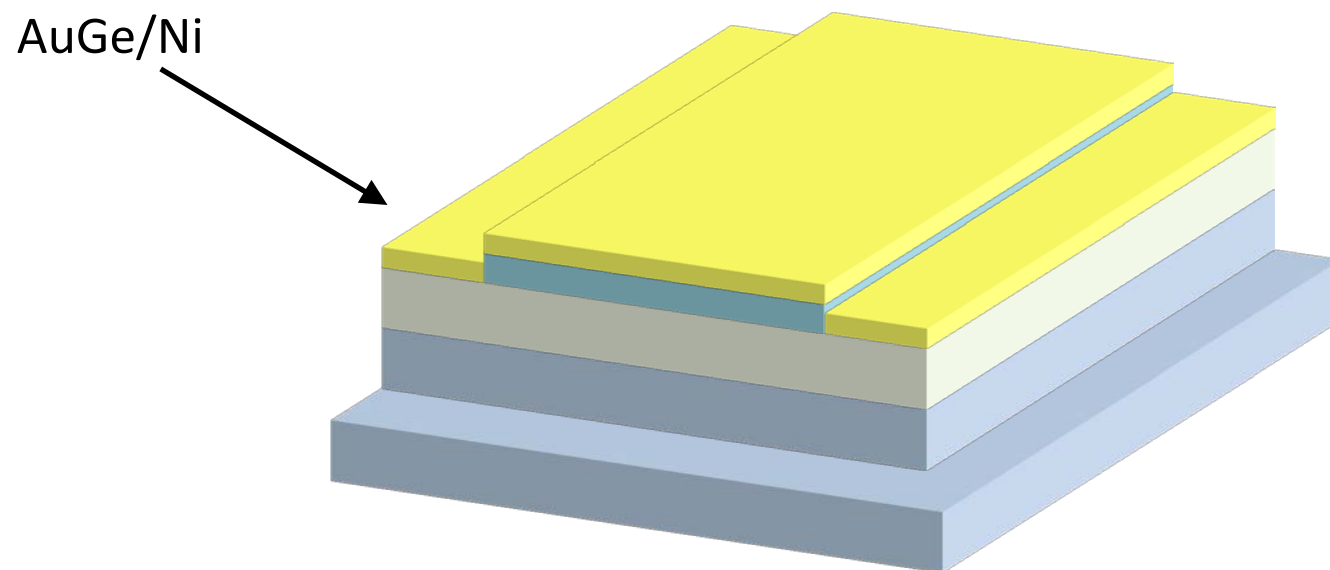


現像



現像液

オームミック電極用金属を蒸着

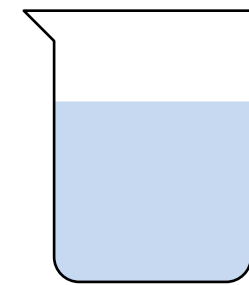
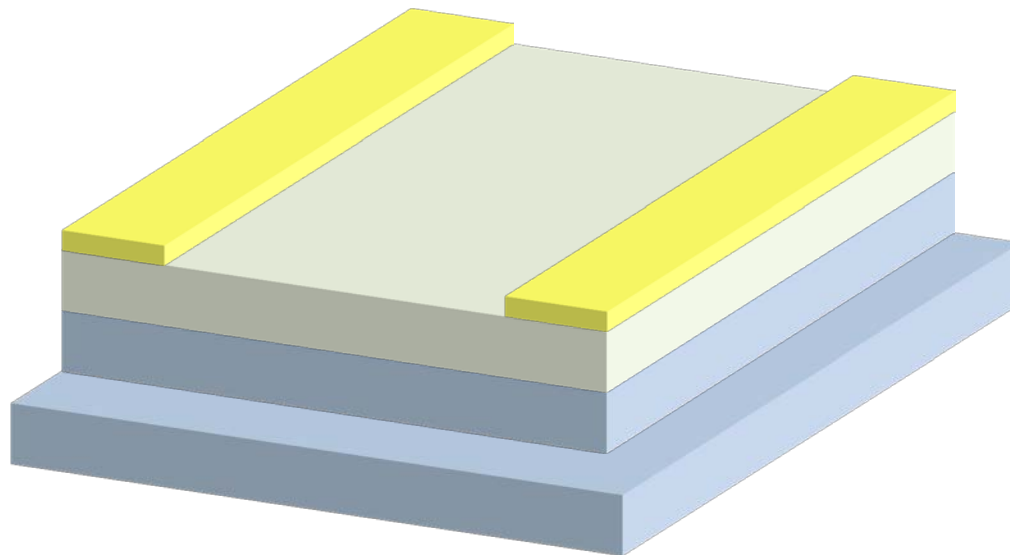


イオンビームスパッタ



東京大学 物性研究所 家・勝本研究室 (2008)

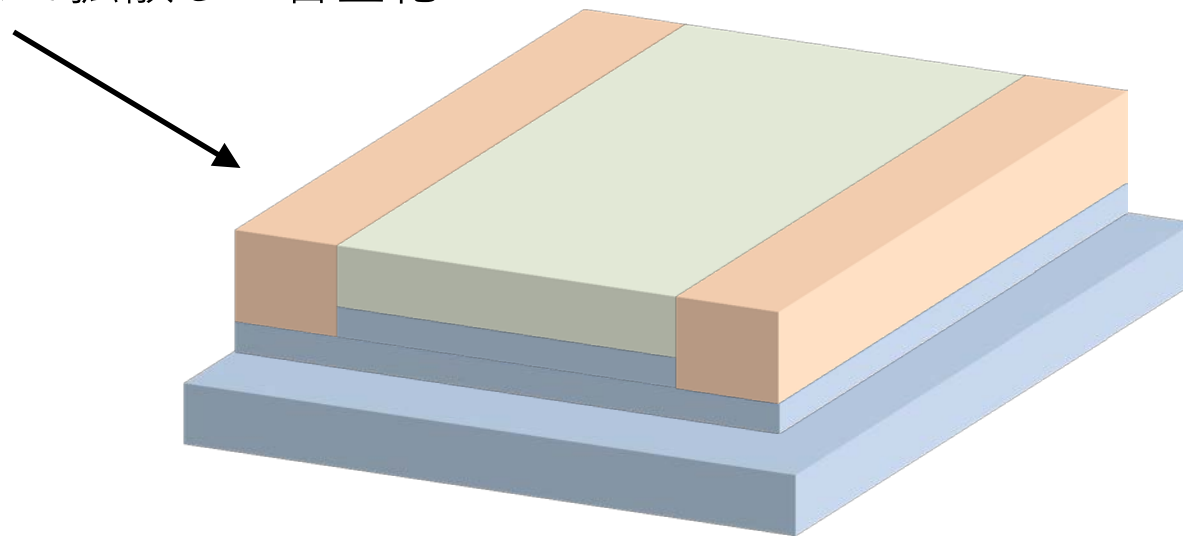
リフトオフ



リムーバ

アニール(オームイック電極形成)

2DEGまで拡散して合金化

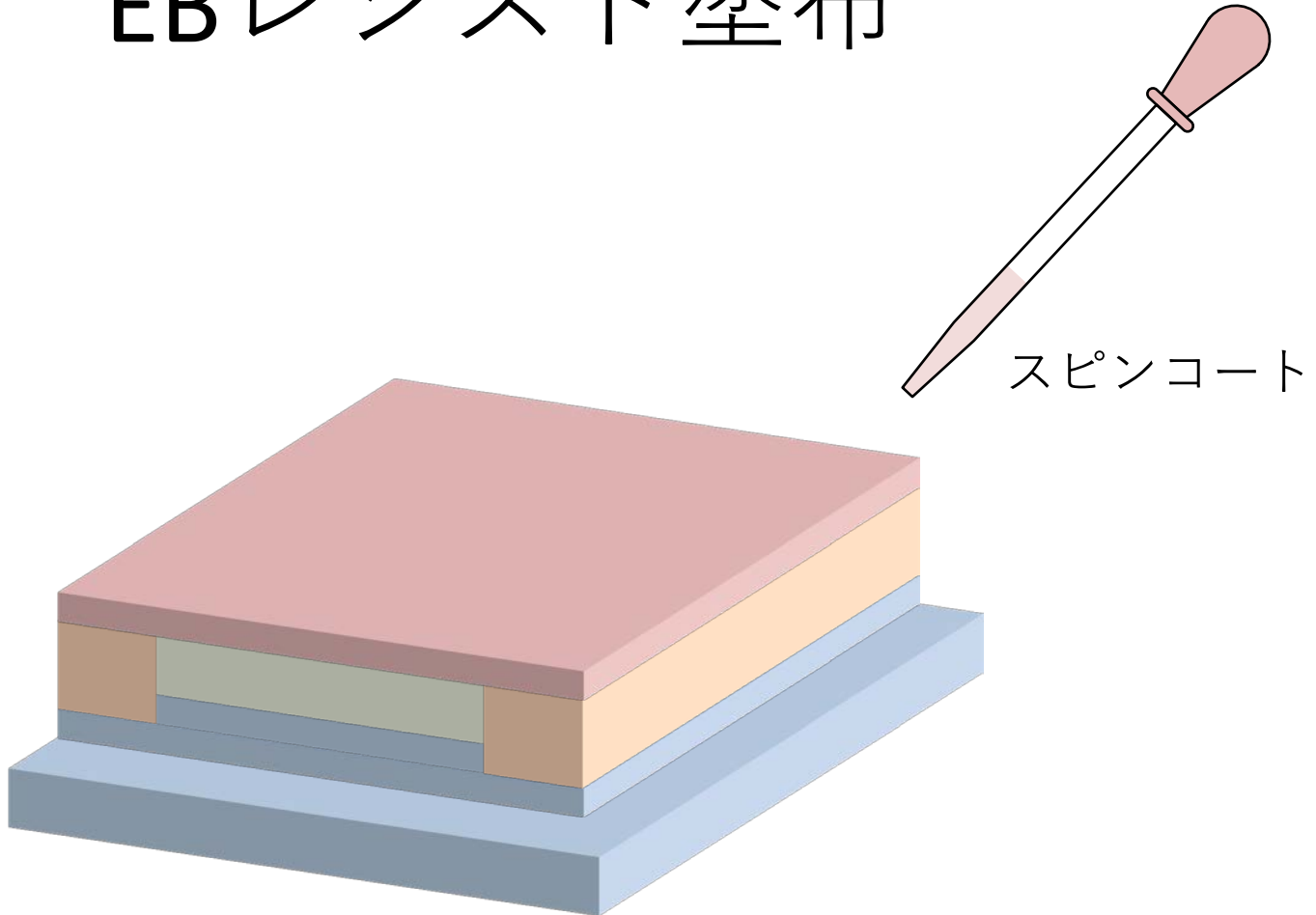


アニール炉

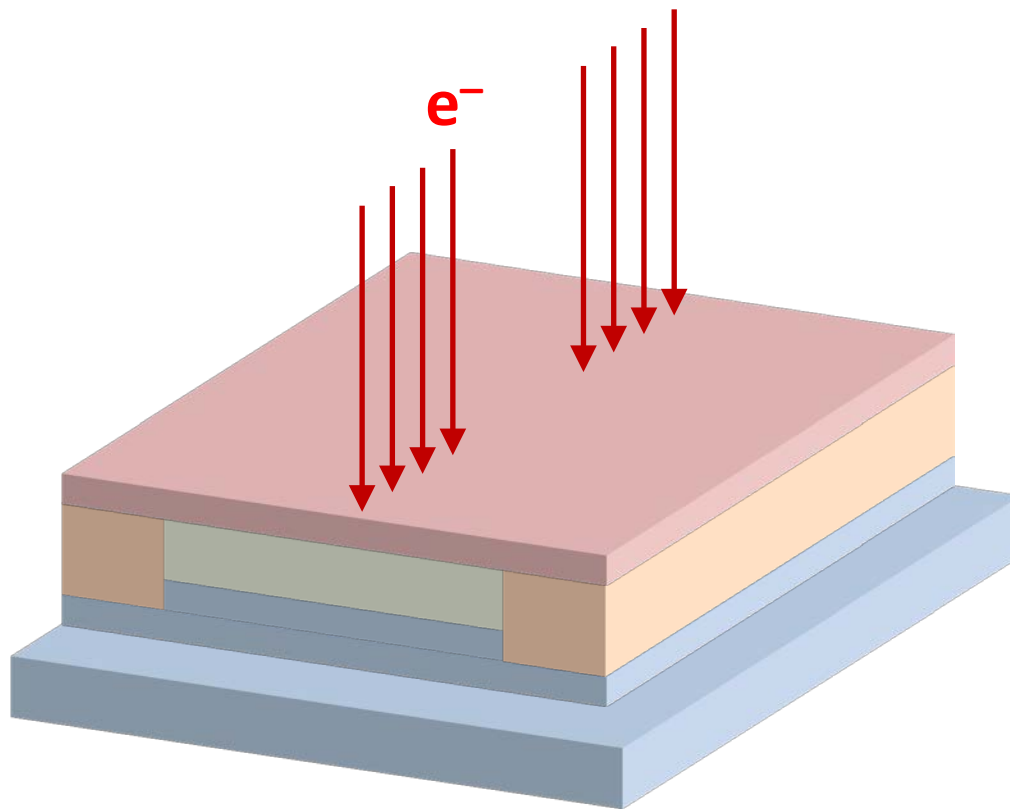


東京大学 物性研究所 家・勝本研究室 (2008)

EBレジスト塗布



ナノ構造を電子線描画

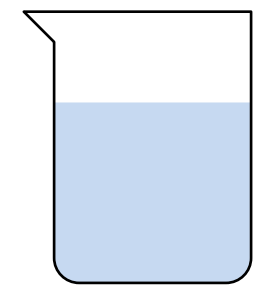
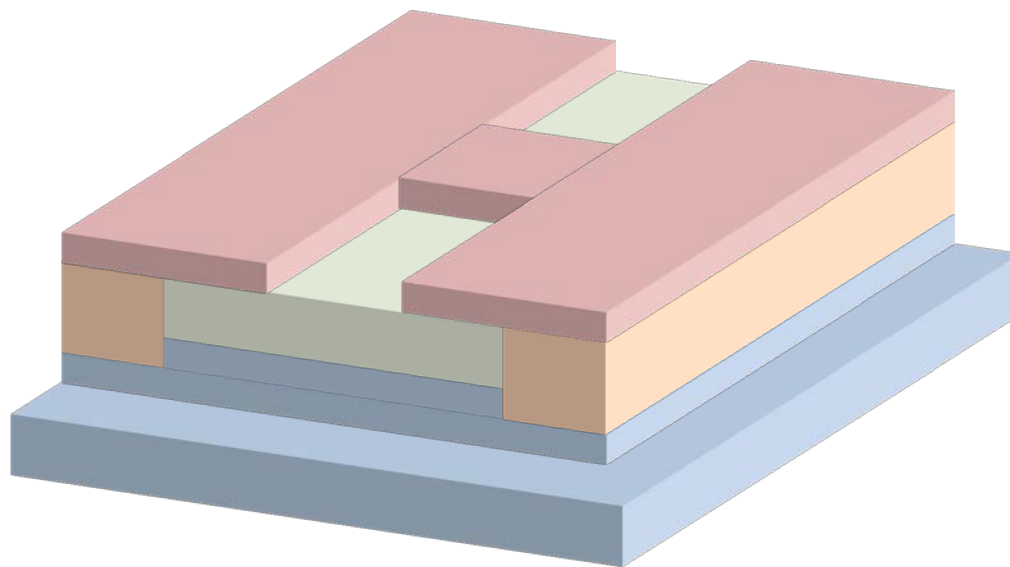


電子線リソグラフィ装置



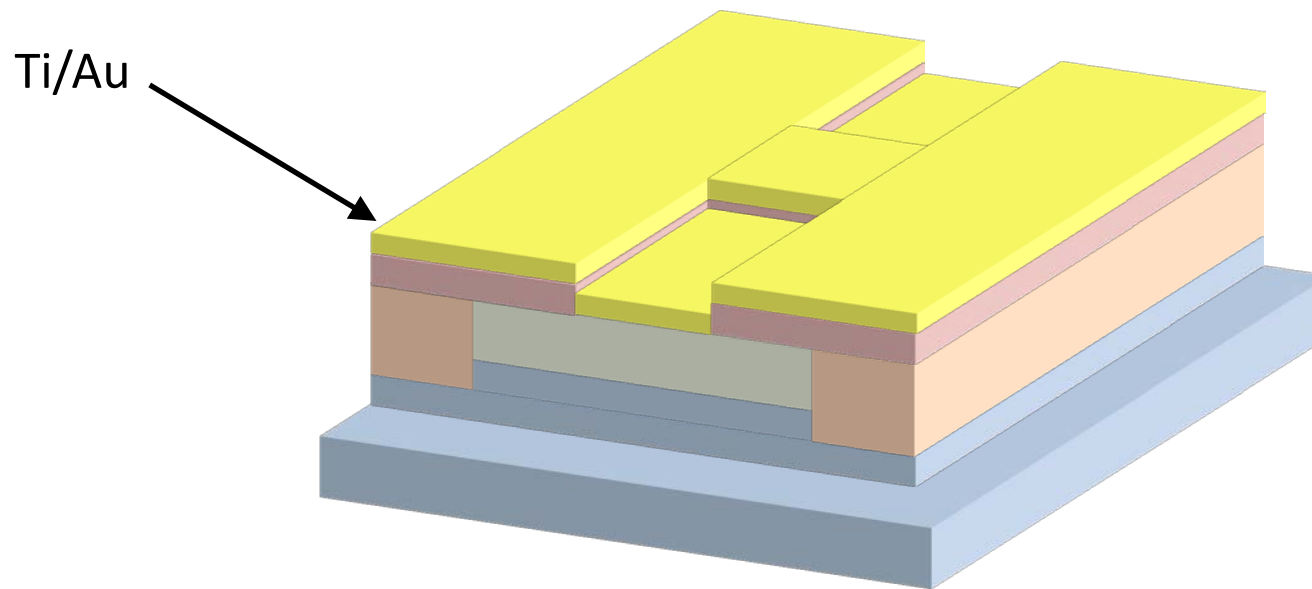
東京大学 物性研究所 家・勝本研究室 (2008)

現像

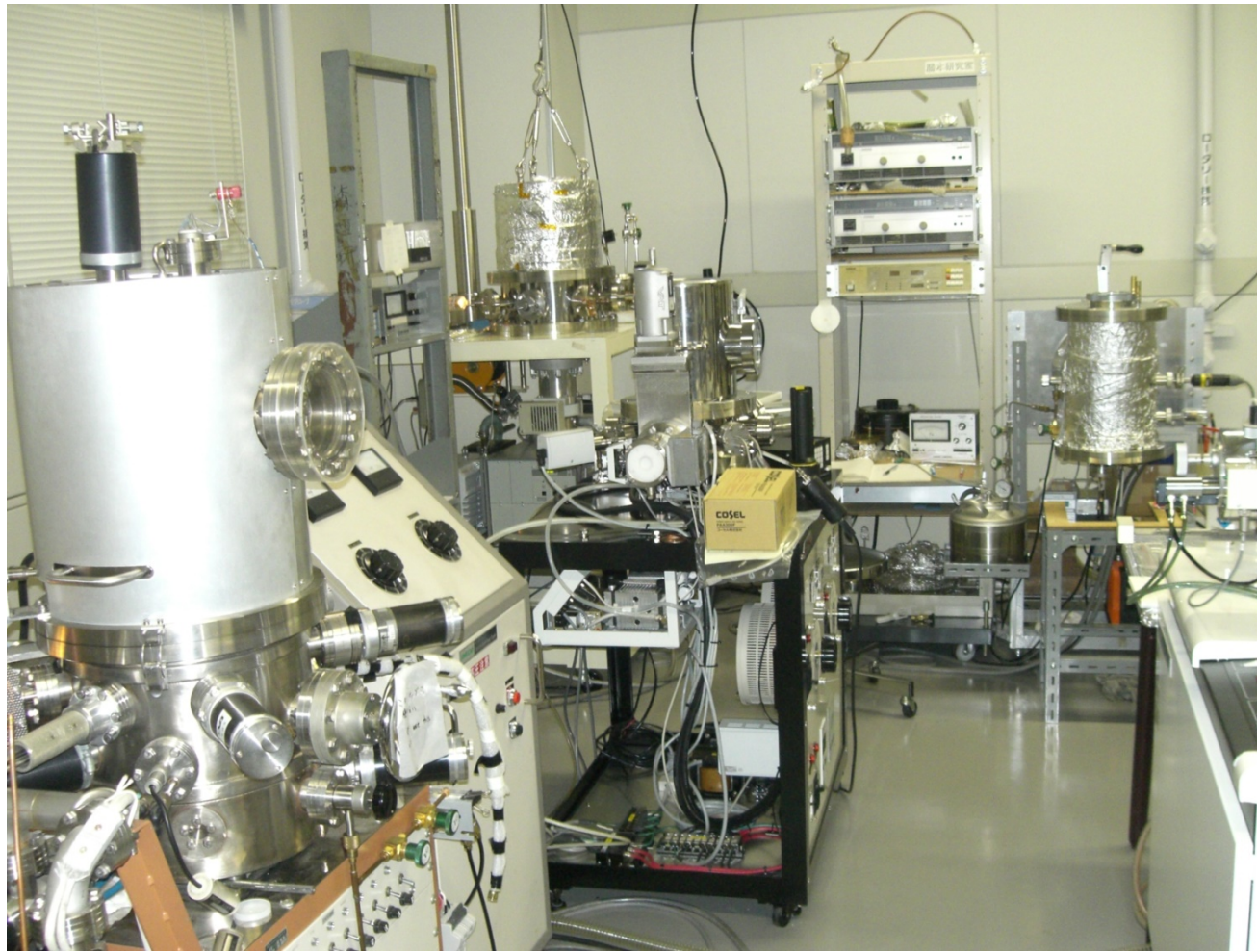


現像液

金属蒸着

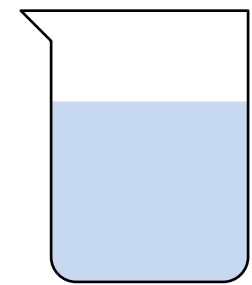
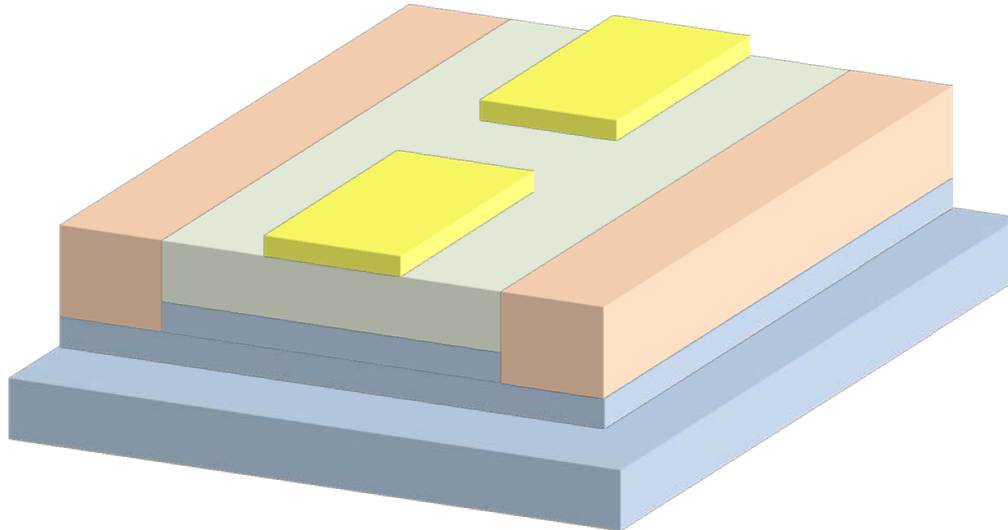


電子線蒸着装置



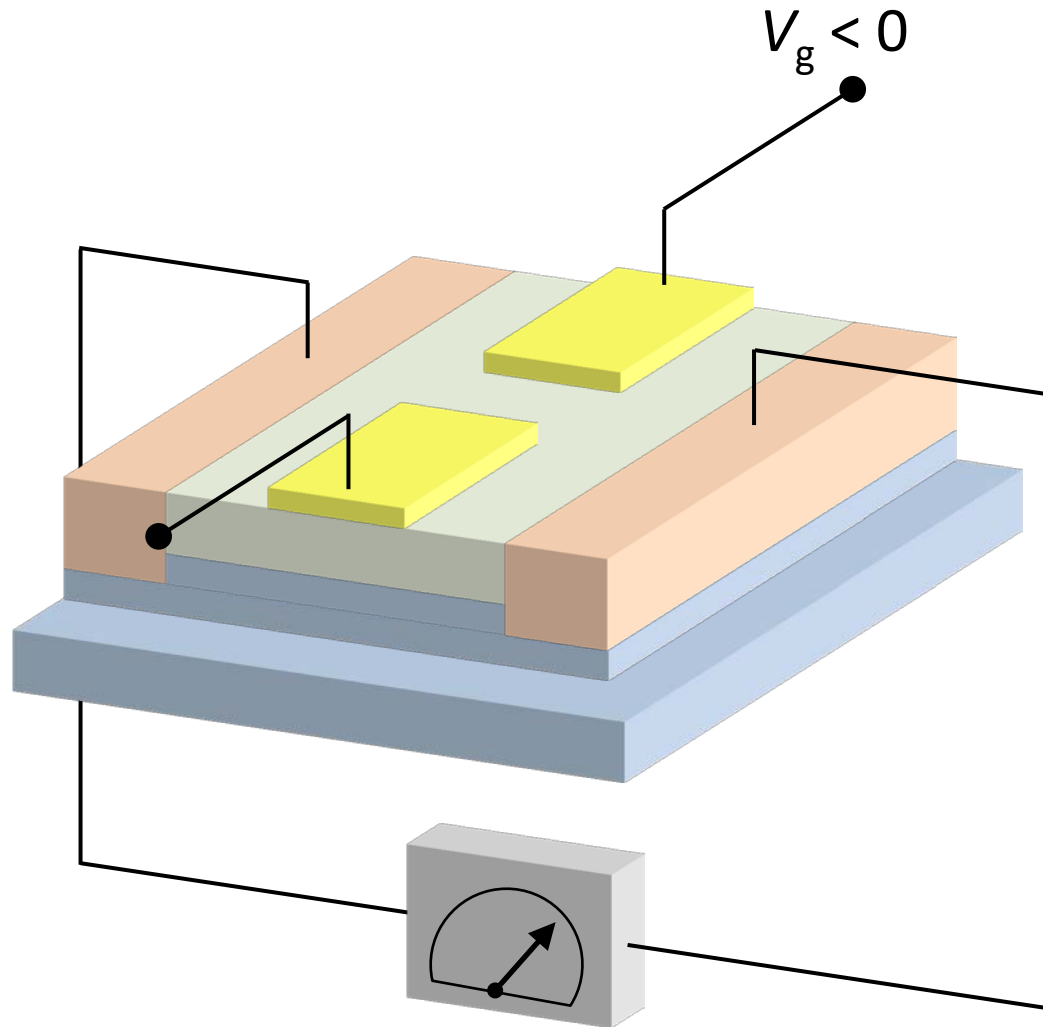
東京大学 物性研究所 家・勝本研究室 (2008)

リフトオフ



リムーバ

ワイヤボンディングして測定

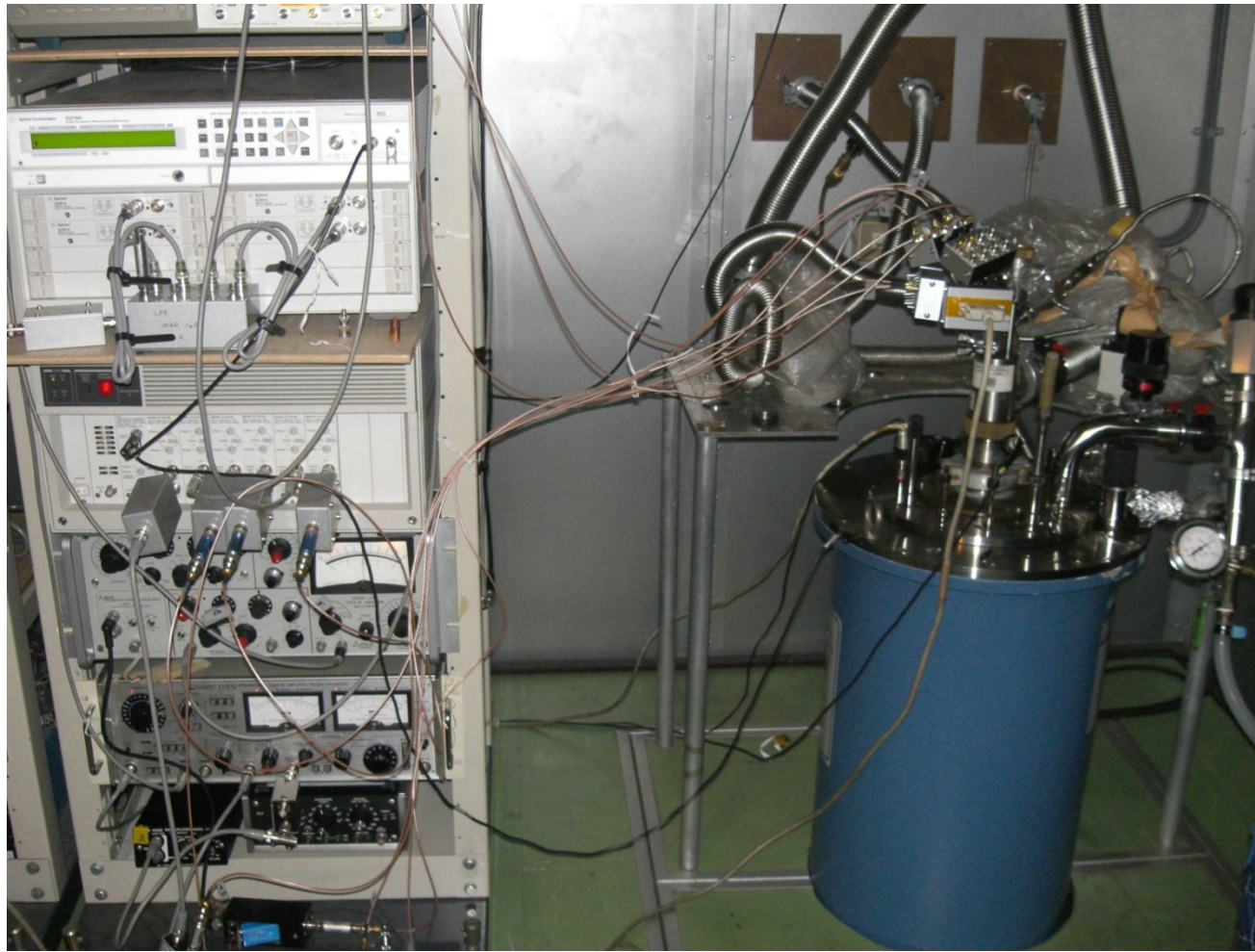


ワイヤボンダー



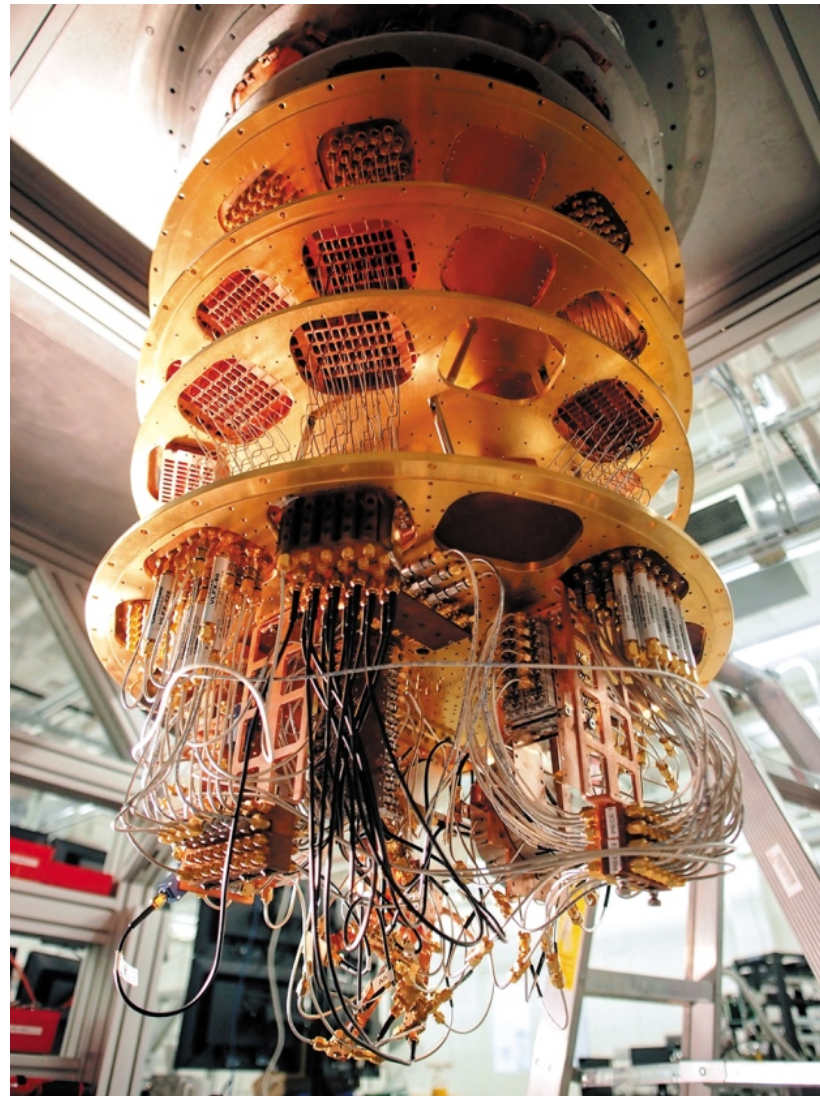
東京大学 物性研究所 家・勝本研究室 (2008)

低温強磁場測定系



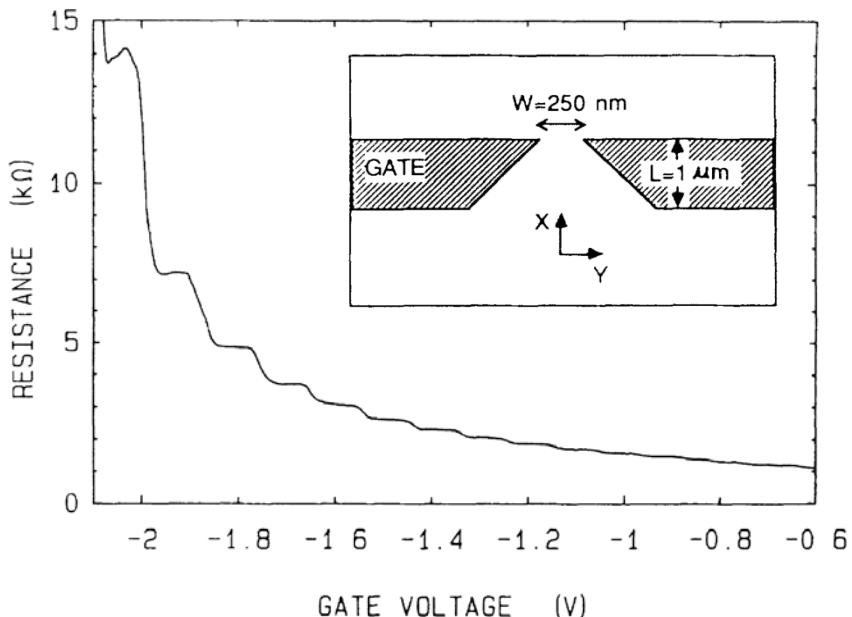
東京大学 物性研究所 家・勝本研究室 (2008)

最近の無冷媒希釈冷凍機内部



Quantum processors at Google © Erik Lucero

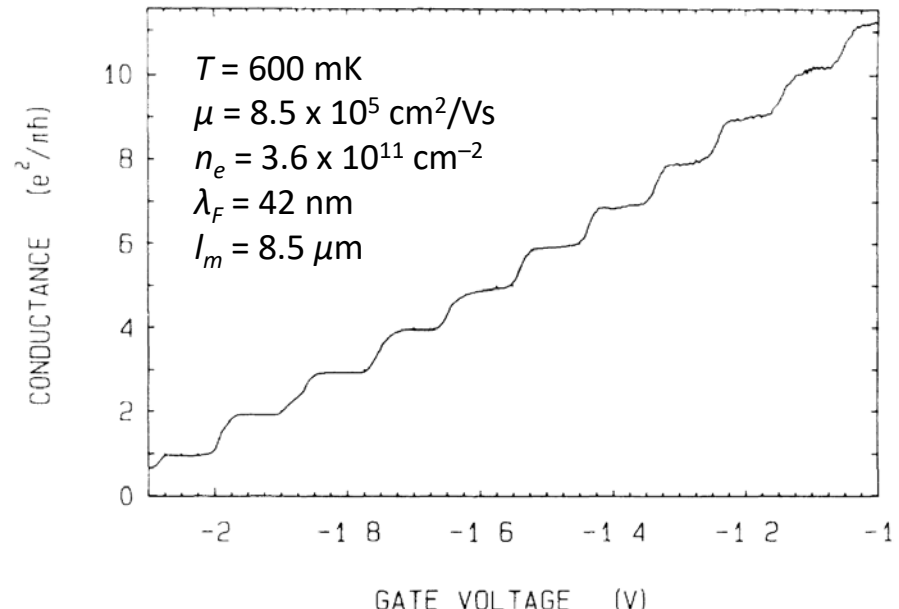
コンダクタンスの量子化



$$\frac{e^2}{\pi\hbar}M = \frac{2e^2}{h}M = g_0M \text{ でプラトー}$$

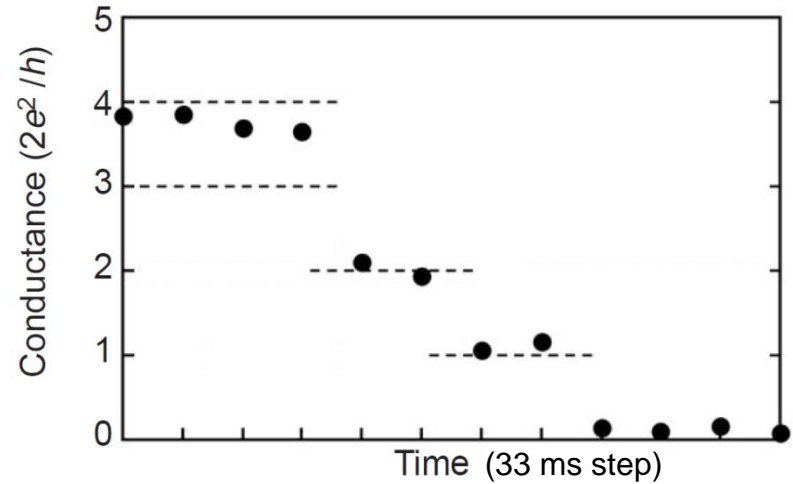
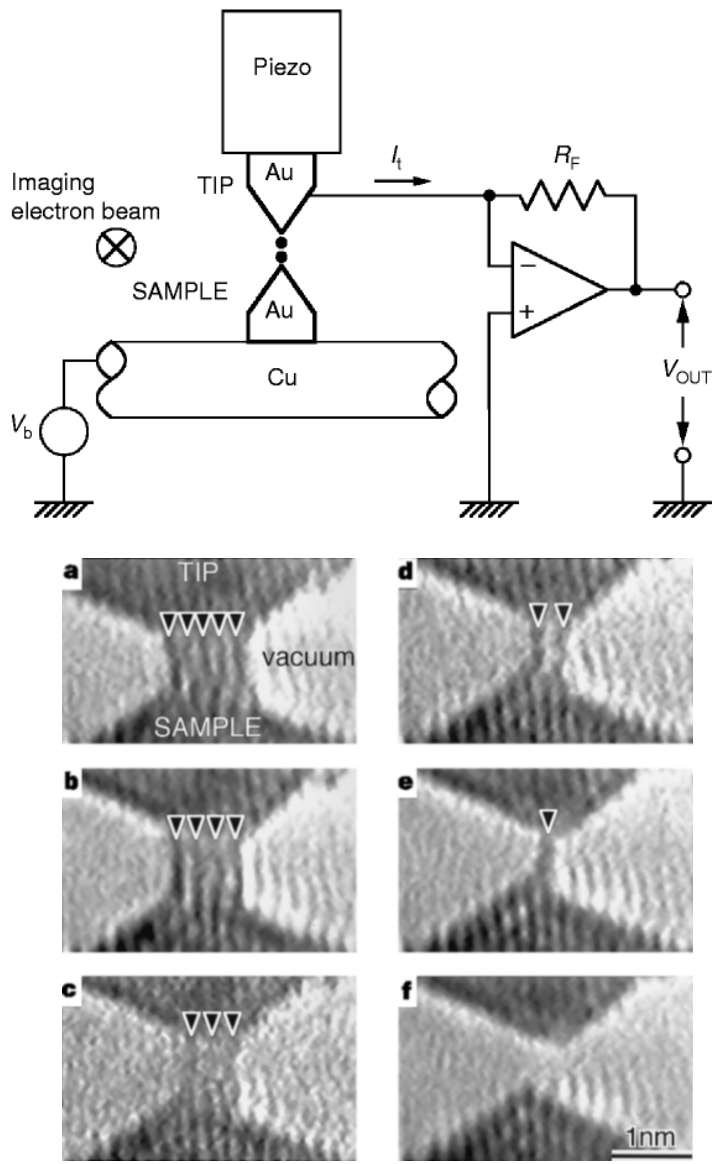
“Unexpectedly, plateaus are found in the resistance.”

“The findings ... may imply that we have realized an experimental system which closely approximates the behavior of idealized mesoscopic systems.”

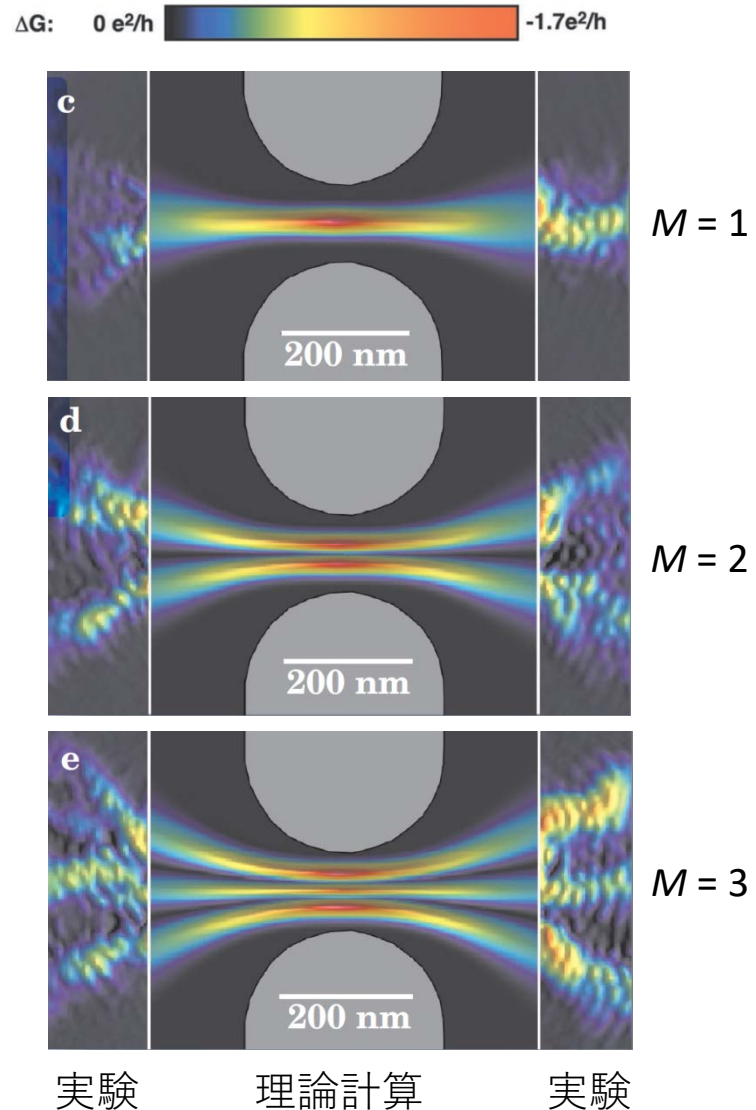
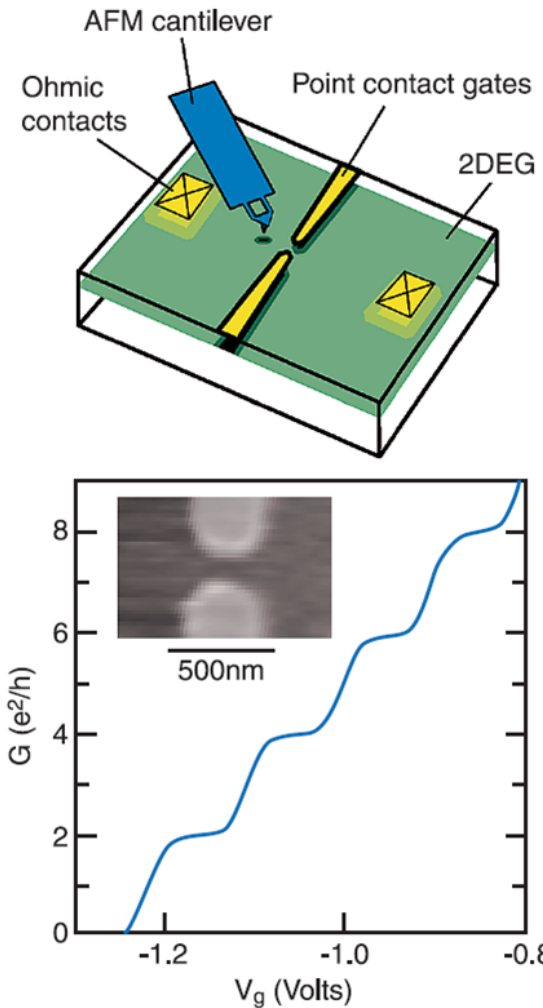


ランダウアー公式そのもの ($T = 1$)

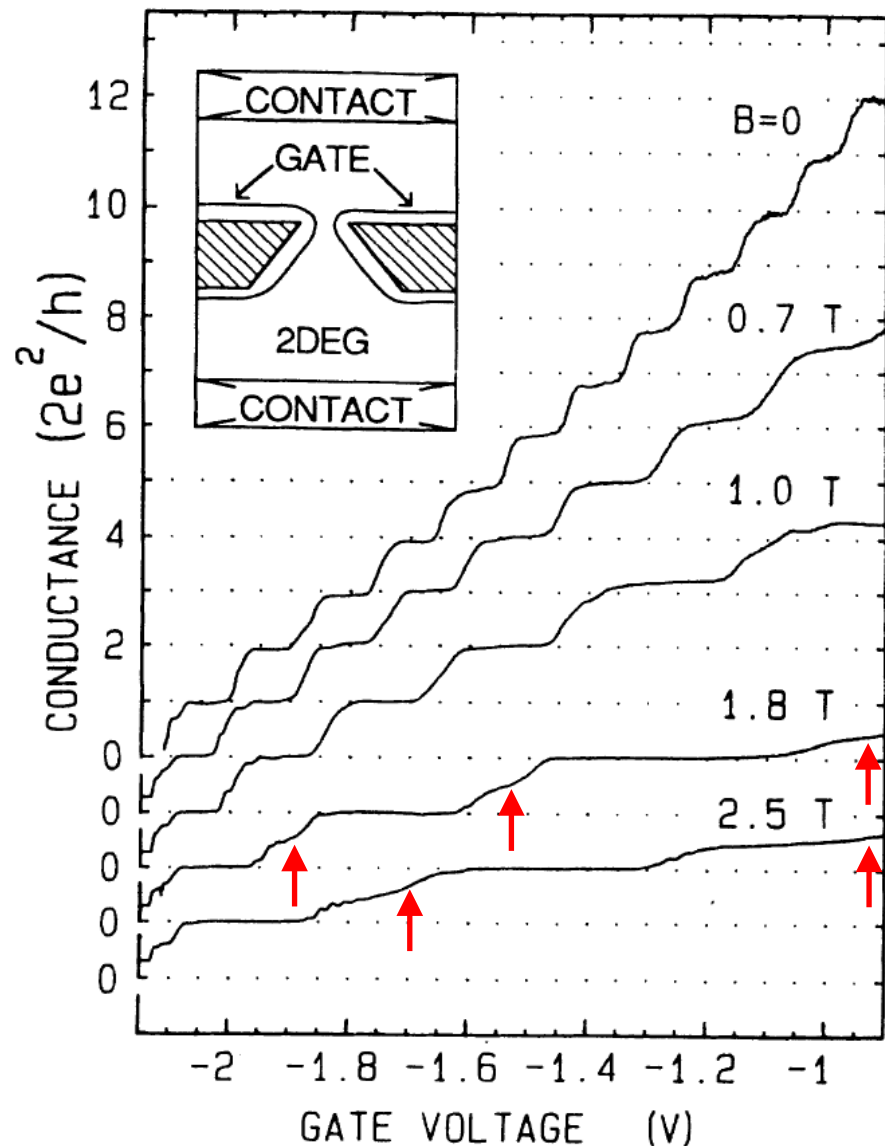
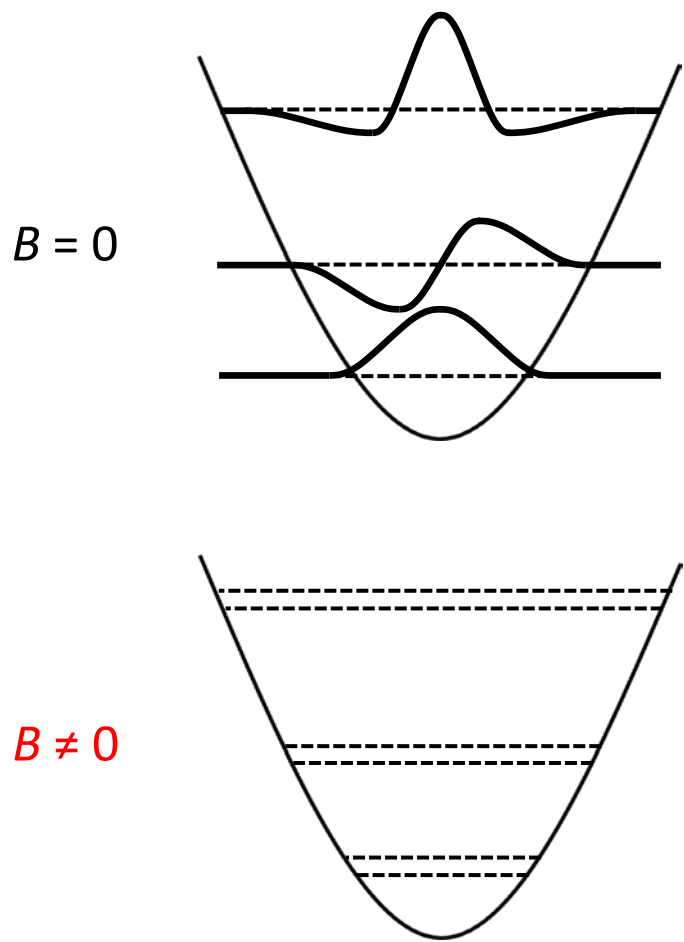
cf. 金属の場合



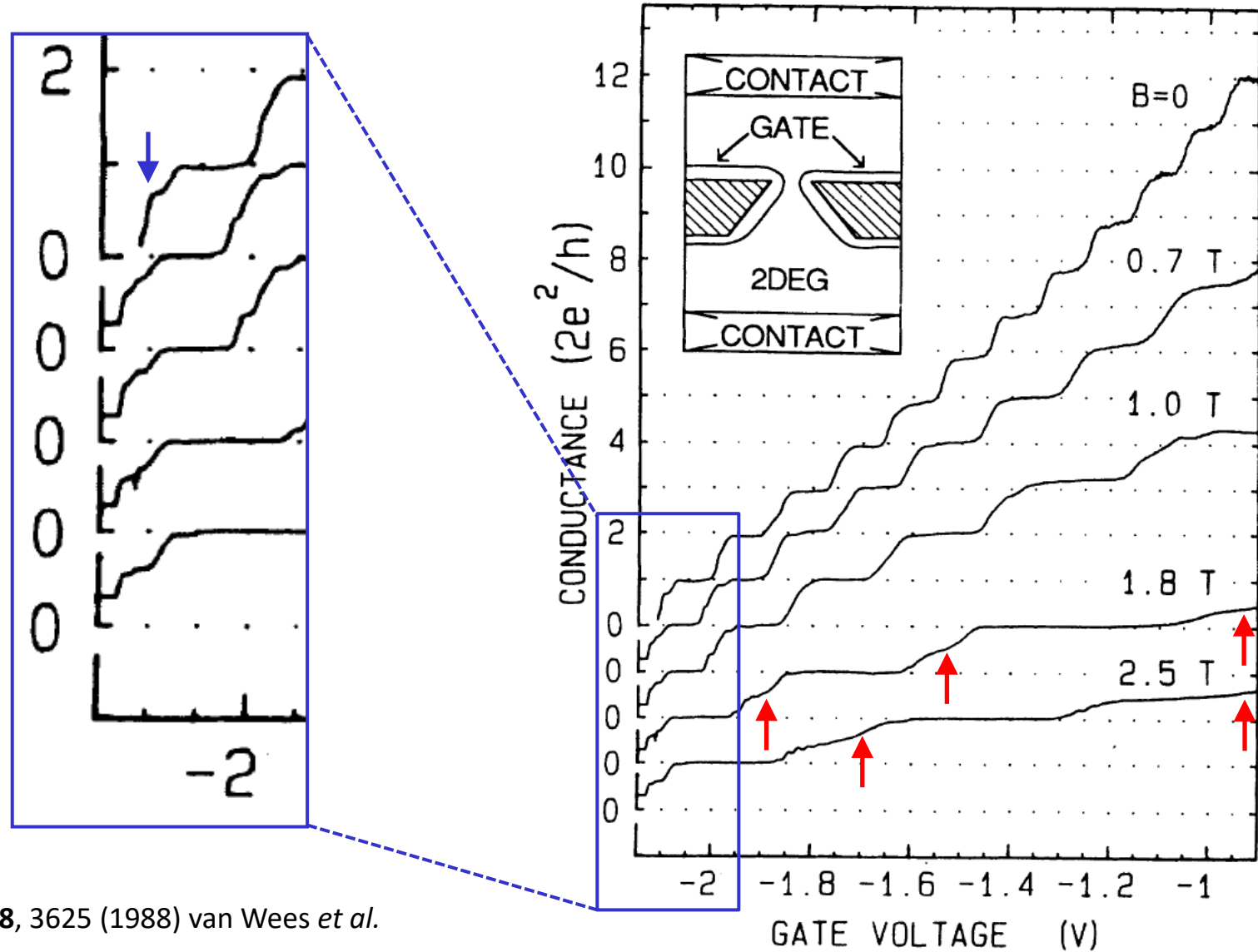
伝導チャネルの観測



磁場によるチャネルの分離



磁場によるチャネルの分離



0.7異常

スピニ偏極や近藤効果との関連を示唆するデータが多数報告されている
最近でも...

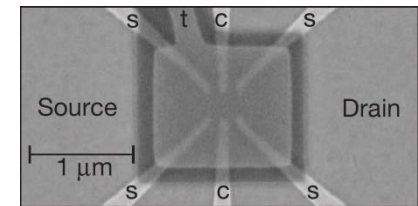
LETTER

doi:10.1038/nature12421

Microscopic origin of the ‘0.7-anomaly’ in quantum point contacts

Florian Bauer^{1,2*}, Jan Heyder^{1,2*}, Enrico Schubert¹, David Borowsky¹, Daniela Taubert¹, Benedikt Bruognolo^{1,2}, Dieter Schuh³, Werner Wegscheider⁴, Jan von Delft^{1,2} & Stefan Ludwig¹

Nature **501**, 73 (2013) Bauer *et al.*



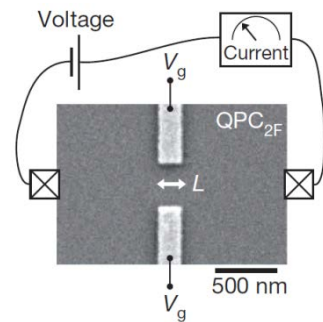
LETTER

doi:10.1038/nature12491

Odd and even Kondo effects from emergent localization in quantum point contacts

M. J. Iqbal¹, Roi Levy², E. J. Koop¹, J. B. Dekker¹, J. P. de Jong¹, J. H. M. van der Velde¹, D. Reuter³, A. D. Wieck³, Ramón Aguado⁴, Yigal Meir^{2,5} & C. H. van der Wal¹

Nature **501**, 79 (2013) Iqbal *et al.*



PRL **116**, 136801 (2016)

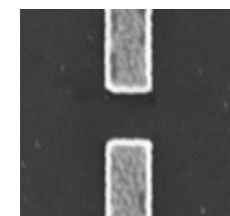
PHYSICAL REVIEW LETTERS

week ending
1 APRIL 2016



Electron Phase Shift at the Zero-Bias Anomaly of Quantum Point Contacts

B. Brun,^{1,2} F. Martins,³ S. Faniel,³ B. Hackens,³ A. Cavanna,⁴ C. Ulysse,⁴ A. Ouerghi,⁴ U. Gennser,⁴ D. Mailly,⁴ P. Simon,⁵ S. Huant,^{1,2} V. Bayot,^{1,3} M. Sanquer,^{1,6} and H. Sellier^{1,2,*}

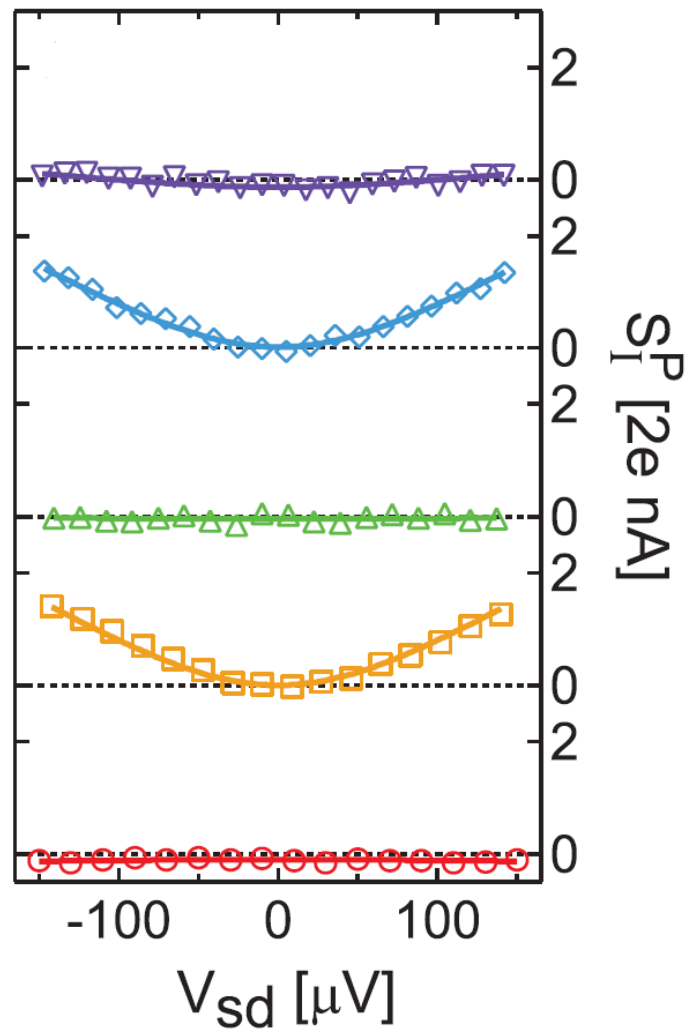
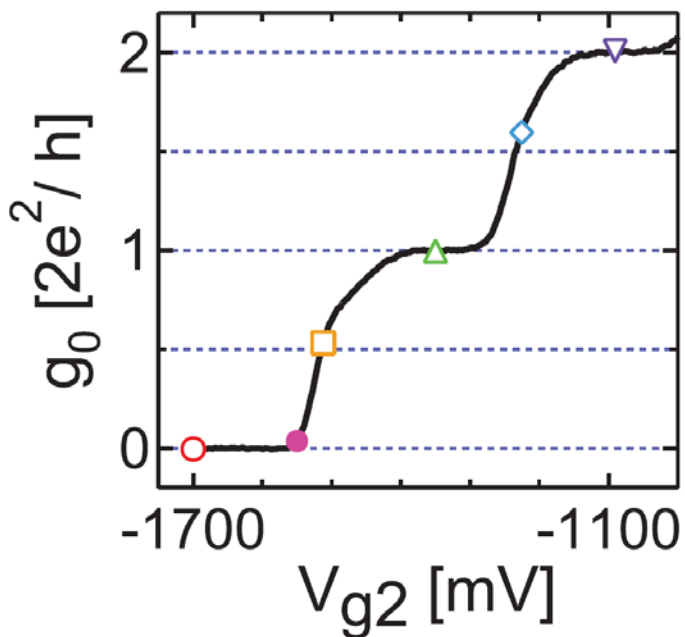


Phys. Rev. Lett. **116**, 136801 (2015) Brun *et al.*

ノイズ測定

ショットノイズ($S = 2e\bar{I}$)

- 素電荷 e の離散性を反映
- プラトーでノイズレス(完全透過)
- 0.7異常の振る舞いや、量子ホール系・近藤効果の準粒子電荷を調べるのに有効



講義内容

- 量子輸送の基礎
 - 2次元電子系
 - ランダウアー公式
 - 量子ポイントコンタクト
- 整数量子ホール効果
- 量子ホール効果とノーベル賞

整数量子ホール効果

ホール抵抗率

$$\rho_{xy} = \frac{h}{ie^2} \quad (i = 1, 2, 3 \dots)$$

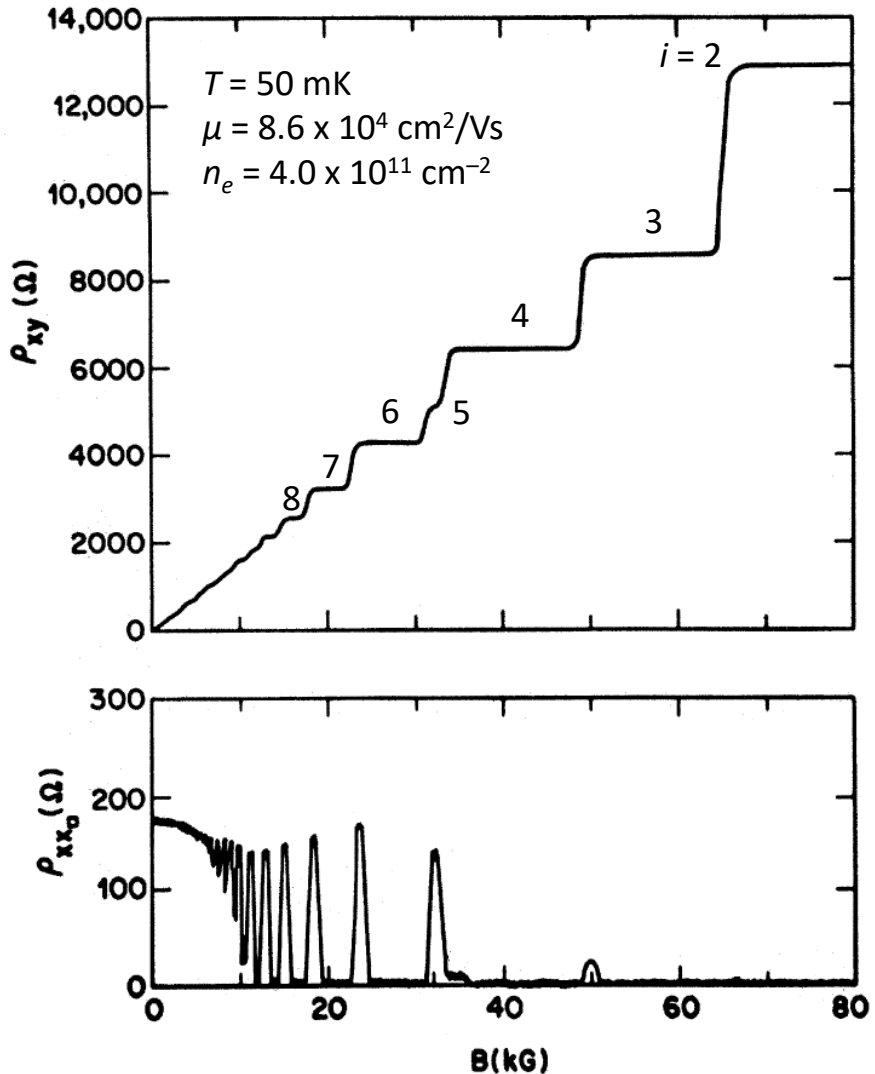
にプラトー(コンダクタンスの量子化よりも遙かに正確・頑強)

同時に縦抵抗率

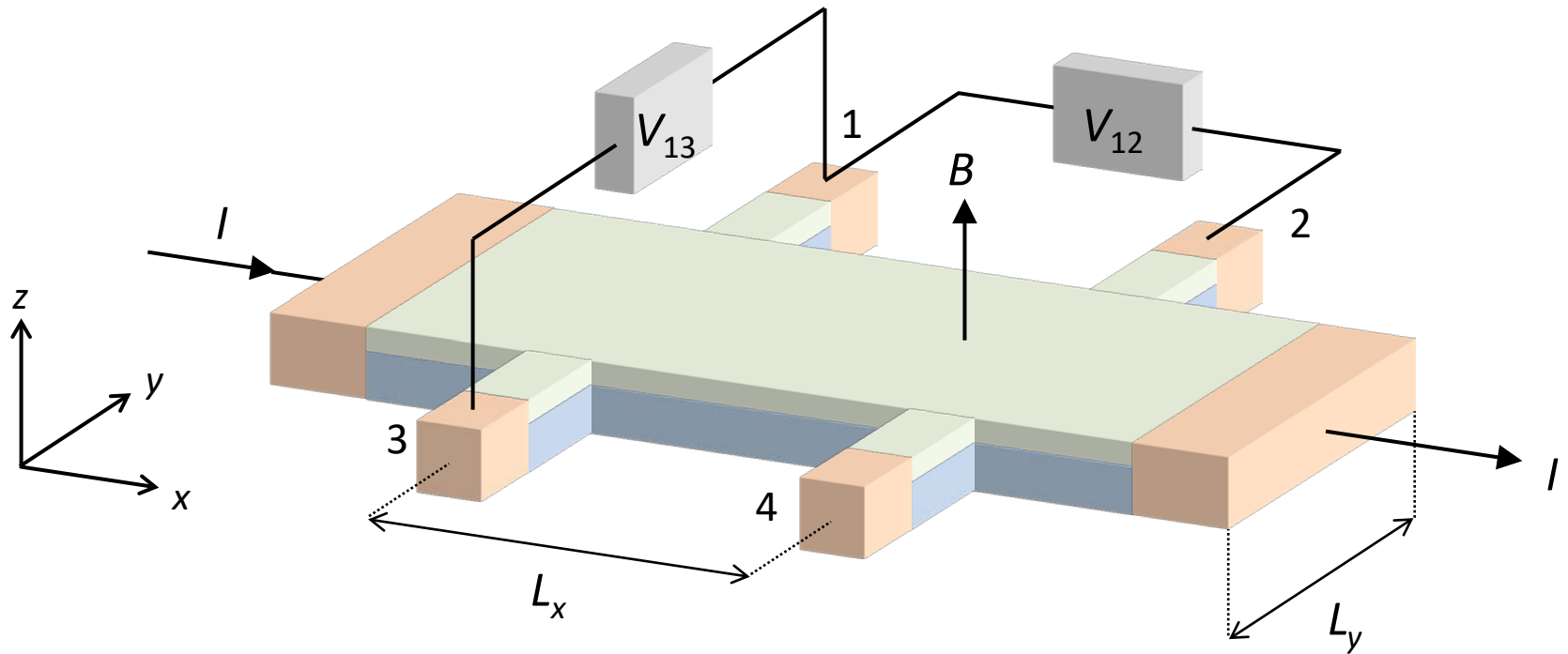
$$\rho_{xx} = 0$$

von Klitzing定数(抵抗標準)

$$R_K = \frac{h}{e^2} = 25812.8074555(59)\Omega$$



ホールバー



電流密度

$$i_x = \frac{I}{L_y}$$

$$i_y = 0$$

電場

$$E_x = \frac{V_{12}}{L_x}$$

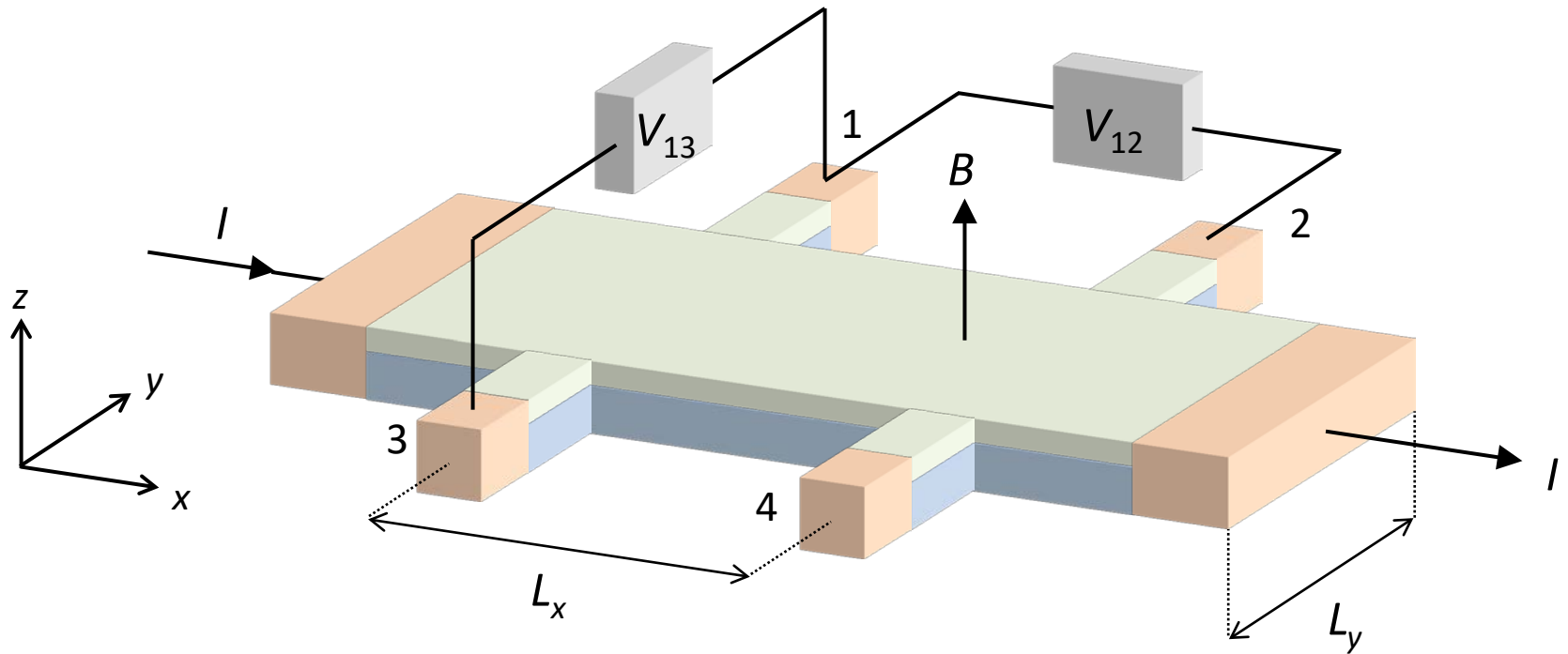
$$E_y = \frac{V_{13}}{L_y}$$

抵抗

$$R_{xx} = \frac{V_{12}}{I}$$

$$R_H = \frac{V_{13}}{I}$$

ホールバー



伝導率テンソル

$$\begin{pmatrix} i_x \\ i_y \end{pmatrix} = \begin{pmatrix} \sigma_{xx} & \sigma_{xy} \\ \sigma_{yx} & \sigma_{yy} \end{pmatrix} \begin{pmatrix} E_x \\ E_y \end{pmatrix}$$

$$\sigma_{xx} = \sigma_{yy} \quad \sigma_{xy} = -\sigma_{yx}$$

抵抗率テンソル

$$\begin{pmatrix} E_x \\ E_y \end{pmatrix} = \begin{pmatrix} \rho_{xx} & \rho_{xy} \\ \rho_{yx} & \rho_{yy} \end{pmatrix} \begin{pmatrix} i_x \\ i_y \end{pmatrix}$$

$$\rho_{xx} = \rho_{yy} \quad \rho_{xy} = -\rho_{yx}$$

2次元の伝導率・抵抗率

電流密度

$$i_x = \frac{I}{L_y}$$

$$i_y = 0$$

電場

$$E_x = \frac{V_{12}}{L_x}$$

$$E_y = \frac{V_{13}}{L_y}$$

抵抗

$$R_{xx} = \frac{V_{12}}{I}$$

$$R_H = \frac{V_{13}}{I}$$

抵抗率テンソル

$$\begin{pmatrix} E_x \\ E_y \end{pmatrix} = \begin{pmatrix} \rho_{xx} & \rho_{xy} \\ \rho_{yx} & \rho_{yy} \end{pmatrix} \begin{pmatrix} i_x \\ i_y \end{pmatrix}$$

$$\rho_{xx} = \rho_{yy} \quad \rho_{xy} = -\rho_{yx}$$



$$\rho_{xx} = \frac{E_x}{i_x} = \frac{V_{12}L_y}{IL_x} = R_{xx} \frac{L_y}{L_x}$$

$$\rho_{yx} = \frac{E_y}{i_x} = \frac{V_{13}}{I} = R_H$$

2次元ではホール抵抗率はホール抵抗そのもの
試料形状に依存しない高精度測定が可能

2次元の伝導度・抵抗率

伝導率テンソルと抵抗率テンソルの関係

$$\begin{pmatrix} \sigma_{xx} & \sigma_{xy} \\ -\sigma_{xy} & \sigma_{xx} \end{pmatrix}^{-1} = \frac{1}{\sigma_{xx}^2 + \sigma_{xy}^2} \begin{pmatrix} \sigma_{xx} & -\sigma_{xy} \\ \sigma_{xy} & \sigma_{xx} \end{pmatrix} = \begin{pmatrix} \rho_{xx} & \rho_{xy} \\ -\rho_{xy} & \rho_{xx} \end{pmatrix}$$

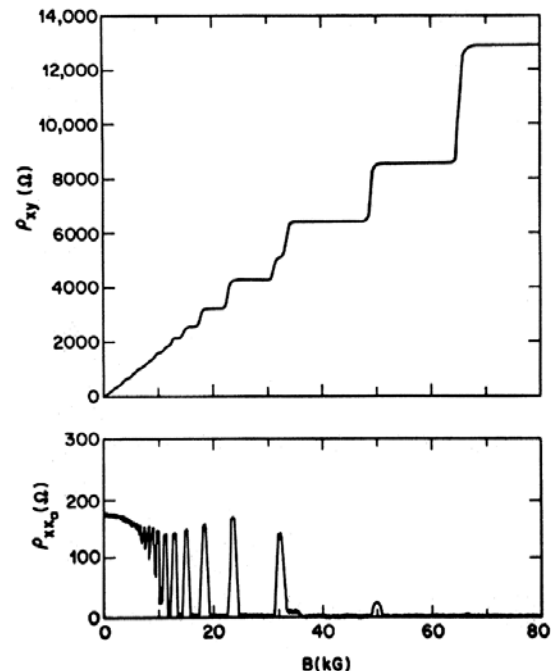
➡ $\rho_{xx} = \frac{\sigma_{xx}}{\sigma_{xx}^2 + \sigma_{xy}^2}$ $\rho_{xy} = -\frac{\sigma_{xy}}{\sigma_{xx}^2 + \sigma_{xy}^2}$

量子ホール状態では

$$\rho_{xx} = 0 \Rightarrow \sigma_{xx} = 0$$

$$\rho_{xy} = \frac{h}{ie^2} = -\sigma_{xy}^{-1} \Rightarrow -\sigma_{xy} = \frac{e^2}{h} i$$

ランダウアー公式っぽい(?)



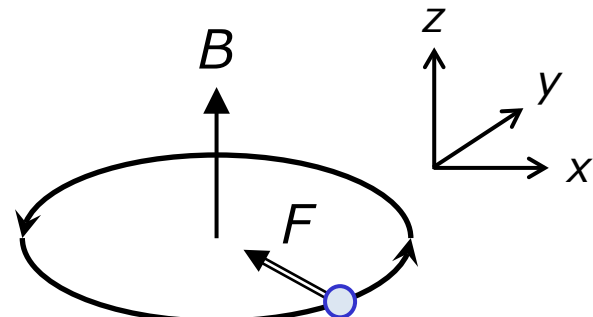
磁場・電場中の電子の運動

磁場: サイクロトロン運動

$$m^* \frac{d^2 \mathbf{r}}{dt^2} = -e \mathbf{v} \times \mathbf{B}$$

$$\Rightarrow \frac{d}{dt} \begin{pmatrix} v_x \\ v_y \end{pmatrix} = \frac{eB}{m^*} \begin{pmatrix} -v_y \\ v_x \end{pmatrix}$$

$$\Rightarrow \frac{d^2}{dt^2} \begin{pmatrix} v_x \\ v_y \end{pmatrix} = -\omega_c^2 \begin{pmatrix} v_x \\ v_y \end{pmatrix}$$



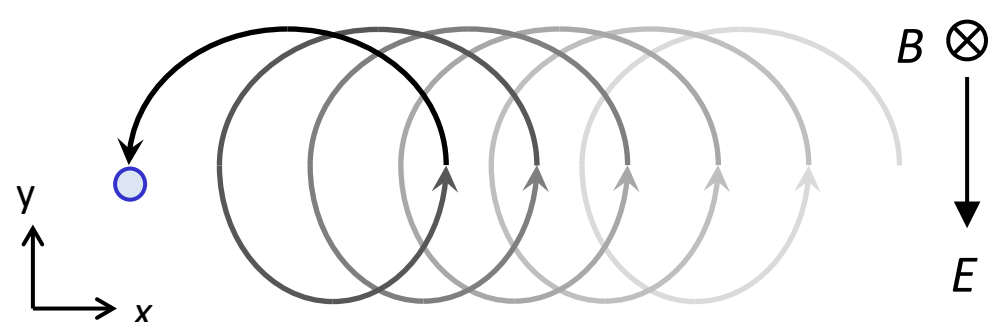
サイクロトロン周波数 $\omega_c = \frac{eB}{m^*}$

サイクロトロン半径 $r_c = \frac{v}{\omega_c}$

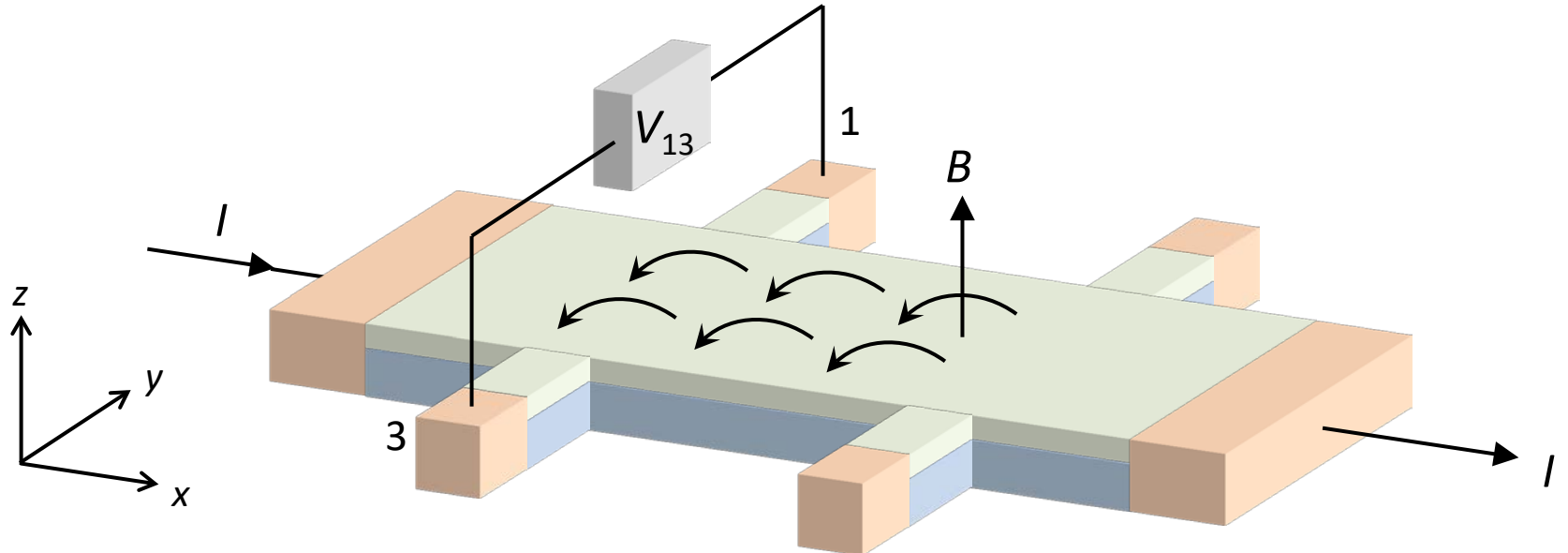
磁場+電場: ドリフト運動

$$m^* \frac{d^2 \mathbf{r}}{dt^2} = -e(\mathbf{v} \times \mathbf{B} + \mathbf{E})$$

$$\Rightarrow v_x = \frac{E_y}{B}$$

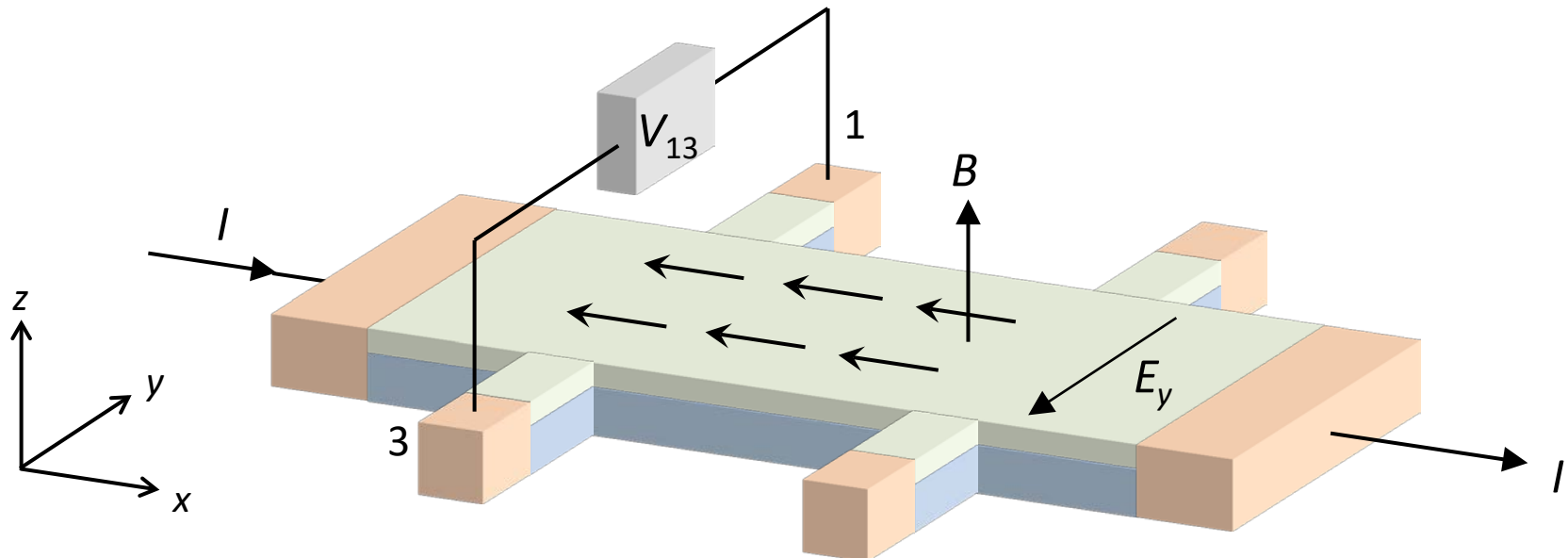


ホール効果



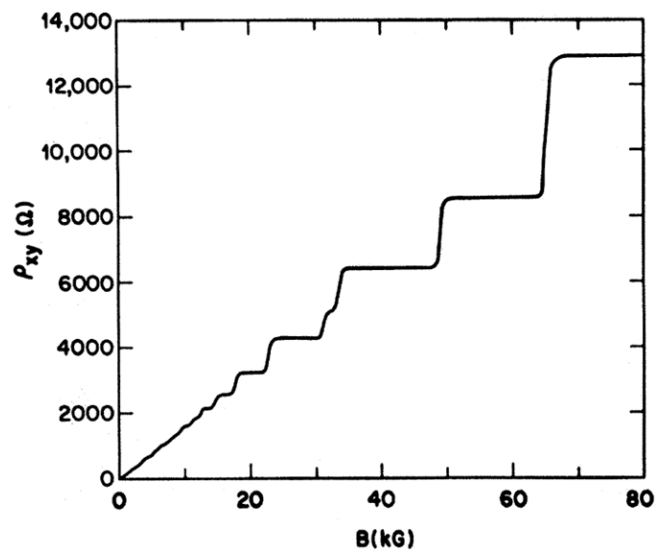
磁場で曲げられた電子がホールバーの片側に溜まりホール電場が発生
ローレンツ力と釣り合って定常状態

ホール効果



$$i_x = n_e e v_x = n_e e \frac{E_y}{B}$$

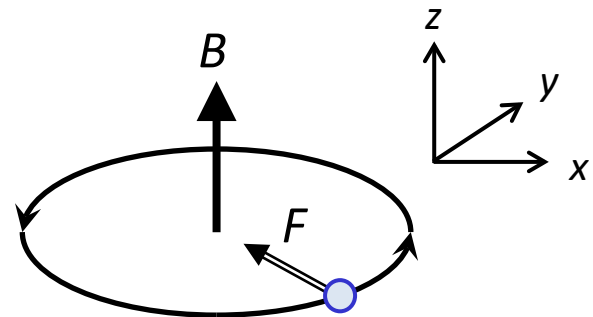
$$\rightarrow \rho_{yx} = \frac{E_y}{i_x} = \frac{B}{n_e e}$$



磁場中の電子の量子論

古典論: サイクロトロン運動

$$m^* \frac{d^2 \mathbf{r}}{dt^2} = -e \mathbf{v} \times \mathbf{B}$$



量子論: ランダウ量子化

$$H_c = \frac{1}{2m^*} (\mathbf{p} + e\mathbf{A})^2 \implies E_n = \left(n - \frac{1}{2}\right) \hbar \omega_c \quad (n = 1, 2, \dots)$$

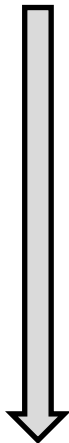
運動量演算子 $\mathbf{p} = -i\hbar \begin{pmatrix} \partial/\partial x \\ \partial/\partial y \\ 0 \end{pmatrix}$

ベクトルポテンシャル $\text{rot } \mathbf{A} = \mathbf{B} = \begin{pmatrix} 0 \\ 0 \\ B \end{pmatrix}$ を満たせばOK(一意ではない)

ランダウ準位

ハミルトニアン

$$H_c = \frac{1}{2m^*}(\mathbf{p} + e\mathbf{A})^2 = \frac{1}{2m^*} \left[\left(i\hbar \frac{\partial}{\partial x} + eBy \right)^2 - \hbar^2 \frac{\partial^2}{\partial y^2} \right]$$



変数分離形

$$\Psi(x, y) = e^{ikx} u(y)$$

ランダウゲージ $\mathbf{A} = (-By, 0, 0)$

ほかにも $\mathbf{A}' = (0, Bx, 0)$

対称ゲージ $\mathbf{A}'' = (-By/2, Bx/2, 0)$

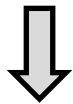
固有関数はゲージの取り方に依存するが、
固有値(エネルギー)は不変

シュレディンガー方程式

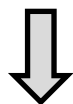
$$\left[-\frac{\hbar^2}{2m^*} \left(\frac{\partial^2}{\partial x^2} + \frac{\partial^2}{\partial y^2} \right) + \frac{i\hbar eBy}{m^*} \frac{\partial}{\partial x} + \frac{(eBy)^2}{2m^*} \right] e^{ikx} u(y) = E e^{ikx} u(y)$$

ランダウ準位

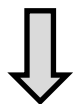
$$\left[-\frac{\hbar^2}{2m^*} \left(\frac{\partial^2}{\partial x^2} + \frac{\partial^2}{\partial y^2} \right) + \frac{i\hbar eBy}{m^*} \frac{\partial}{\partial x} + \frac{(eBy)^2}{2m^*} \right] e^{ikx} u = E e^{ikx} u$$



$$-\frac{\hbar^2}{2m^*} e^{ikx} \frac{\partial^2 u}{\partial y^2} + \left(\frac{\hbar^2 k^2}{2m^*} - \frac{\hbar k eBy}{m^*} + \frac{(eBy)^2}{2m^*} \right) e^{ikx} u = E e^{ikx} u$$



$$\left[-\frac{\hbar^2}{2m^*} \frac{\partial^2}{\partial y^2} + \frac{(eB)^2}{2m^*} \left(y - \frac{\hbar k}{eB} \right)^2 \right] u = Eu$$



$$\left[-\frac{\hbar^2}{2m^*} \frac{\partial^2}{\partial y^2} + \frac{1}{2} m^* \omega_c^2 (y - y_k)^2 \right] u = Eu$$

$$y_k = \frac{\hbar k}{eB}$$

$$\omega_c = \frac{eB}{m^*}$$

ランダウ準位

固有値と固有関数

$$E_n = \left(n - \frac{1}{2} \right) \hbar \omega_c \quad (n = 1, 2, \dots)$$

$$\Psi_{nk}(x, y) = e^{ikx} h_{n-1} \left(\frac{y - y_k}{l_B} \right) \exp \left(-\frac{(y - y_k)^2}{2l_B^2} \right)$$

磁気長 $l_B = \sqrt{\frac{\hbar}{eB}} \approx 26 \text{ nm}@1\text{T}$

状態数(縮重重度)

$$0 < y_k < L_y \iff 0 < \frac{\hbar}{eB} \times \frac{2\pi}{L_x} j < L_y \iff 0 < j < \frac{eB}{h} L_x L_y$$

各準位に単位面積あたり最大

$$n_B = \frac{eB}{h} = \frac{1}{\pi (\sqrt{2} l_B)^2} \approx 2.4 \times 10^{10} \text{ cm}^{-2} @ 1\text{T} \text{ 個の状態}$$

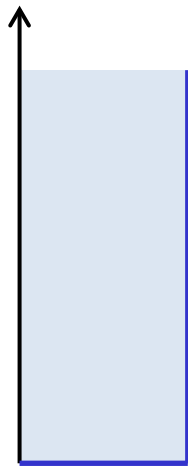
$$y_k = \frac{\hbar k}{eB}$$
$$k = \frac{2\pi}{L_x} j$$

ランダウ準位

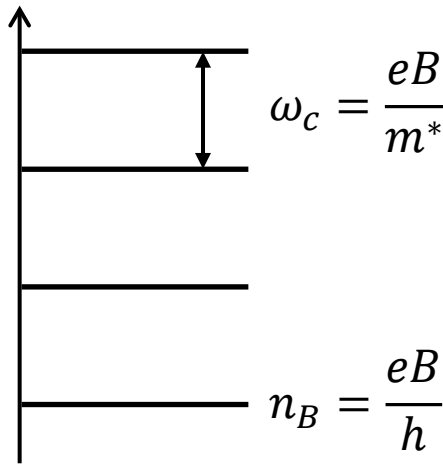
固有値と固有関数

$$E_n = \left(n - \frac{1}{2} \right) \hbar \omega_c \quad (n = 1, 2, \dots)$$

$$\Psi_{nk}(x, y) = e^{ikx} h_{n-1} \left(\frac{y - y_k}{l_B} \right) \exp \left(-\frac{(y - y_k)^2}{2l_B^2} \right)$$



$$B = 0$$



$$B \neq 0$$

磁気長 $l_B = \sqrt{\frac{\hbar}{eB}} \approx 26 \text{ nm}@1\text{T}$

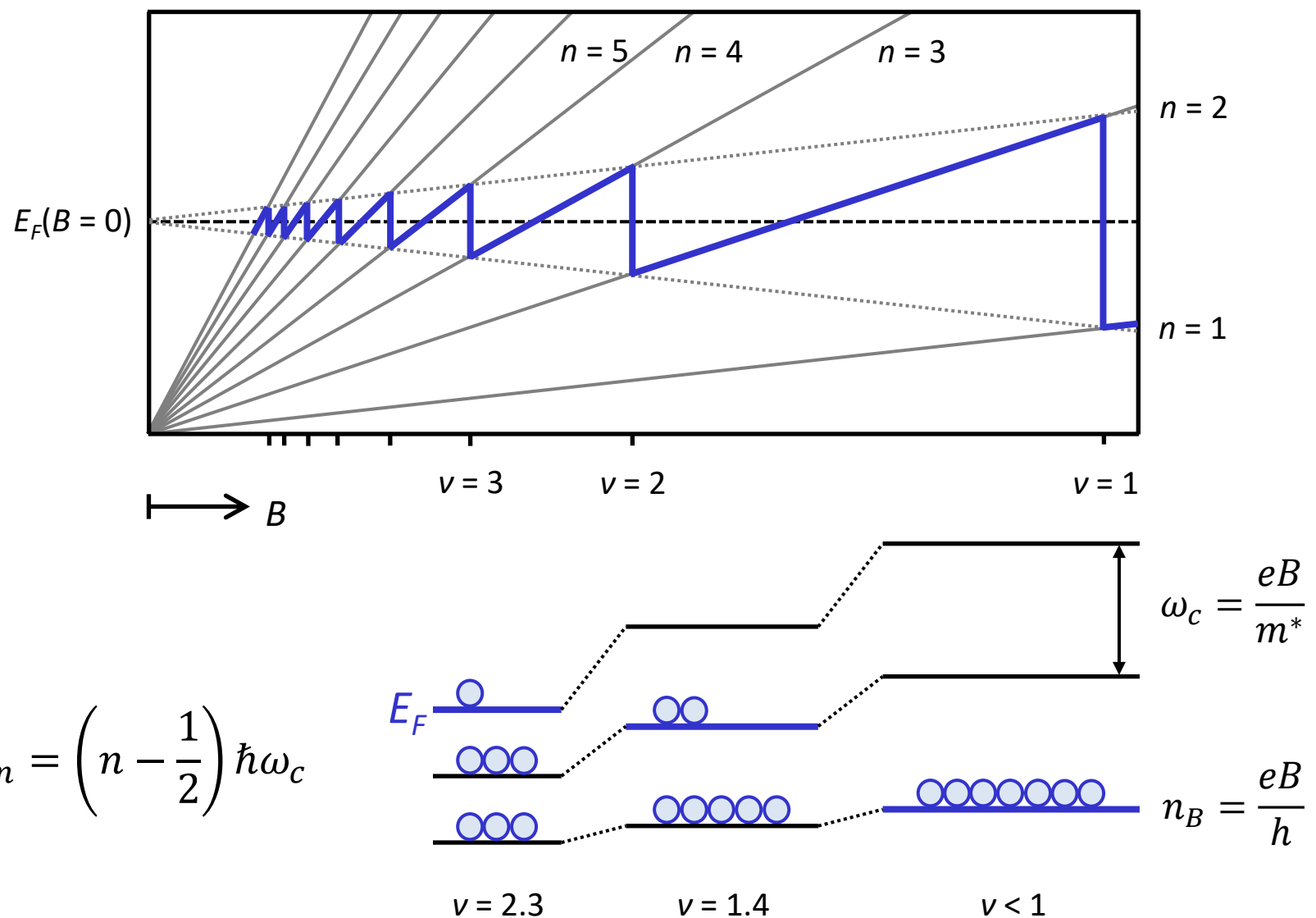
充填率

$$\nu = \frac{n_e}{n_B}$$

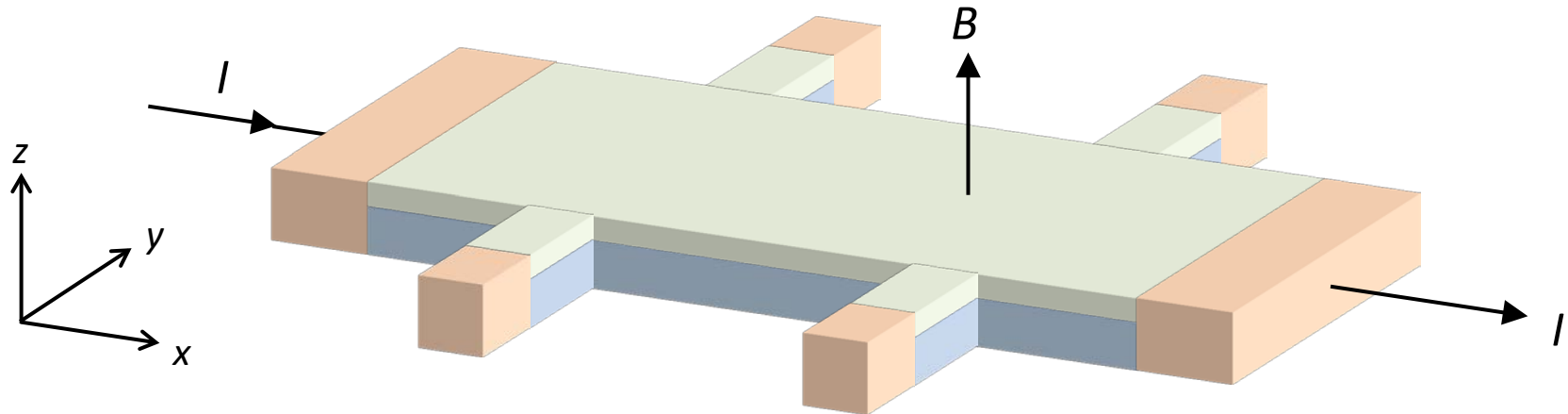
フェルミ面のある準位

$$n_F = [\nu]$$

シュブニコフ・ドハース振動



量子化値



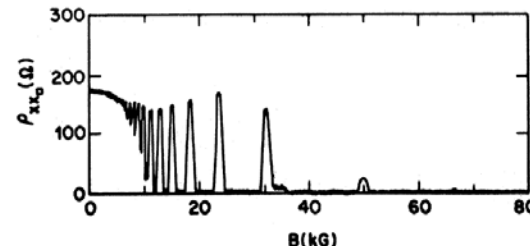
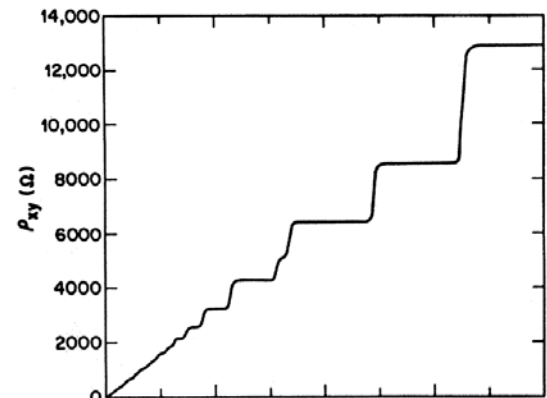
$$\rho_{xy} = \frac{B}{n_e e} = \frac{B}{n_B v e} = \frac{h}{v e^2}$$

ランダウ準位がちょうど埋まるところで量子化(?)

$$\nu = \frac{n_e}{n_B} \quad n_B = \frac{eB}{h}$$

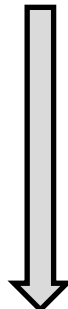
疑問点

プラトーの生じる理由
SdH振動がゼロになる理由



確認: $v = i$ となる磁場

$$\rho_{xy} = \frac{B}{n_e e} = \frac{h}{v e^2}$$



$$e = 1.6 \times 10^{-19} \text{ C}$$

$$n_e = 4.0 \times 10^{11} \text{ cm}^{-2}$$

$$\frac{e}{h} = 2.4 \times 10^{10} \text{ cm}^{-2}\text{T}^{-1}$$

$$\rho_{xy}(B) = 1560 \times B \Omega$$

$$B(v) = \frac{16.7}{v} \text{ T}$$

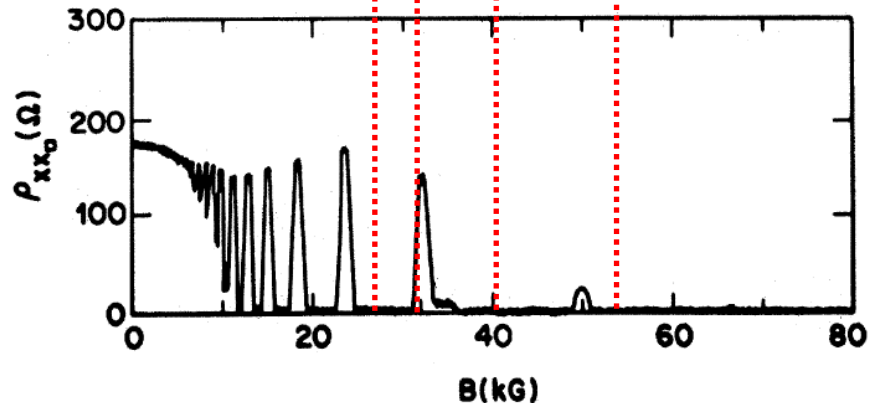
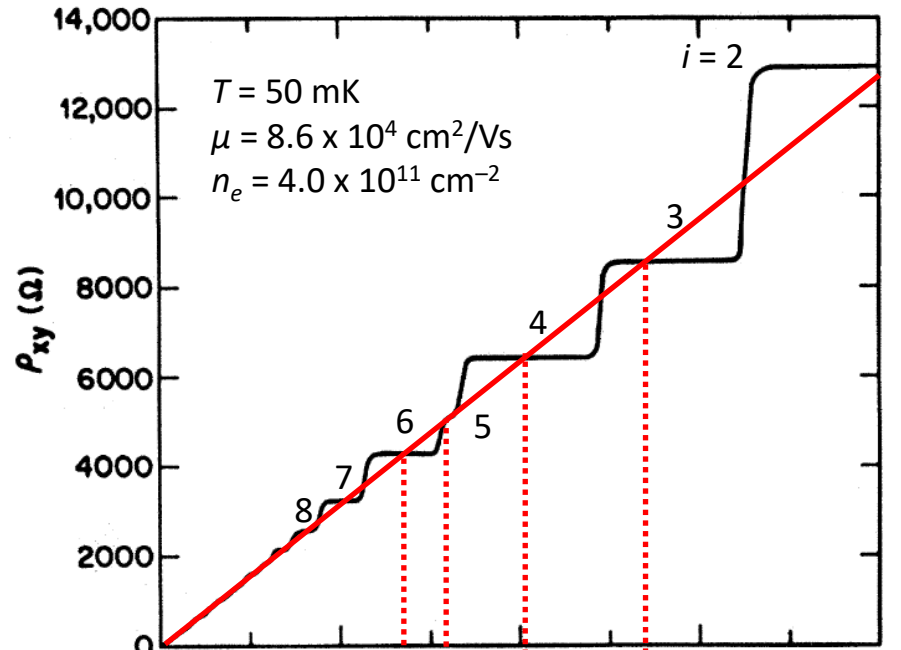
$$B(2) = 8.4 \text{ T}$$

$$B(3) = 5.6 \text{ T}$$

$$B(4) = 4.2 \text{ T}$$

$$B(5) = 3.3 \text{ T}$$

$$B(6) = 2.8 \text{ T}$$

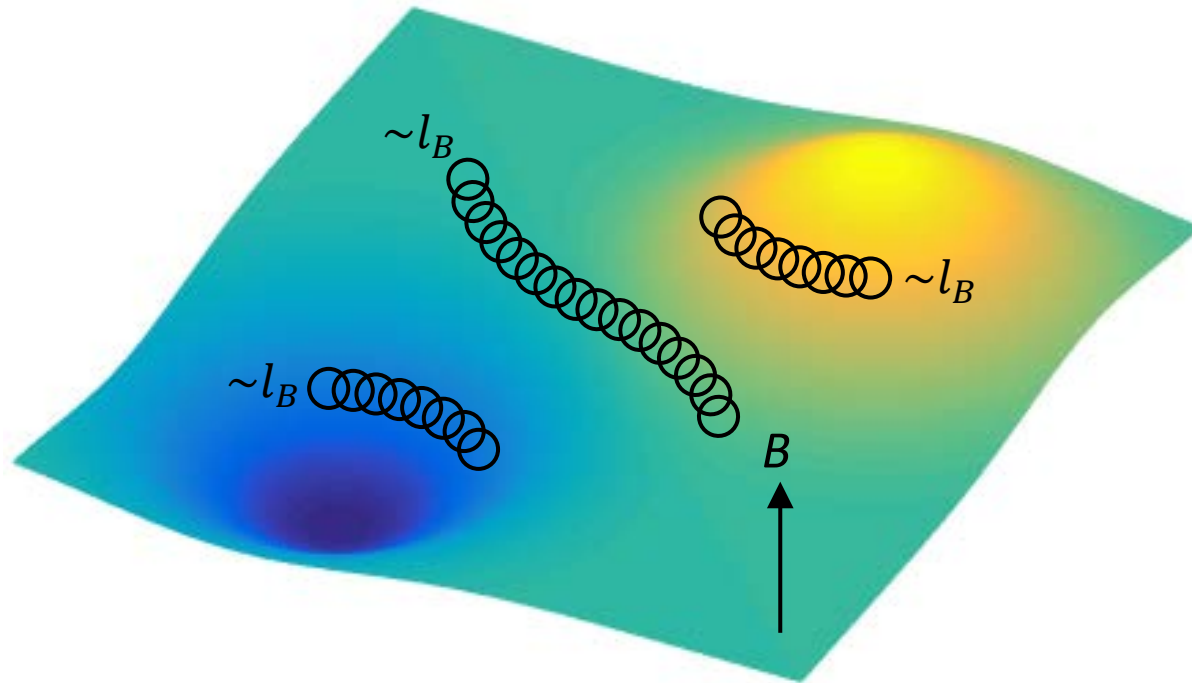


局在

乱れ(disorder)によって生じるポテンシャルの山・谷に電子軌道が巻き付く



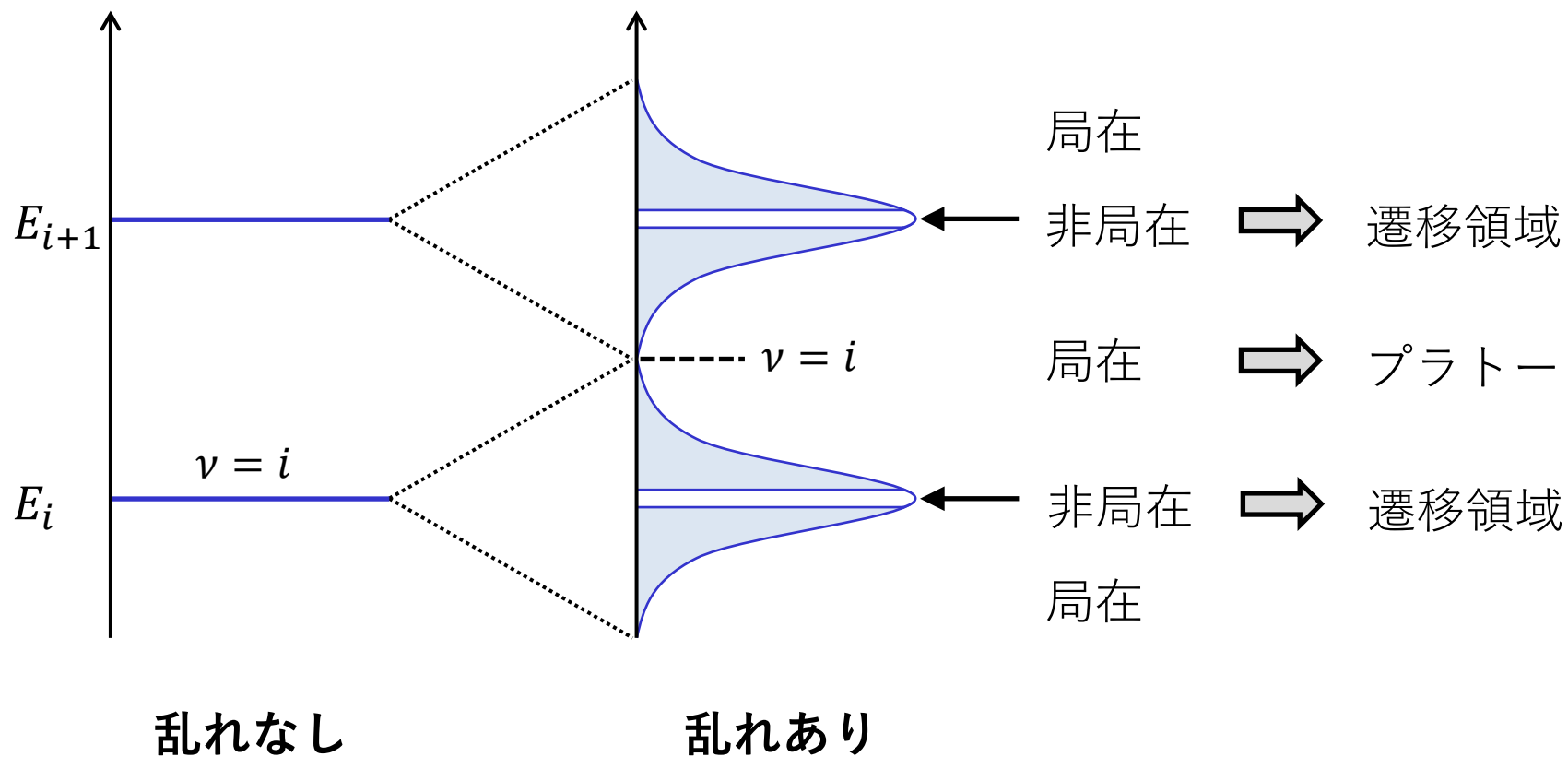
らせん軌道の波動関数は磁気長程度の幅で閉曲線を描いて局在



$$\text{局在長(数値シミュレーション)} \quad \xi(E) \propto |E - E_i|^{-2.3 \pm 0.1}$$

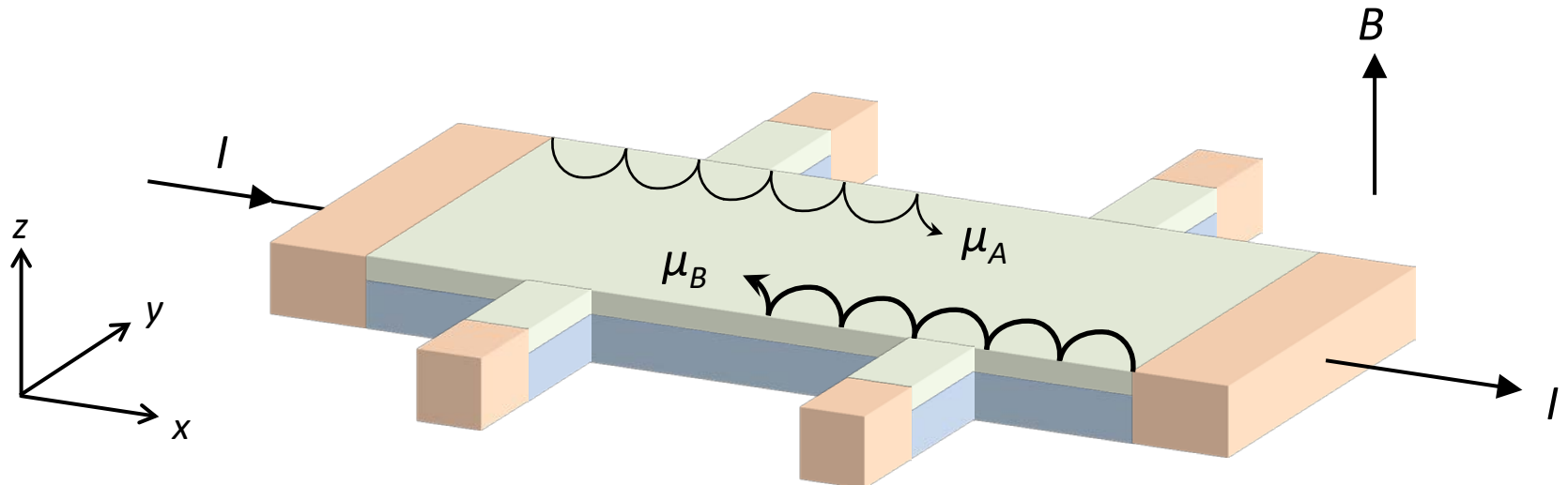
局在のランダウ準位への影響

各準位が有限の幅を持ち、局在領域と非局在領域に分かれる

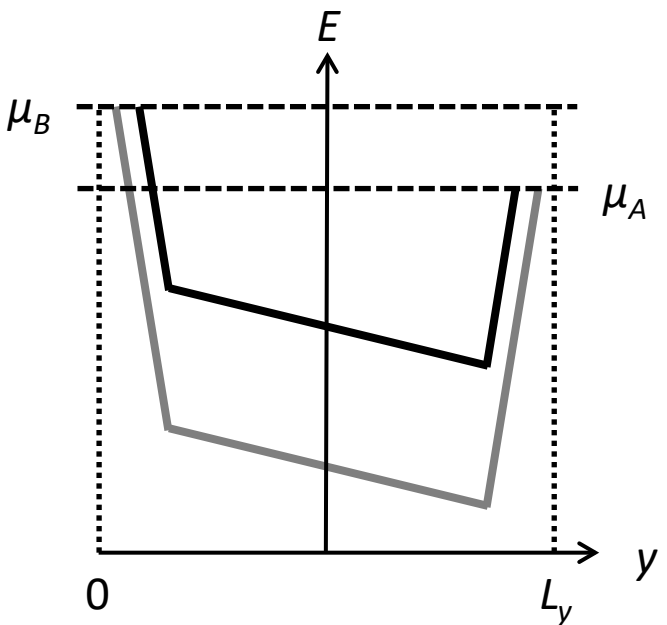


$$\text{局在長(数値シミュレーション)} \quad \xi(E) \propto |E - E_i|^{-2.3 \pm 0.1} > L$$

端(エッジ)状態



- 古典論のスキッピング軌道に対応
- 試料端の閉じ込めポテンシャルの存在
- 端状態は乱れの影響を受けにくい
- チャネルの分離(後方散乱の抑制)



端電流

x 軸に沿って移動する電子の速度

$$v_x = \frac{dE}{\hbar dk} = \frac{1}{eB} \frac{dE}{dy}$$

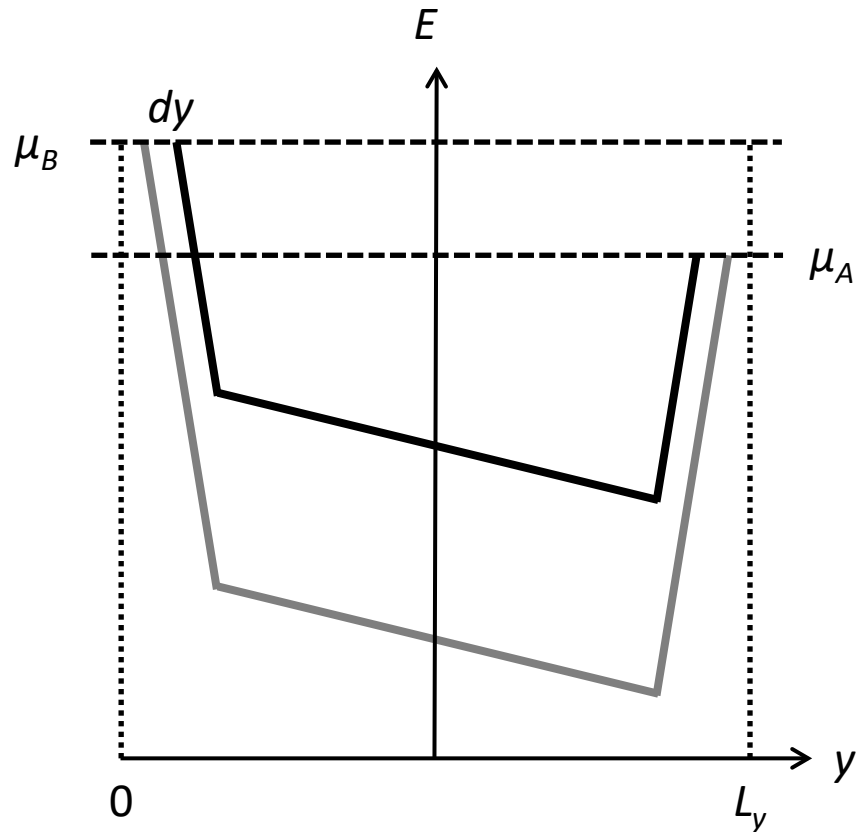
端状態によって運ばれる電流

$$I_L = \int_{y_0}^{y_A} -ev_x n_B dy$$

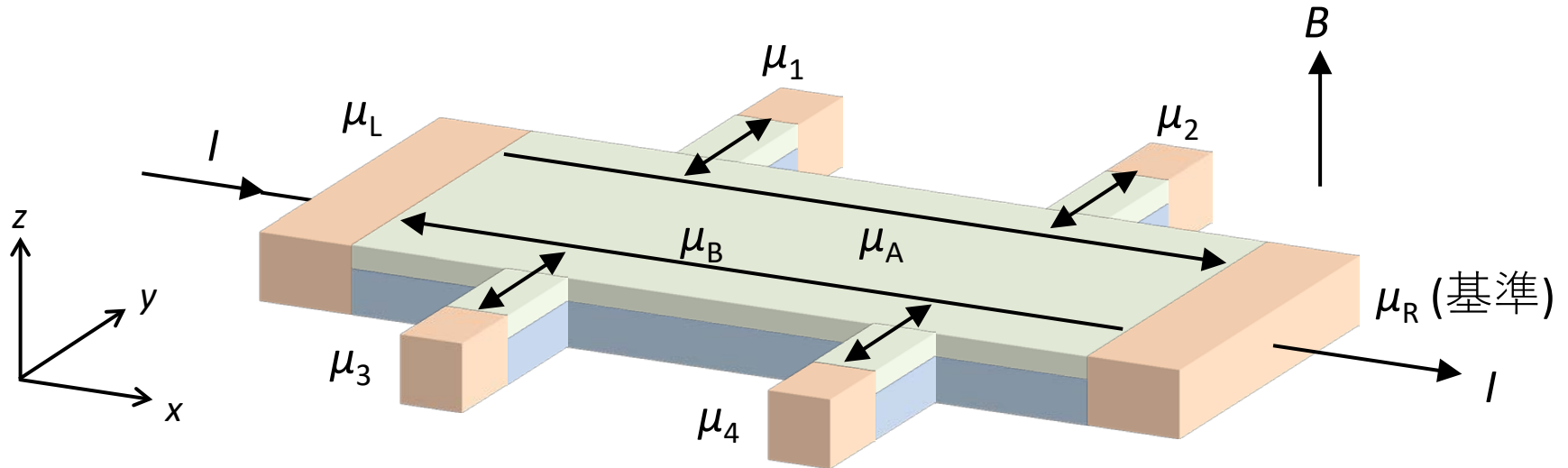
$$= \int_{y_0}^{y_A} -e \frac{1}{eB} \frac{dE}{dy} \frac{eB}{h} dy$$

$$= -\frac{e}{h} \int_{\mu_0=0}^{\mu_A} dE = -\frac{e}{h} \mu_A$$

$$y_k = \frac{\hbar k}{eB} \quad n_B = \frac{eB}{h}$$



端状態による伝導



$$\mu_L > \mu_R = 0$$

$$\mu_A = \mu_1 = \mu_2$$

$$\mu_B = \mu_3 = \mu_4$$

$$I = I_L - I_R$$

$$I_L = -\frac{e}{h}(\mu_A - \mu_R)$$

$$I_R = -\frac{e}{h}(\mu_B - \mu_R)$$

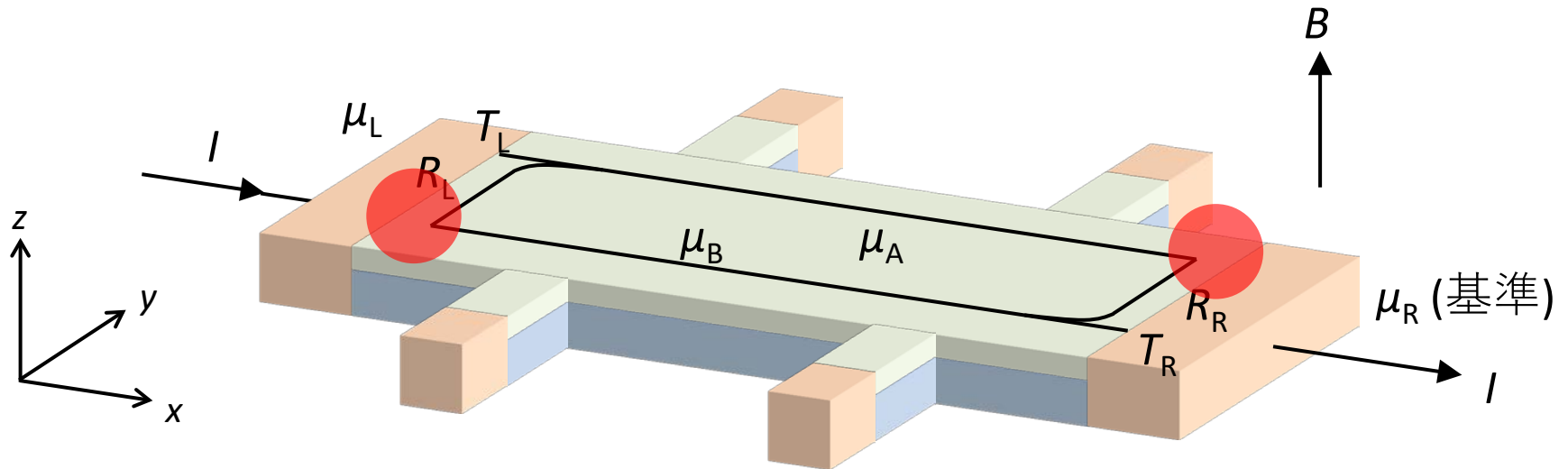
$$V_{13} = -\frac{\mu_A - \mu_B}{e}$$

量子化

$$\sigma_{xy} = \frac{I}{V_{13}} = \frac{e(I_L - I_R)}{\mu_A - \mu_B} = \frac{e^2}{h}$$

端チャネル1本あたり
(スピノン分離している)

端状態による伝導



接触抵抗

$$-I_L = \frac{e}{h} \mu_A = \frac{e}{h} T_L \mu_L + \frac{e}{h} R_L \mu_B$$

$$-I_R = \frac{e}{h} \mu_B = \frac{e}{h} T_R \cdot 0 + \frac{e}{h} R_R \mu_A$$

通常

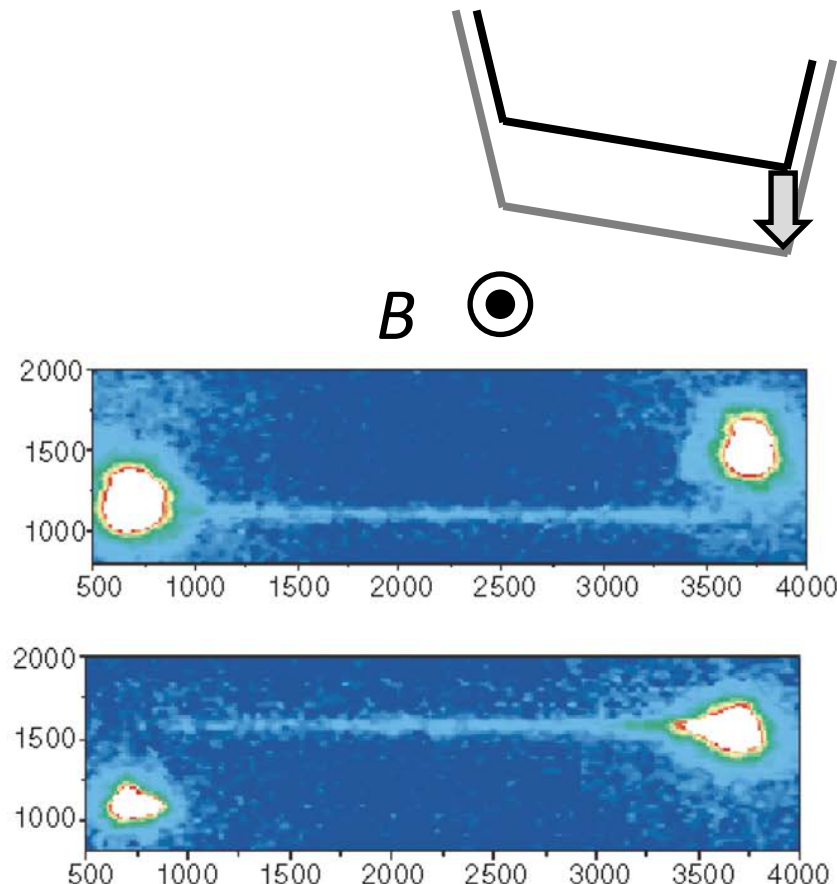
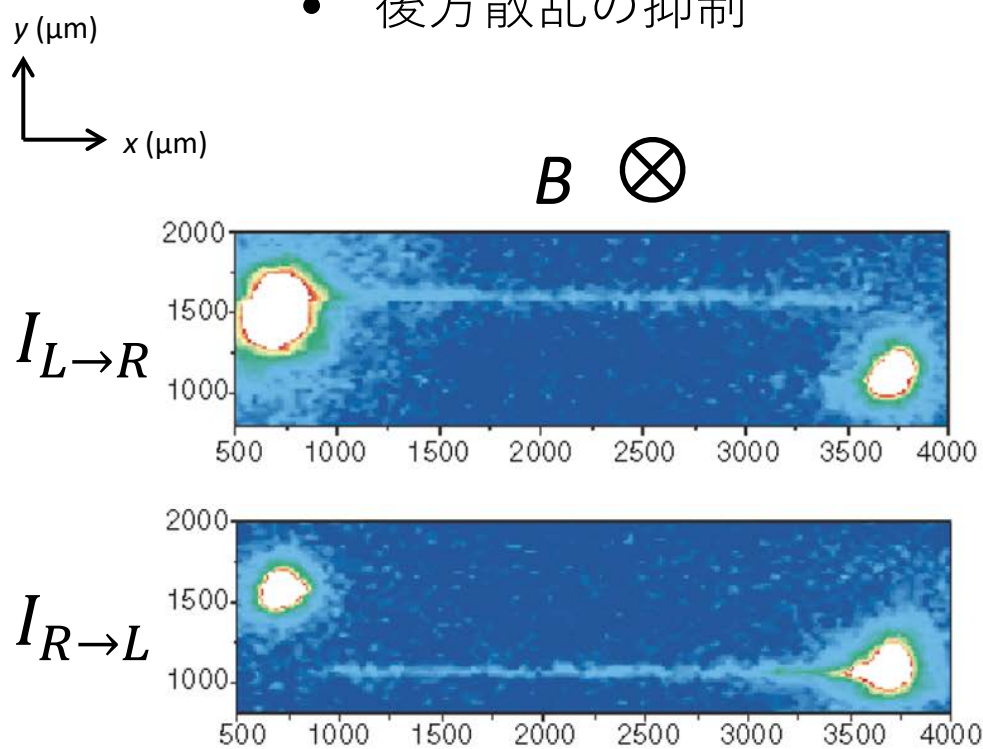
$$\mu_A - \mu_B = \frac{T_L T_R}{1 - R_L R_R} \mu_L < \mu_L - \mu_R$$

$\mu_{A,B}$ が電流端子($\mu_{L,R}$)に流れ込む位置で発熱(ホットスポット)

ホットスポットの観測

ランダウ準位間のサイクロトロン発光を可視化

- 端状態による輸送
- カイラリティ
- 後方散乱の抑制



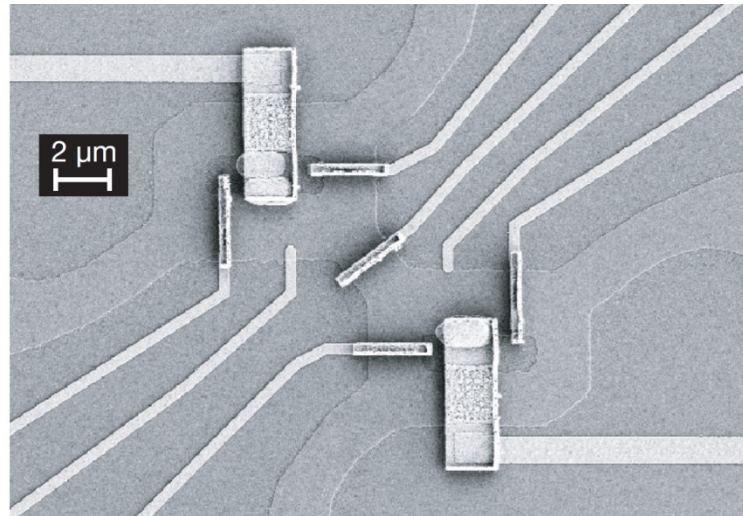
電子量子光学

現在では「端状態回路」を用いて電子同士を衝突・干渉させて粒子の統計性や波動性を調べる実験が活発に行われている

LETTERS

Interference between two indistinguishable electrons from independent sources

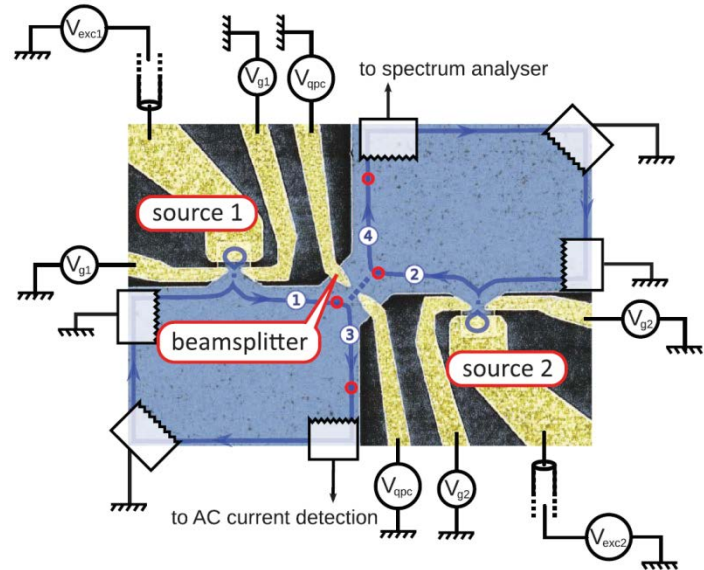
I. Neder¹, N. Ofek¹, Y. Chung², M. Heiblum¹, D. Mahalu¹ & V. Umansky¹



Nature **448**, 333 (2007) Neder *et al.*

Coherence and Indistinguishability of Single Electrons Emitted by Independent Sources

E. Bocquillon,¹ V. Freulon,¹ J.-M Berroir,¹ P. Degiovanni,² B. Plaçais,¹ A. Cavanna,³ Y. Jin,³ G. Féve^{1*}



Science **339**, 1054 (2013) Bocquillon *et al.*

講義内容

- 量子輸送の基礎
 - 2次元電子系
 - ランダウアー公式
 - 量子ポイントコンタクト
- 整数量子ホール効果
- **量子ホール効果とノーベル賞**

量子ホール効果とノーベル賞

- 整数量子ホール効果
 - von Klitzing (1980発見 → 1985受章)
 - Thouless (1982 → 2016)
- 分数量子ホール効果
 - Laughlin, Störmer & Tsui (1982 → 1998)
- 2次元物質グラフェン
 - Geim & Novoselov (2004 → 2010)

整数量子ホール効果

"for the discovery of the quantized Hall effect" (Physics, 1985)

VOLUME 45, NUMBER 6

PHYSICAL REVIEW LETTERS

11 AUGUST 1980



von Klitzing

© Nobel Foundation

New Method for High-Accuracy Determination of the Fine-Structure Constant Based on Quantized Hall Resistance

K. v. Klitzing

*Physikalisches Institut der Universität Würzburg, D-8700 Würzburg, Federal Republic of Germany, and
Hochfeld-Magnetlabor des Max-Planck-Instituts für Festkörperforschung, F-38042 Grenoble, France*

and

投稿時の論文タイトル “Realization of a resistance standard based on natural constants”

M. Pepper

Cavendish Laboratory, Cambridge CB3 0HE, United Kingdom

(Received 30 May 1980)

Measurements of the Hall voltage of a two-dimensional electron gas, realized with a silicon metal-oxide-semiconductor field-effect transistor, show that the Hall resistance at particular, experimentally well-defined surface carrier concentrations has fixed values which depend only on the fine-structure constant and speed of light, and is insensitive to the geometry of the device. Preliminary data are reported.

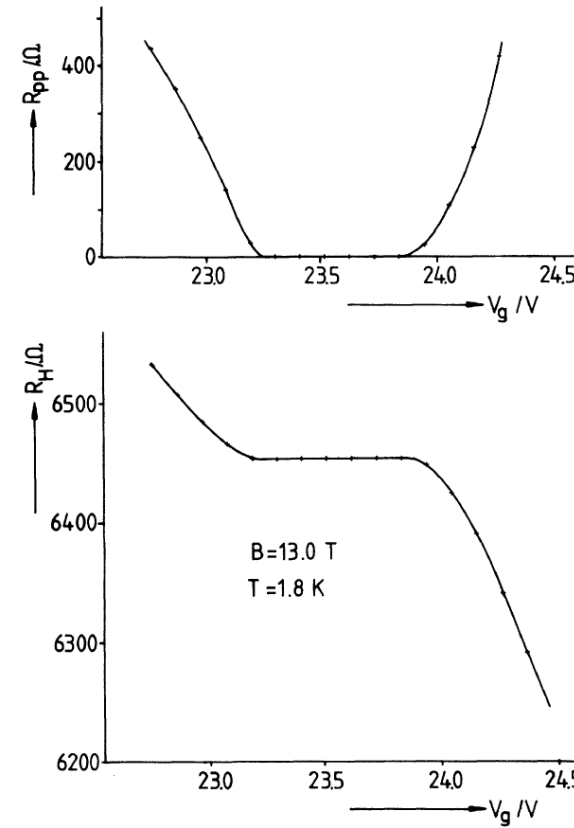
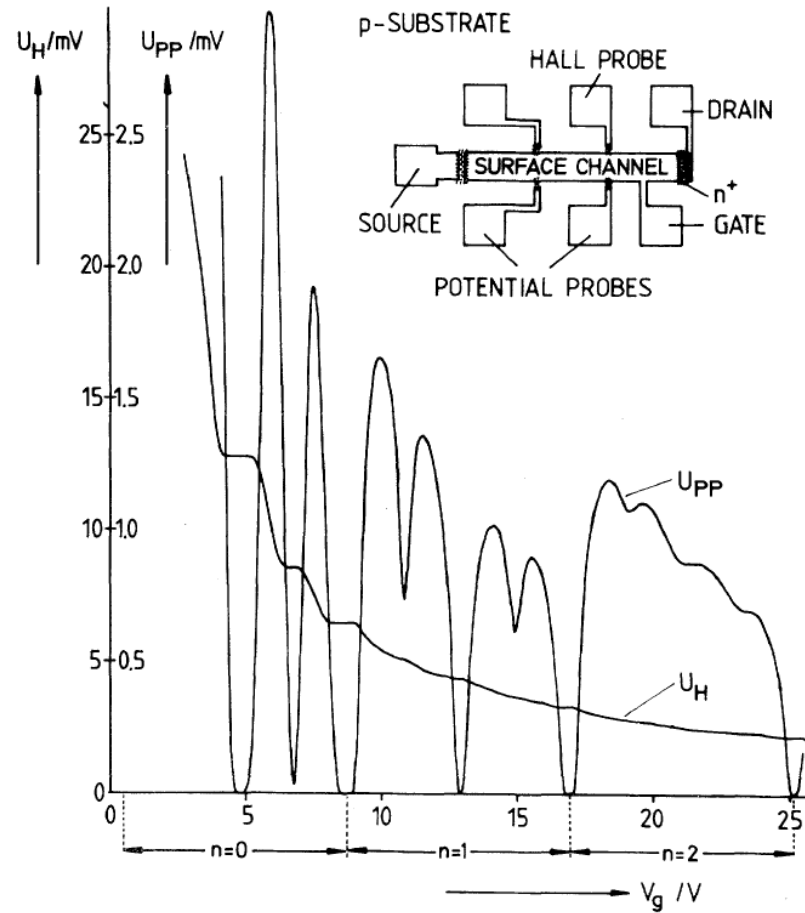
PACS numbers: 73.25.+i, 06.20.Jr, 72.20.My, 73.40.Qv

In this paper we report a new, potentially high-
accuracy method for determining the fine-structure constant, α .

$$\alpha = \frac{e^2}{\hbar c} = \frac{e^2}{h} \times \frac{2\pi}{c} \approx \frac{1}{137}$$

整数量子ホール効果

"for the discovery of the quantized Hall effect" (Physics, 1985)

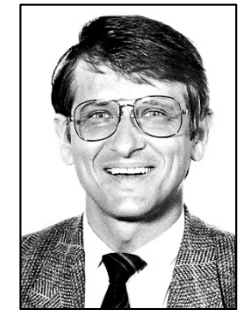


von Klitzing

© Nobel Foundation

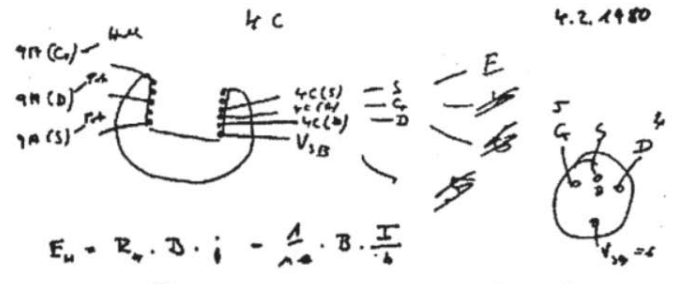
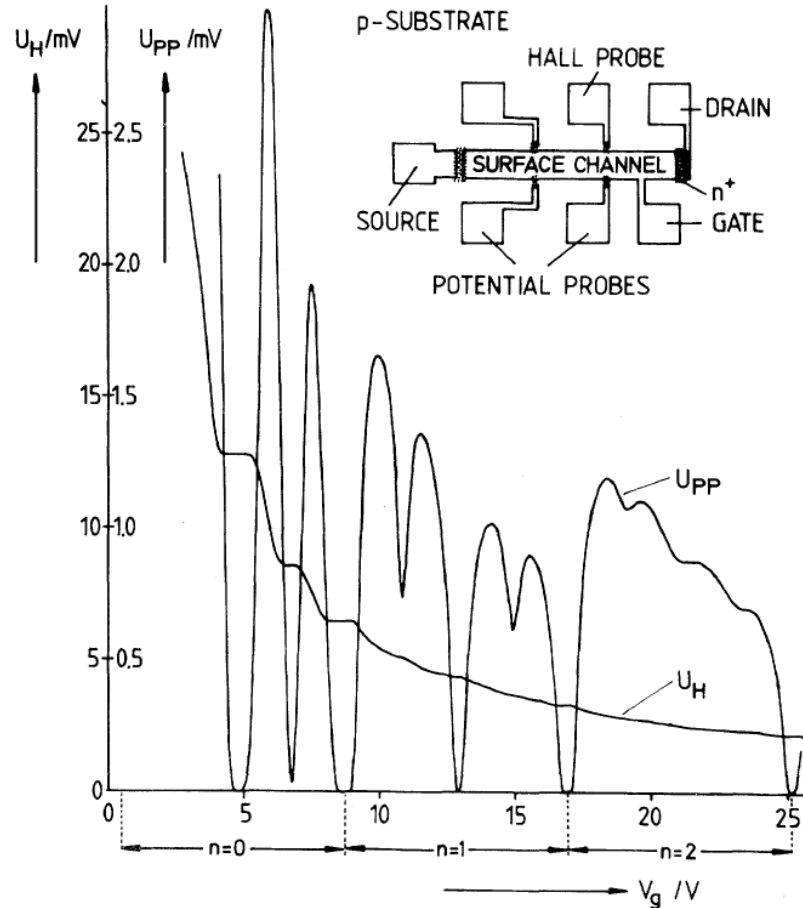
整数量子ホール効果

"for the discovery of the quantized Hall effect" (Physics, 1985)



von Klitzing

© Nobel Foundation



$$U_H = \frac{B}{ne} \cdot I \quad N = \frac{eB}{2\pi k} \quad (g_s \cdot g_v - 1)$$

$$U_H = \frac{2\pi k \cdot B \cdot I}{e \cdot e \cdot N} = \frac{h}{e^2} \cdot I$$

$$\frac{h}{e^2} = \frac{\alpha}{N} \cdot \sqrt{\frac{1}{C_0}} \Rightarrow 25813 \text{ n} \Omega$$

$$\mu_0 = 4\pi \cdot 10^{-7} \frac{V_A}{A \cdot L}$$

$$\xi_0 = 0.8854 \cdot 10^{-3} \frac{A \cdot L}{V_{AB}}$$

$$\sqrt{\frac{L}{\xi_0}} = 2.65 \cdot 10^{-3} \sqrt{2} \text{ m}$$

$$\sqrt{\frac{L}{\xi_0}} = 376.7 \text{ n} \Omega$$

$$PTB \quad 531 / 592 \text{ } \Omega \quad 2240$$

D. of V. Kose

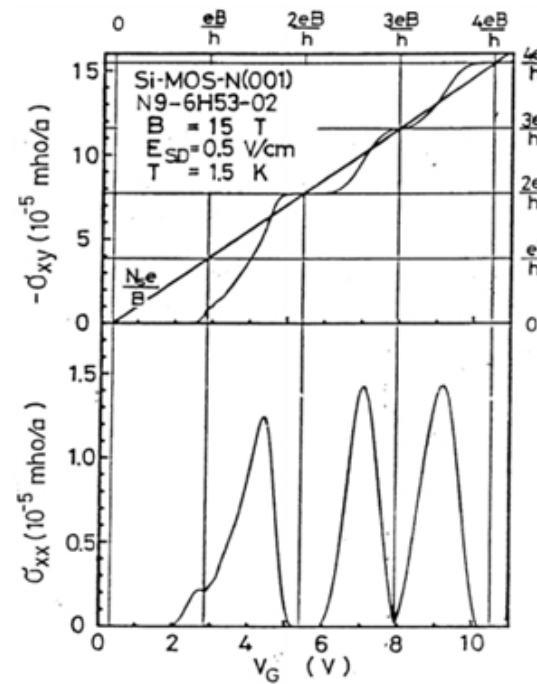
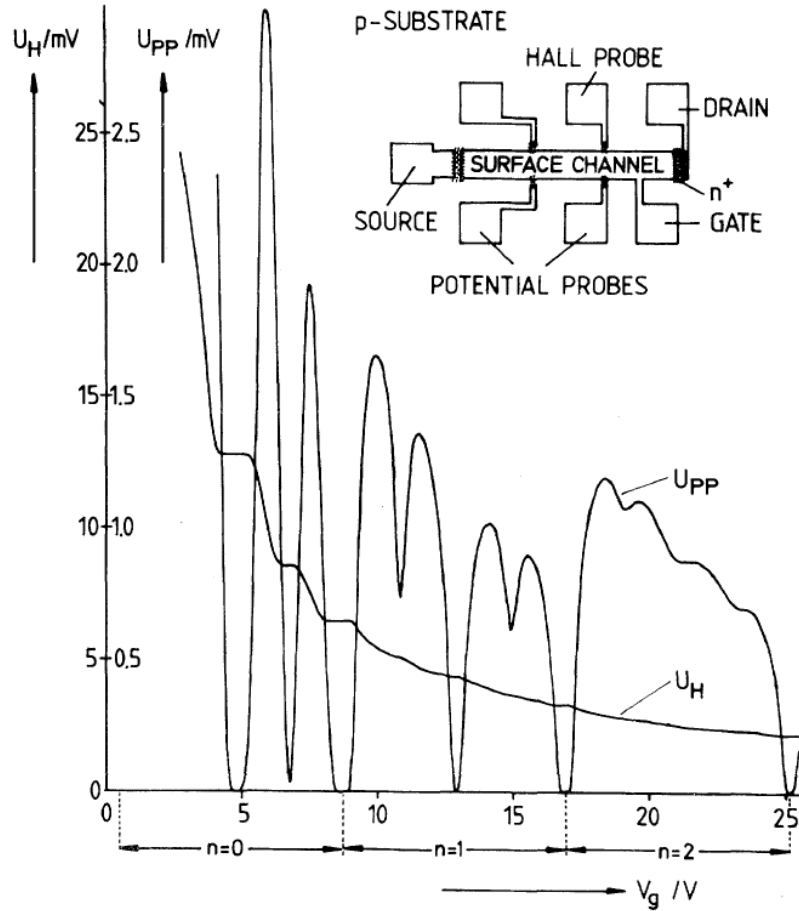
$$\alpha = 13.6 \quad 139 \text{ } \Omega$$

$$6.7 \text{ } \Omega \quad \alpha = 129.07$$

$$\left. \begin{aligned} \frac{25813 \text{ n} \Omega}{114 \text{ n} \Omega \text{ parallel}} : N \end{aligned} \right\} \begin{aligned} 25813 \rightarrow 25763.48 \\ 12.7 \cdot 2.04 \\ 6453.47 \cdot 0.67 \\ 3220.03 \cdot 3246.27 \\ 2157.08 \cdot 2146.47 \end{aligned}$$

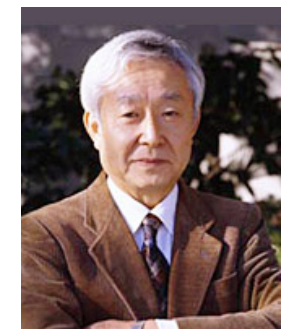
整数量子ホール効果

"for the discovery of the quantized Hall effect" (Physics, 1985)



von Klitzing

© Nobel Foundation



Kawaji

<http://www.gakushuin.ac.jp/univ/sci/top/interview/in01.html>

Wakabayashi, Kawaji 王子国際セミナー (1980)

整数量子ホール効果

"for theoretical discoveries of topological phase transitions and topological phases of matter" (Physics, 2016)



Thouless

© Nobel Foundation

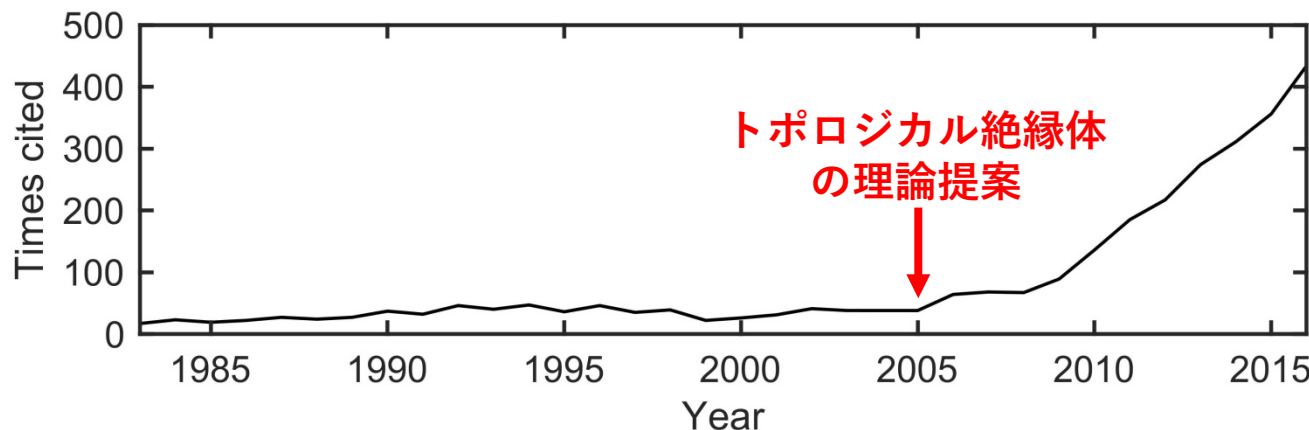
Quantized Hall Conductance in a Two-Dimensional Periodic Potential

D. J. Thouless, M. Kohmoto,^(a) M. P. Nightingale, and M. den Nijs

Department of Physics, University of Washington, Seattle, Washington 98195

(Received 30 April 1982)

The Hall conductance of a two-dimensional electron gas has been studied in a uniform magnetic field and a periodic substrate potential U . The Kubo formula is written in a form that makes apparent the quantization when the Fermi energy lies in a gap. Explicit expressions have been obtained for the Hall conductance for both large and small $U/\hbar\omega_c$.



整数量子ホール効果

"for theoretical discoveries of topological phase transitions and topological phases of matter" (Physics, 2016)



Thouless

© Nobel Foundation

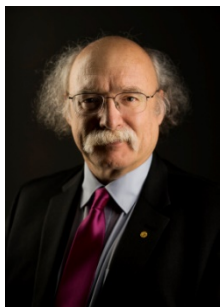
Quantized Hall Conductance in a Two-Dimensional Periodic Potential

D. J. Thouless, M. Kohmoto,^(a) M. P. Nightingale, and M. den Nijs

Department of Physics, University of Washington, Seattle, Washington 98195

(Received 30 April 1982)

The Hall conductance of a two-dimensional electron gas has been studied in a uniform magnetic field and a periodic substrate potential U . The Kubo formula is written in a form that makes apparent the quantization when the Fermi energy lies in a gap. Explicit expressions have been obtained for the Hall conductance for both large and small $U/\hbar\omega_c$.



Haldane

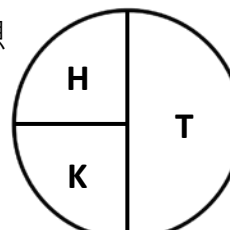


Kosterlitz

© Nobel Foundation

Haldane予想

KT転移



Prize share

KT転移
&
TKNN



Kohmoto

<http://kohmoto.issp.u-tokyo.ac.jp/>

Phys. Rev. Lett. **49**, 405 (1982) TKNN

整数量子ホール効果

... サウレスが指示したのはこのような系のAC伝導度を調べることでした。 ... サウレスはしばらくイギリスに行き、夏にアスペン物理学センターで一緒にになりました。そこでホール効果の話をしたら、即座に「trivial」と言われてびっくりするとともに、量子ホール効果を研究する意欲をすっかり失いました。 ... その後、他の問題、例えばスピングラスなどを考えていましたが、秋になってサウレスがホール効果の研究をしていることを知りました。そこで、遅れをとりたくない、ホフスタッター問題のホール効果を調べ始めました。 ... 1982年になって、ホフスタッター・バタフライの中のそれぞれのバンドのホール伝導度への寄与が e^2/h の整数倍になることを示し、その整数(TKNN整数)を求めることができました。これがTKNN論文になるわけです。ところが、TKNN論文の段階ではこの系に関するトポロジーの概念は考えついていませんでした。それに気がついたのは、イリノイ大学へ移ってからです。

整数量子ホール効果

Topological Invariant and the Quantization of the Hall Conductance

MAHITO KOHMOTO*

*Department of Physics and the Materials Research Laboratory,
University of Illinois at Urbana-Champaign,
Urbana, Illinois 61801*

Received March 27, 1984

分数量子ホール効果

"for their discovery of a new form of quantum fluid with fractionally charged excitations" (Physics, 1998)



Laughlin



Störmer



Tsui

© Nobel Foundation

Two-Dimensional Magnetotransport in the Extreme Quantum Limit

D. C. Tsui,^{(a), (b)} H. L. Stormer,^(a) and A. C. Gossard

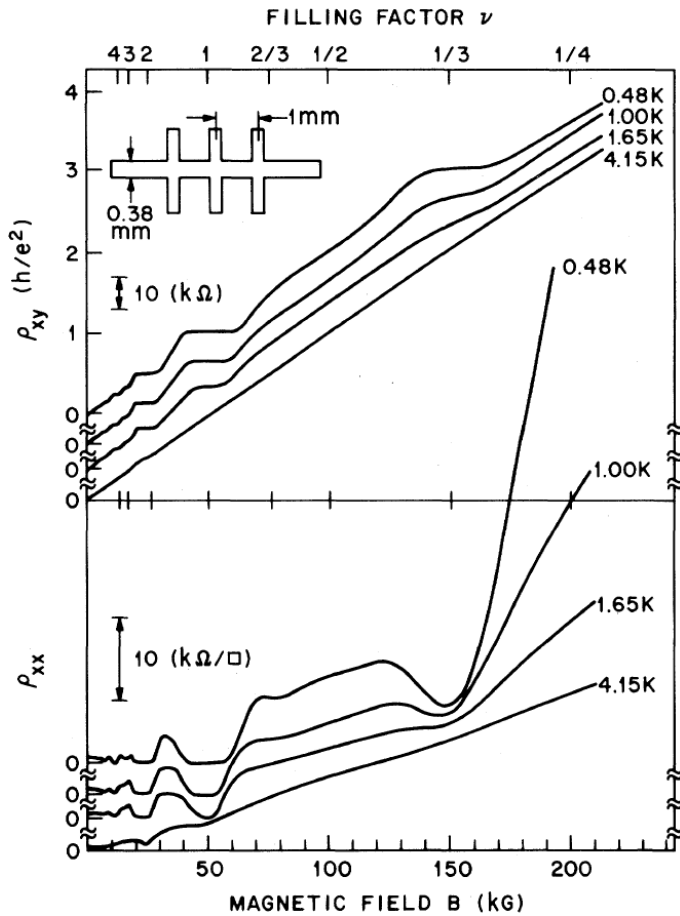
Bell Laboratories, Murray Hill, New Jersey 07974

(Received 5 March 1982)

A quantized Hall plateau of $\rho_{xy} = 3h/e^2$, accompanied by a minimum in ρ_{xx} , was observed at $T < 5$ K in magnetotransport of high-mobility, two-dimensional electrons, when the lowest-energy, spin-polarized Landau level is $\frac{1}{3}$ filled. The formation of a Wigner solid or charge-density-wave state with triangular symmetry is suggested as a possible explanation.

分数量子ホール効果

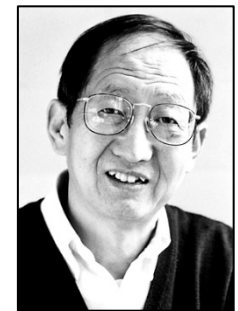
"for their discovery of a new form of quantum fluid with fractionally charged excitations" (Physics, 1998)



Laughlin



Störmer

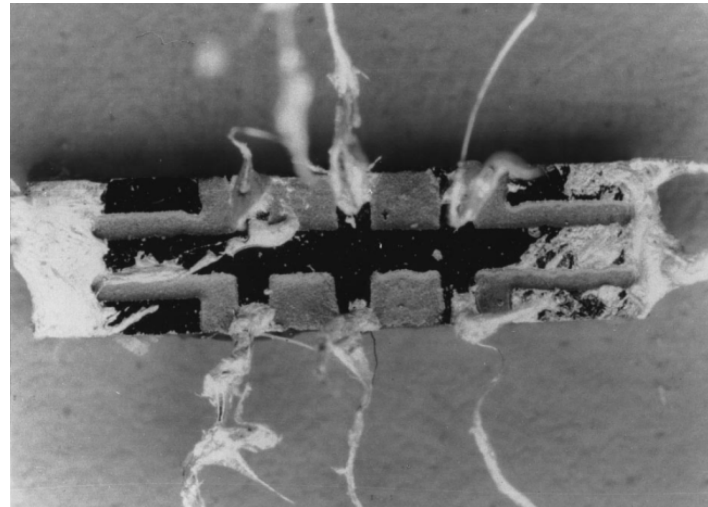


Tsui

© Nobel Foundation

実際のサンプル

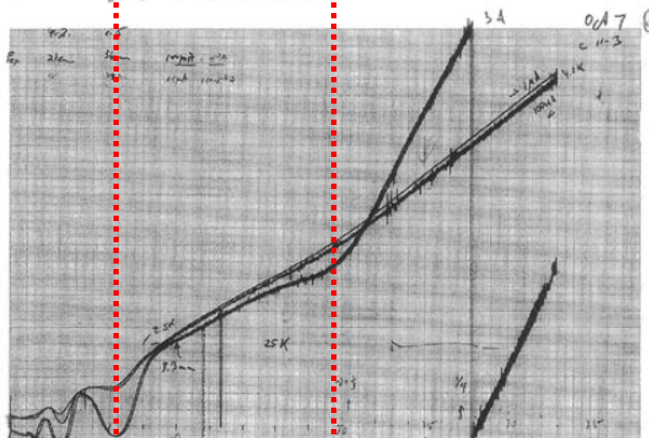
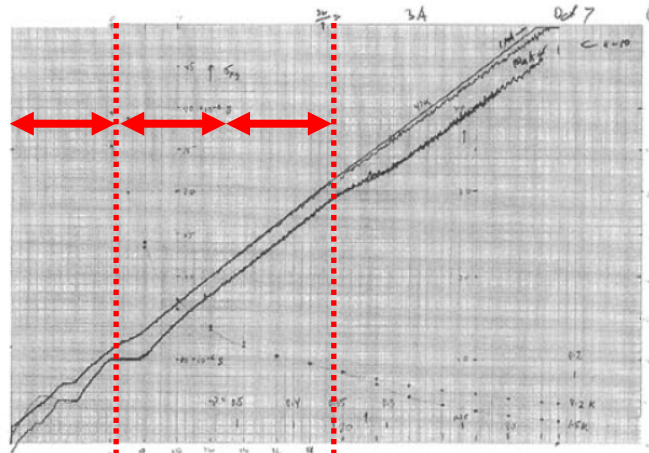
from Nobel Lecture by Strömer



Phys. Rev. Lett. **48**, 1559 (1982) Tsui, Stormer & Gossard

分数量子ホール効果

"for their discovery of a new form of quantum fluid with fractionally charged excitations" (Physics, 1998)



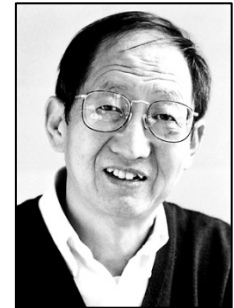
実際のデータ



Laughlin



Störmer



Tsui

© Nobel Foundation

$$q = \frac{(h/e)}{(3h/e^2)} = \frac{e}{3}$$

“Quarks!”

Lightheartedly, **Dan Tsui** enclosed the distance between $B = 0$ and the position of the last IQHE between two fingers of one hand and measured the position of the new feature in this unit.

He **determined it to be three** and exclaimed,

“quarks!” Although obviously joking, **with finely honed intuition, he had hit on the very essence of the data.**

Nobel Lecture by Strömer

分数量子ホール効果

“for their discovery of a new form of quantum fluid with fractionally charged excitations” (Physics, 1998)



Laughlin



Störmer



Tsui

© Nobel Foundation

Anomalous Quantum Hall Effect: An Incompressible Quantum Fluid with Fractionally Charged Excitations

R. B. Laughlin

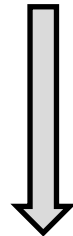
Lawrence Livermore National Laboratory, University of California, Livermore, California 94550
(Received 22 February 1983)

This Letter presents variational ground-state and excited-state wave functions which describe the condensation of a two-dimensional electron gas into a new state of matter.

ラフリン波動関数

電子間相互作用を取り入れたハミルトニアン

$$H_{ee} = \sum_i \frac{1}{2m^*} (\mathbf{p}_i + e\mathbf{A})^2 + \sum_{i>j} \frac{e^2}{|z_i - z_j|}$$



近似解となる多体波動関数を書き下した

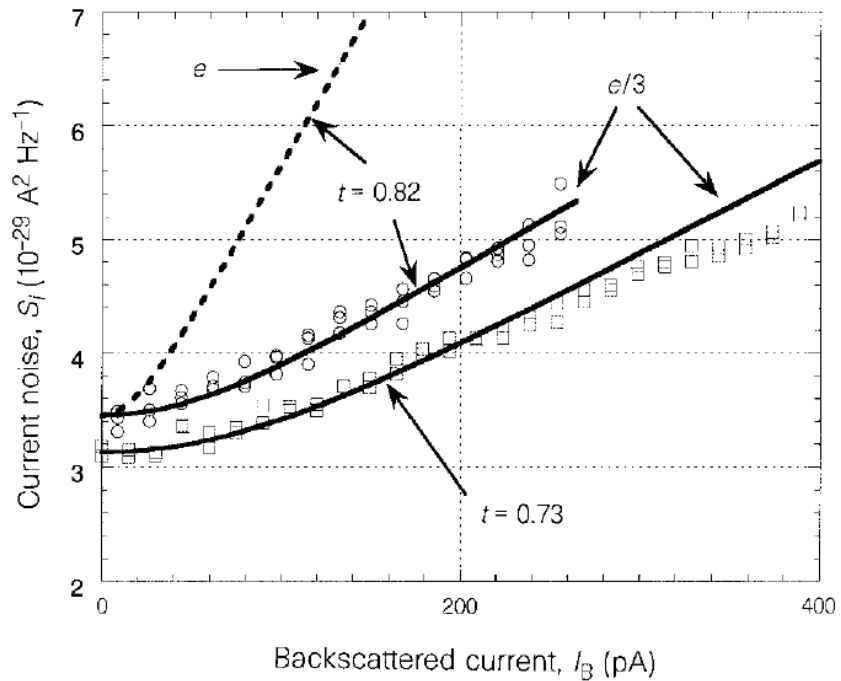
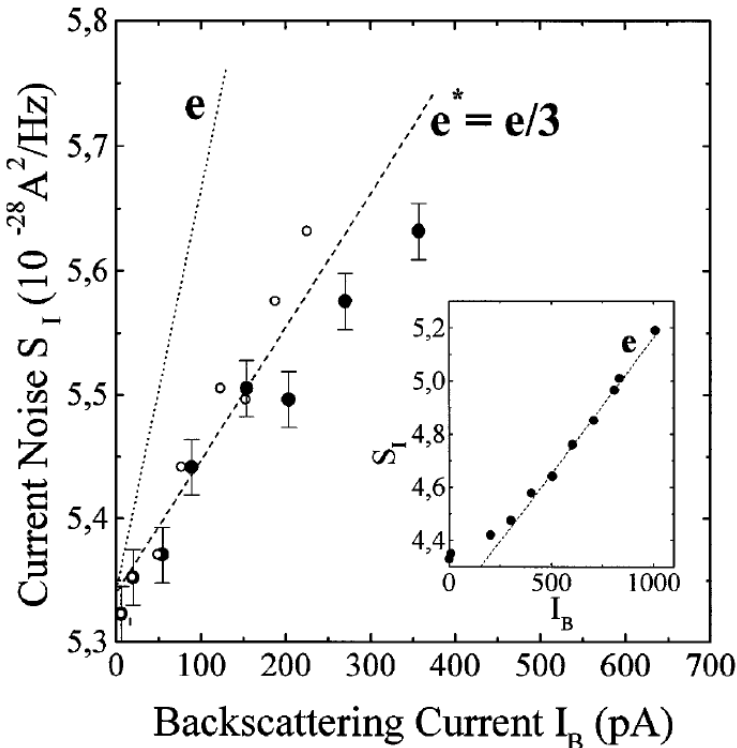
$$\Psi_q(z_1, z_2, \dots, z_N) = \prod_{i>j} (z_i - z_j)^q \exp\left(-\sum_i \frac{|z_i|^2}{4}\right)$$

- 電子間相互作用を下げる関数形
- 電子の反対称性より $q = \text{奇数}$ (占有率 $1/q$)
- 厳密対角化の数値計算とよい一致
- 分数電荷 $e/3$ の素励起を予言 etc

$$z_i = \frac{x_i - iy_i}{l_B}$$

分数電荷の検証

ショットノイズ($S = 2e^*I$)が準粒子の電荷に比例することを利用
翌年のノーベル賞の決め手になった(と言われている)



Nature **389**, 162 (1997) de-Picciotto *et al.*
Phys. Rev. Lett. **79**, 2526 (1997) Saminadayar *et al.*

cf. 共鳴トンネルによる検証
Science **267**, 1010 (1995) Goldman & Su

分数電荷の検証の検証

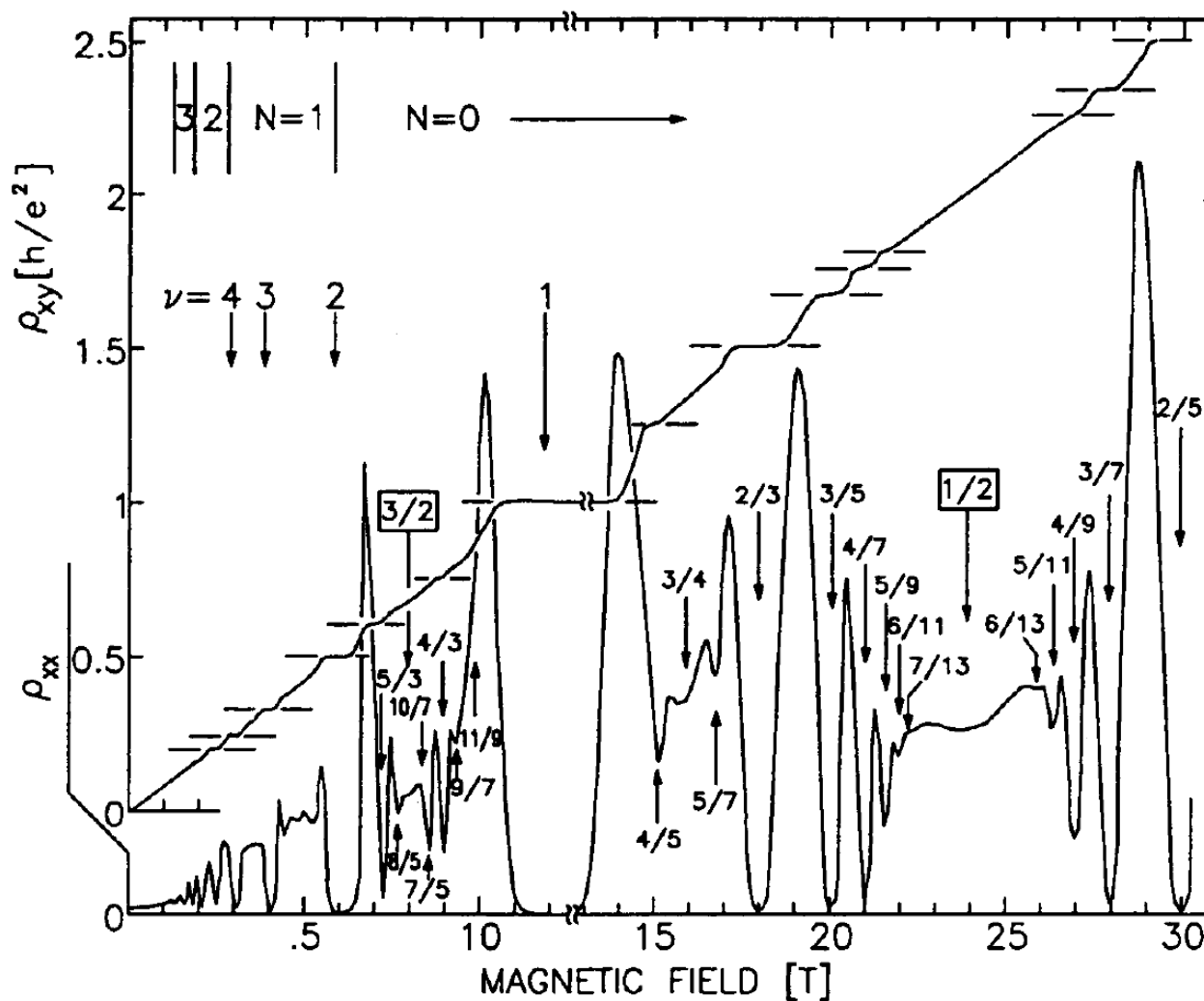
PHYSICAL REVIEW B **95**, 115308 (2017)

Why a noninteracting model works for shot noise in fractional charge experiments

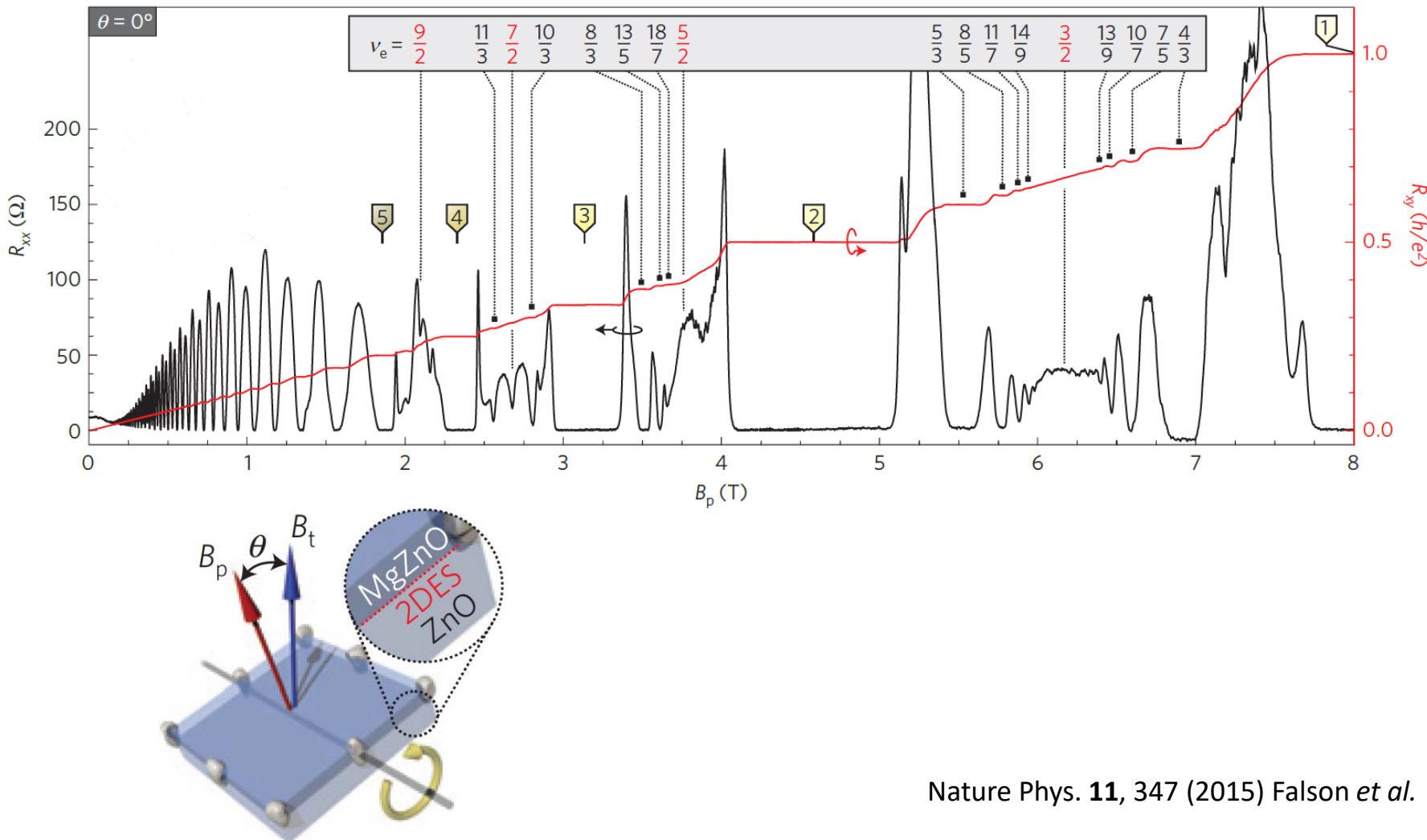
D. E. Feldman¹ and Moty Heiblum²

Shot-noise experiments have stimulated much theoretical work. A basic theoretical framework to understand the experiments is based on the chiral Luttinger liquid model with a point scatterer. The model admits an exact solution that shows clear signatures of fractionally charged excitations. However, **that solution turns out to provide a poor fit** to the current and noise data. Instead, **a simple formula**, derived for noninteracting fermions, **is routinely used to fit the data. The success of that model is puzzling** given the strongly interacting nature of the fractional quantum Hall physics. The goal of this paper is to shed light on that success.

1982年以降のデータ

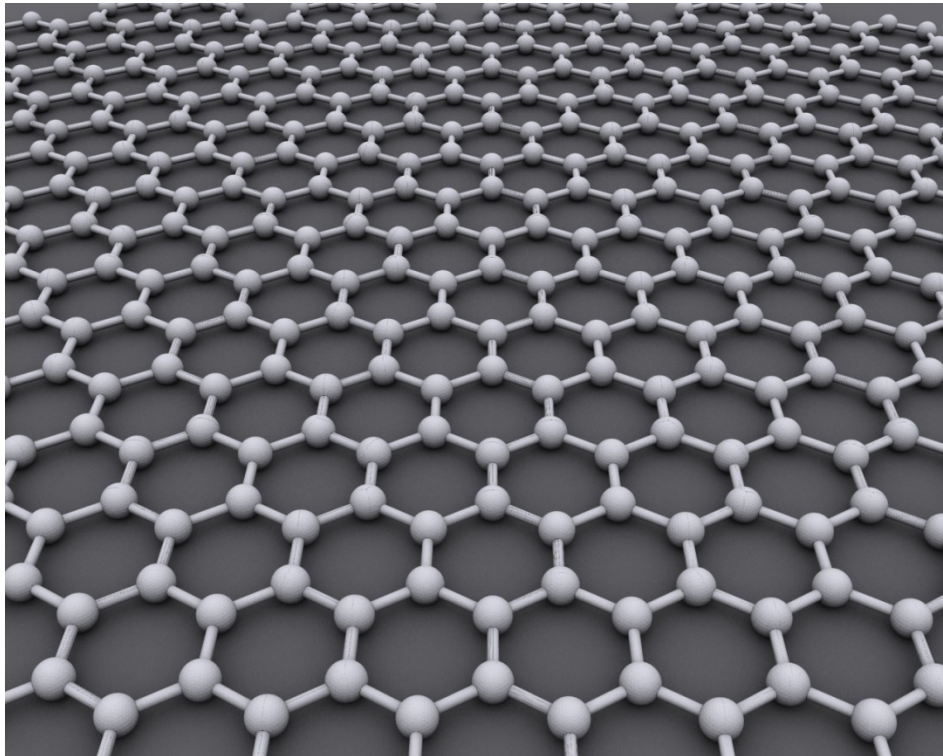


最新データ：ZnO系



2次元物質グラフェン

“for groundbreaking experiments regarding the two-dimensional material graphene” (Physics, 2010)



from Wikipedia

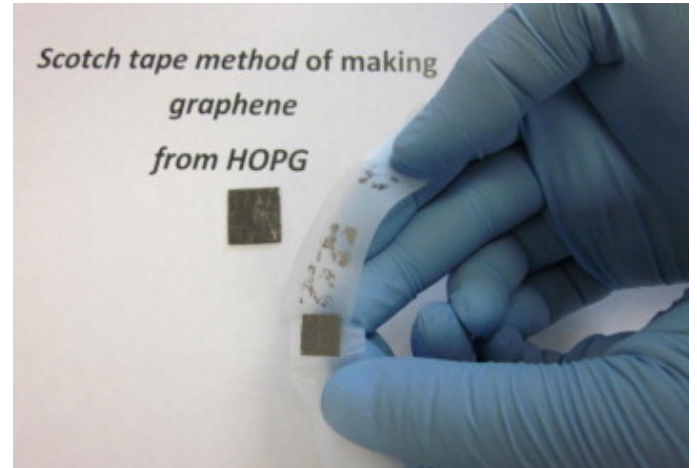


Geim

Novoselov

© Nobel Foundation

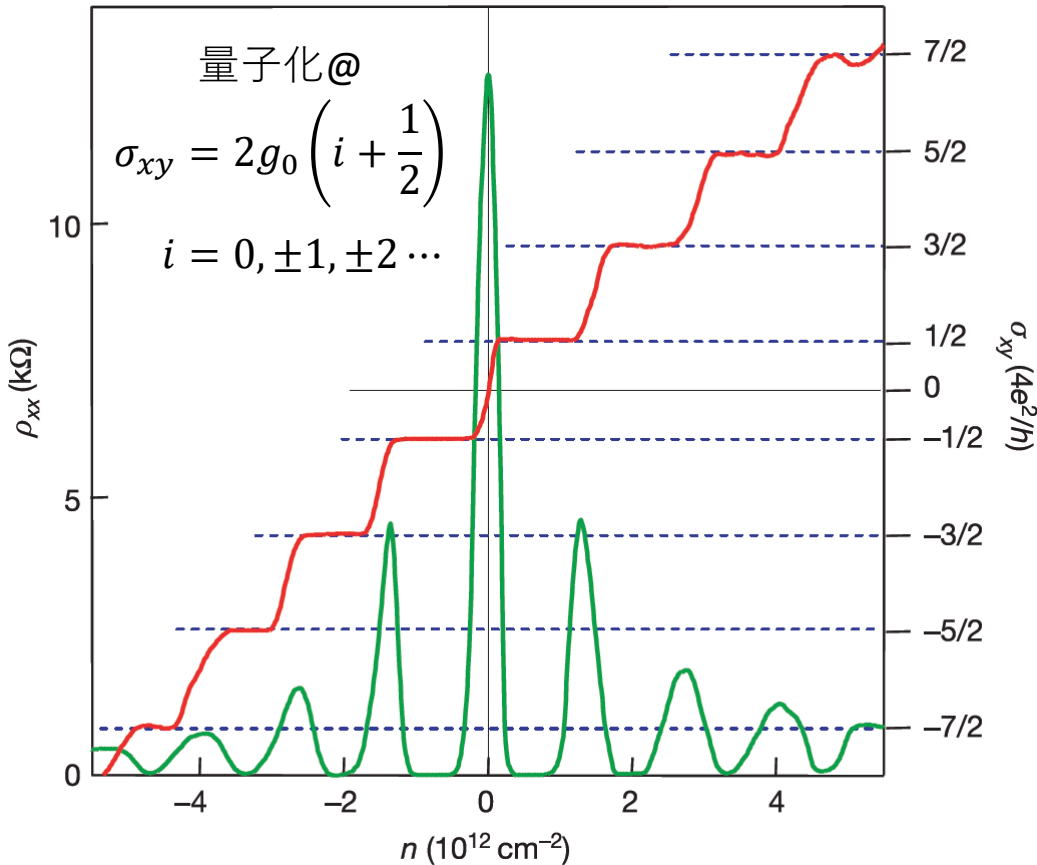
“Friday evening” experiment



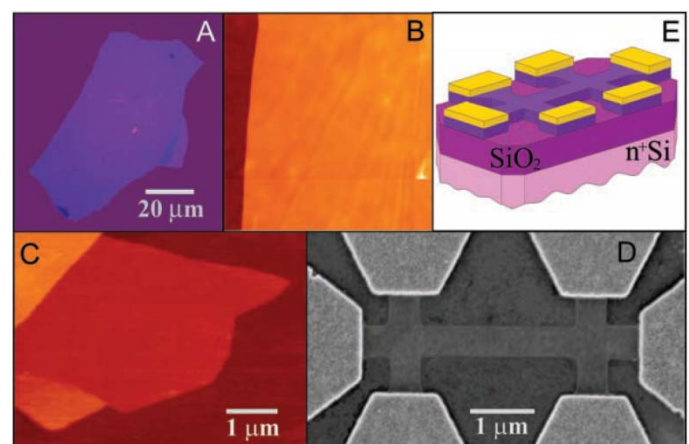
Prog. Mat. Sci. **56**, 1178 (2011) Singh *et al.*

2次元物質グラフェン

"for groundbreaking experiments regarding the two-dimensional material graphene" (Physics, 2010)



© Nobel Foundation



Science **306**, 666 (2004) Novoselov, Geim *et al.*

Nature **438**, 197 (2005) Novoselov, Geim *et al.*

参考書

- J. H. Davies (1997)
 - “**The Physics of Low-Dimensional Semiconductors**” (邦訳あり)
- S. Datta (1997)
 - “**Electronic Transport in Mesoscopic Systems**” (邦訳あり)
- 吉岡大二郎 (1998)
 - “**量子ホール効果**” (英訳あり)